



## รายงานผลการวิจัย

เรื่อง

การพัฒนาฟิล์มบางทั้งสแตนออกไซด์ที่เจือด้วยไนโอมีนสำหรับประยุกต์ใช้

เป็นตัวตรวจวัดแก๊สซัลเฟอร์ไดออกไซด์

ในอุตสาหกรรมลำไยอบแห้ง

The Development of Niobium Doped Tungsten Oxide Thin Film for

Application in Sulfer Dioxide Gas Sensor

With Dried Longan Industry

โดย

วิรันธชา เครือฟู และ ภูสิต ปุกมณี

มหาวิทยาลัยแม่โจ้

2557

รหัสโครงการวิจัย นจ.1-56-043



## รายงานผลการวิจัย

เรื่อง การพัฒนาฟิล์มบางทั้งสแตนออกไซด์ที่เจือด้วยไนโอมีนสำหรับประยุกต์ใช้เป็นตัวตรวจจับแก๊สซัลเฟอร์ไดออกไซด์ในอุตสาหกรรมลักษณะแห้ง

**The Development of Niobium Doped Tungsten Oxide Thin Film for Application in Sulfer Dioxide Gas Sensor with Dried Longan Industry**

ได้รับการจัดสรรงบประมาณวิจัย ประจำปี 2556

จำนวน 350,000 บาท

หัวหน้าโครงการ

วิรันธชา เครือฟู

ผู้ร่วมโครงการ

ภูสิต ปุกมณี

งานวิจัยเดรีจส์สินสมบูรณ์

31/สิงหาคม/2557

## กิตติกรรมประกาศ

โครงการวิจัยเรื่อง การพัฒนาฟิล์มบางทังสเตรนออกไซด์ที่เจือด้วยไนโอบีเมียมสำหรับประยุกต์ใช้เป็นตัวตรวจวัดแก๊สซัลเฟอร์ไดออกไซด์ในอุตสาหกรรมลำไยอบแห้ง (The Development of Niobium Doped Tungsten Oxide Thin Film for Application in Sulfer Dioxide Gas Sensor with Dried Longan Industry) ได้สำเร็จลุล่วง โดยได้รับทุนอุดหนุนการวิจัย จากสำนักงานคณะกรรมการการวิจัยแห่งชาติ (วช) และสำนักวิจัยและส่งเสริมวิชาการการเกษตรมหาวิทยาลัยแม่โจ้ ประจำปีงบประมาณ 2556

ผู้วิจัยขอบคุณ สาขาวิชาวัสดุศาสตร์ คณะวิทยาศาสตร์ มหาวิทยาลัยแม่โจ้ สำหรับความอนุเคราะห์การใช้เครื่องมือวิทยาศาสตร์ อุปกรณ์ และสถานที่ ตลอดระยะเวลาการทำงานวิจัยนี้

ผู้วิจัยขอบคุณ นักศึกษา สาขาวิชาวัสดุศาสตร์ คณะวิทยาศาสตร์ มหาวิทยาลัยแม่โจ้ สำหรับความร่วมมือ และความช่วยเหลือ ในการทำงานวิจัยนี้

ผู้วิจัยขอบคุณ บุคลากร สาขาวิชาวัสดุศาสตร์และสาขาวิชาเคมี คณะวิทยาศาสตร์ มหาวิทยาลัยแม่โจ้ ที่อำนวยความสะดวกทางด้านอุปกรณ์และสารเคมี รวมทั้งช่วยประสานงานในด้านเอกสารงานราชการ ในการติดต่อหน่วยงานที่เกี่ยวข้องกับการทำงานวิจัยนี้

ผู้วิจัยขอบคุณ รองศาสตราจารย์ ดร.สุคนธ์ พันธ์พันธ์ นักวิจัยอาวุโส จากศูนย์ความเป็นเลิศทางวัสดุศาสตร์ คณะวิทยาศาสตร์ มหาวิทยาลัยเชียงใหม่ ที่อำนวยความสะดวก ทั้งสถานที่ อุปกรณ์ ที่เกี่ยวข้องกับการทำงานวิจัย ตลอดจนให้คำปรึกษา คำแนะนำ และข้อเสนอแนะที่ เป็นแนวทางสำหรับนำเสนอประยุกต์ใช้ในงานวิจัยได้เป็นอย่างดี

ผู้วิจัยขอบคุณ ดร.อนุรัตน์ วิสิทธิ์สรอรรถ และบุคลากร ในศูนย์เทคโนโลยีอิเล็กทรอนิกส์และคอมพิวเตอร์แห่งชาติ สำนักงานพัฒนาวิทยาศาสตร์และเทคโนโลยีไทยแห่งชาติ กระทรวงวิทยาศาสตร์และเทคโนโลยี ที่ได้ให้คำปรึกษา และอำนวยความสะดวกในส่วนของ เครื่องมือ และอุปกรณ์ในการทดลองเป็นอย่างดีตลอดเวลาทำการวิจัย

คณะผู้วิจัย

## สารบัญ

	หน้า
สารบัญ	ก
สารบัญตาราง	ข
สารบัญภาพ	ค
บทคัดย่อ	ค
Abstract	1
คำนำ	3
วัตถุประสงค์ของการวิจัย	5
ประโยชน์ที่คาดว่าจะได้รับ	16
การตรวจเอกสาร	17
อุปกรณ์และวิธีการ	18
ผลการวิจัยและวิจารณ์ผลการวิจัย	22
สรุปผลการวิจัย	42
เอกสารอ้างอิง	81
	83

## สารบัญตาราง

	หน้า	
<b>ตารางที่ ๑</b>	ขนาดของอนุภาคนาโนทั้งสตetenออกไซด์ และอนุภาคนาโนทั้งสตetenออกไซด์ที่เจือด้วยไนโอลีบียม ที่คำนวณได้จากการวิเคราะห์การเลี้ยวเบนของรังสีเอกซ์	47
<b>ตารางที่ ๒</b>	แสดงผลการคำนวณขนาดของอนุภาคนาโนทั้งสตetenออกไซด์ และทั้งสตetenออกไซด์ที่เจือด้วยไนโอลีบียม จากการคำนวณหาขนาดอนุภาคโดยเทคนิค BET	52
<b>ตารางที่ ๓</b>	ค่าความด้านทานในการตอบสนองแก๊สไอกอโรเจนชัลไฟฟ์ ที่ความเข้มข้น 0.2-10 ppm ของพิล์มทั้งสตetenออกไซด์ และพิล์มทั้งสตetenออกไซด์ที่เจือด้วยไนโอลีบียม ขณะอุณหภูมิการทำงานของพิล์มเซ็นเซอร์ 350°C	72
<b>ตารางที่ ๔</b>	การตอบสนองต่อแก๊สไอกอโรเจนชัลไฟฟ์ ที่ความเข้มข้น 10 ppm ของพิล์มทั้งสตetenออกไซด์ และพิล์มทั้งสตetenออกไซด์ที่เจือด้วยไนโอลีบียม ขณะอุณหภูมิการทำงานของตัวตรวจจับแก๊ส 250-350°C	74
<b>ตารางที่ ๕</b>	เวลาในการตอบสนอง และเวลาในการกลับคืนสู่สภาพเดิมของพิล์มเซ็นเซอร์ทั้งสตetenออกไซด์ และพิล์มทั้งสตetenออกไซด์ที่เจือด้วยไนโอลีบียม ขณะตรวจจับแก๊สไอกอโรเจนชัลไฟฟ์ ที่ความเข้มข้น 10 ppm ณ อุณหภูมิการทำงานของตัวตรวจจับแก๊ส 350°C	75
<b>ตารางที่ ๖</b>	ค่าการตอบสนองต่อแก๊สไอกอโรเจนชัลไฟฟ์ แก๊สไอกอโรเจนแก๊สไนโตรเจนไกออกไซด์ แก๊สแอมโมเนีย และไออกไซทานอล ขณะอุณหภูมิในการทำงานของตัวตรวจจับแก๊ส 350°C ของพิล์มทั้งสตetenออกไซด์ และพิล์มทั้งสตetenออกไซด์ที่เจือด้วยไนโอลีบียม ที่ความเข้มข้น 0.25 0.50 และ 1.00 wt%	78
<b>ตารางที่ ๗</b>	ผลการสกัดปริมาณสารชัลเฟอร์ไกออกไซด์ในลำไยอบแห้ง	80

## สารบัญภาพ

	หน้า
<b>ภาพที่ 1</b> การห้าเวลาการตอบสนอง และเวลาการคืนกลับสู่สภาพเดิม	11
<b>ภาพที่ 2</b> โครงสร้างผลึกของทั้งสแตนออกไซด์ ( $WO_3$ )	14
<b>ภาพที่ 3</b> โครงสร้างอะตอม และโครงสร้างผลึกของใน ไอโอเมียม	15
<b>ภาพที่ 4</b> ภาพจำลองการสังเคราะห์อนุภาคนาโนทั้งสแตนออกไซด์ และลักษณะ เปลวไฟที่ เกิดขึ้นขณะการสังเคราะห์	24
<b>ภาพที่ 5</b> ส่วนประกอบของระบบเครื่องเฟลมสเปรย์ไฟ โอลิซิส	25
<b>ภาพที่ 6</b> ภาพจำลองการสังเคราะห์อนุภาคนาโนทั้งสแตนออกไซด์โดยวิธี ไฮโดรเทอร์มอล	26
<b>ภาพที่ 7</b> ภาพจำลองการเจืออนุภาคทั้งสแตนออกไซด์ด้วยใน ไอโอเมียมด้วยวิธี อินแพคเนชัน	27
<b>ภาพที่ 8</b> รูปแบบการเลี้ยวเบนของรังสีเอ็กซ์ ของอนุภาคทั้งสแตนออกไซด์ ที่พิกสูงสุด ระยะนา (001) ตำแหน่งมุมแบก $\theta = 20.26$	29
<b>ภาพที่ 9</b> (ก) อิเล็กโทรดซึ่งทำจากอลูมินาที่ทำข้าไฟฟ้าด้วยทอง (ช) แสดงภาพ จำลองที่เคลือบฟิล์มเซ็นเซอร์	34
<b>ภาพที่ 10</b> เครื่องเคลือบสารแบบหมุนเหวี่ยง (Spin coater)	34
<b>ภาพที่ 11</b> (ก) เตาอบ และ (ช) เตาเผา	35
<b>ภาพที่ 12</b> แผนภาพแสดงการเตรียมฟิล์มเซ็นเซอร์	35
<b>ภาพที่ 13</b> ชุดอุปกรณ์ในการทดสอบการตรวจจับแก๊ส	37
<b>ภาพที่ 14</b> ขอแสดงผลค่าความต้านทานของฟิล์มเซ็นเซอร์เทียบกับเวลา จาก โปรแกรม Lab View 8.2	37
<b>ภาพที่ 15</b> การให้อุณหภูมิกับฟิล์มเซ็นเซอร์ข้อมูลตรวจจับแก๊ส	38
<b>ภาพที่ 16</b> แผนผังการสักดิชัลเพอร์ไคออกไซด์ตามวิธี Optimized Monier- Williams method	40
<b>ภาพที่ 17</b> แผนผังการประกอบชุดสักดิชัลเพอร์ไคออกไซด์	41
<b>ภาพที่ 18</b> รูปแบบการเลี้ยวเบนของรังสีเอ็กซ์ของผงนาโนทั้งสแตนออกไซด์ ที่ได้จากการสังเคราะห์โดยวิธีไฮโดรเทอร์มอล ผ่านการ ไฮโดรเทอร์มอล ที่อุณหภูมิ $200^{\circ}C$ เป็นเวลา 2 h	43

<b>ภาพที่ 19</b>	รูปแบบการเดี่ยวเบนของรังสีเอ็กซ์ของผงนาโนหั้งสแตนออกไซด์ที่ได้จากการสังเคราะห์โดยวิธีไฮโดรเทอร์มอล ผ่านการไฮโดรเทอร์มอลที่อุณหภูมิ 200°C เป็นเวลา 4 h	44
<b>ภาพที่ 20</b>	รูปแบบการเดี่ยวเบนของรังสีเอ็กซ์ของผงนาโนหั้งสแตนออกไซด์ที่ได้จากการสังเคราะห์โดยวิธีไฮโดรเทอร์มอล ผ่านการไฮโดรเทอร์มอลที่อุณหภูมิ 200°C เป็นเวลา 6 h	44
<b>ภาพที่ 21</b>	รูปแบบการเดี่ยวเบนของรังสีเอ็กซ์ของผงนาโนหั้งสแตนออกไซด์ที่ได้จากการสังเคราะห์โดยวิธีไฮโดรเทอร์มอล ผ่านการไฮโดรเทอร์มอลที่อุณหภูมิ 200°C เป็นเวลา 2, 4 และ 6 h ตามลำดับ	45
<b>ภาพที่ 22</b>	รูปแบบการเดี่ยวเบนของรังสีเอ็กซ์ ของอนุภาคนาโนหั้งสแตนออกไซด์ และอนุภาคนาโนหั้งสแตนออกไซด์ที่เจือด้วยไนโตรบียม ที่ความเข้มข้น 0.25, 0.50 และ 1.00 wt% ซึ่งตรงกับ JCPDS หมายเลข 85-2549 ( $\text{WO}_3$ )	47
<b>ภาพที่ 23</b>	ภาพจากกล้องจุลทรรศน์อิเล็กตรอนแบบส่องผ่าน (ก) อนุภาคหั้งสแตนออกไซด์ (ข-ง) อนุภาคหั้งสแตนออกไซด์ที่เจือด้วยไนโตรบียมที่ความเข้มข้น 0.5 wt%	48
<b>ภาพที่ 24</b>	ภาพถ่ายจากกล้องจุลทรรศน์อิเล็กตรอนแบบส่องกราด (SEM) และการวิเคราะห์การกระจายพลังงานของรังสีเอ็กซ์ (EDS) ของอนุภาคนาโนหั้งสแตนออกไซด์ที่เจือด้วยไนโตรบียม ที่ความเข้มข้น 0.50 wt% จากเทคนิคการกระจายพลังงานของรังสีเอ็กซ์ (ก) ณ ตำแหน่งที่มีอนุภาคเล็กๆ ที่คาดว่าคือไนโตรบียมที่เจือลงไว (ข) ณ ตำแหน่งที่ไม่มีอนุภาคเล็กๆ ที่คาดว่าคือไนโตรบียม	50
<b>ภาพที่ 25</b>	ค่าพื้นที่ผิวจำเพาะ ( $SSA_{\text{BET}}$ ; $\text{m}^2/\text{g}$ ) และขนาดอนุภาค ( $d_{\text{BET}}$ ; nm) ของอนุภาคนาโนหั้งสแตนออกไซด์ และอนุภาคนาโนหั้งสแตนออกไซด์ที่เจือด้วยไนโตรบียม ที่ความเข้มข้น 0.25, 0.50 และ 1.00 wt%	51
<b>ภาพที่ 26</b>	รูปแบบการเดี่ยวเบนของรังสีเอ็กซ์ของอนุภาค และฟิล์มเซ็นเซอร์ของหั้งสแตนออกไซด์ และหั้งสแตนออกไซด์ที่เจือด้วยไนโตรบียม ที่ความเข้มข้น 0.25, 0.50 และ 1.00 wt%	53
<b>ภาพที่ 27</b>	ภาพถ่ายจากกล้องจุลทรรศน์อิเล็กตรอนแบบส่องกราด (SEM) ภาพ ก-ง แสดงลักษณะของพื้นผิวฟิล์มที่เตรียมจากอนุภาคนาโนหั้งสแตนออกไซด์ และอนุภาคนาโนหั้งสแตนออกไซด์ที่เจือด้วย	

ใน ไอโอเบียมที่ความเข้มข้น 0.25, 0.50 และ 1.00 wt% ตามลำดับที่ กำลังขยาย 35 เท่า ( $\times 35$ ) และภาพขยายที่บริเวณพื้นผิวของฟิล์ม ที่กำลังขยายภาพ $\times 5,000$ (ภาพเล็ก)	55
<b>ภาพที่ 28</b> ภาพถ่ายจากกล้องจุลทรรศน์อิเล็กตรอนแบบส่องกราด (SEM) แสดงความหนาของฟิล์มเซ็นเซอร์ (ก) หัองสแตนออกไซด์บิสฟูโรฟิล์ม (ข-ง) หัองสแตนออกไซด์ที่เจือด้วยใน ไอโอเบียมที่ความเข้มข้น 0.25, 0.50 และ 1.00 wt% ตามลำดับที่กำลังขยาย ( $\times 3000$ )	56
<b>ภาพที่ 29</b> ภาพถ่ายจากกล้องจุลทรรศน์อิเล็กตรอนแบบส่องกราด (SEM) แสดงความหนาของฟิล์มเซ็นเซอร์หัองสแตนออกไซด์ที่เจือด้วย ใน ไอโอเบียมที่ความเข้มข้น 0.50 wt% ที่กำลังขยาย ( $\times 3000$ ) ภาพเล็ก แสดงภาพขยายลักษณะทางสัณฐานวิทยาของพื้นผิวฟิล์ม	57
<b>ภาพที่ 30</b> การกระจายพลังงานของรังสีเอ็กซ์แบบเส้น (EDS-line spectrum) ของฟิล์มหัองสแตนออกไซด์บิสฟูโรฟิล์ม	58
<b>ภาพที่ 31</b> การกระจายพลังงานของรังสีเอ็กซ์แบบเส้น (EDS-line spectrum) ของฟิล์มหัองสแตนออกไซด์ที่เจือด้วยใน ไอโอเบียม 0.25 wt%	59
<b>ภาพที่ 32</b> การกระจายพลังงานของรังสีเอ็กซ์แบบเส้น (EDS-line spectrum) ของฟิล์มหัองสแตนออกไซด์ที่เจือด้วยใน ไอโอเบียม 0.50 wt%	60
<b>ภาพที่ 33</b> การกระจายพลังงานของรังสีเอ็กซ์แบบเส้น (EDS-line spectrum) ของฟิล์มหัองสแตนออกไซด์ที่เจือด้วยใน ไอโอเบียม 1.00 wt%	61
<b>ภาพที่ 34</b> ภาพถ่ายจากกล้องจุลทรรศน์อิเล็กตรอนแบบส่องกราด (SEM) และการวิเคราะห์การกระจายพลังงานของรังสีเอ็กซ์ (EDS) (ก) ฟิล์มหัองสแตนออกไซด์ (ข-ง) ฟิล์มหัองสแตนออกไซด์ที่เจือด้วย ใน ไอโอเบียมที่ความเข้มข้น 0.25, 0.50 และ 1.00 wt%	63
<b>ภาพที่ 35</b> การเปลี่ยนแปลงของค่าความด้านทานเทียบกับเวลา ในการตอบ สนองต่อแก๊สซันเฟอร์ไฮด์ออกไซด์ ของฟิล์มหัองสแตนออกไซด์ และหัองสแตนออกไซด์ที่เจือด้วยใน ไอโอเบียม ที่ความเข้มข้นของแก๊ส 20-500 ppm ณ อุณหภูมิในการทำงานของตัวตรวจจับแก๊ส $200^{\circ}\text{C}$	66

<b>ภาพที่ 36</b>	การเปลี่ยนแปลงของค่าความด้านทานเทียบกับเวลา ในการตอบสนองต่อแก๊สซันเฟอร์ไฮออกไซด์ ของฟิล์มหังสแตนออกไซด์ และหังสแตนออกไซด์ที่เจือด้วยไนโตรบียม ที่ความเข้มข้นของแก๊ส $20-500 \text{ ppm}$ ณ อุณหภูมิในการทำงานของตัวตรวจจับแก๊ส $250^\circ\text{C}$	66
<b>ภาพที่ 37</b>	การเปลี่ยนแปลงของค่าความด้านทานเทียบกับเวลา ในการตอบสนองต่อแก๊สซันเฟอร์ไฮออกไซด์ ของฟิล์มหังสแตนออกไซด์ และหังสแตนออกไซด์ที่เจือด้วยไนโตรบียม ที่ความเข้มข้นของแก๊ส $20-500 \text{ ppm}$ ณ อุณหภูมิในการทำงานของตัวตรวจจับแก๊ส $300^\circ\text{C}$	67
<b>ภาพที่ 38</b>	การเปลี่ยนแปลงของค่าความด้านทานเทียบกับเวลา ในการตอบสนองต่อแก๊สซันเฟอร์ไฮออกไซด์ ของฟิล์มหังสแตนออกไซด์ และหังสแตนออกไซด์ที่เจือด้วยไนโตรบียม ที่ความเข้มข้นของแก๊ส $20-500 \text{ ppm}$ ณ อุณหภูมิในการทำงานของตัวตรวจจับแก๊ส $350^\circ\text{C}$	67
<b>ภาพที่ 39</b>	กราฟเปรียบเทียบอุณหภูมิในการทำงานของตัวตรวจจับแก๊สซันเฟอร์ไฮออกไซด์ ที่อุณหภูมิ $200-350^\circ\text{C}$	68
<b>ภาพที่ 40</b>	กราฟแสดงค่าการตอบสนอง และเวลาในการตอบสนองของฟิล์ม เช็นเชอร์หังสแตนออกไซด์ และฟิล์มเช็นเชอร์หังสแตนออกไซด์ที่เจือด้วยไนโตรบียม ต่อแก๊สซันเฟอร์ไฮออกไซด์ ( $\text{SO}_2$ ) ณ อุณหภูมิ $250^\circ\text{C}$	69
<b>ภาพที่ 41</b>	การเปลี่ยนแปลงของค่าความด้านทานในการตอบสนองต่อแก๊สไฮโดรเจนชัลไฟด์ ของฟิล์มหังสแตนออกไซด์ และฟิล์มหังสแตนออกไซด์ที่เจือด้วยไนโตรบียม ที่ความเข้มข้นของแก๊สไฮโดรเจนชัลไฟด์ $0.2-10 \text{ ppm}$ ขณะอุณหภูมิในการทำงานของฟิล์มเช็นเชอร์ $250^\circ\text{C}$	70
<b>ภาพที่ 42</b>	การเปลี่ยนแปลงของค่าความด้านทานในการตอบสนองต่อแก๊สไฮโดรเจนชัลไฟด์ ของฟิล์มหังสแตนออกไซด์ และฟิล์มหังสแตนออกไซด์ที่เจือด้วยไนโตรบียม ที่ความเข้มข้นของแก๊สไฮโดรเจนชัลไฟด์ $0.2-10 \text{ ppm}$ ขณะอุณหภูมิในการทำงานของฟิล์มเช็นเชอร์ $300^\circ\text{C}$	71
<b>ภาพที่ 43</b>	การเปลี่ยนแปลงของค่าความด้านทานในการตอบสนองต่อแก๊สไฮโดรเจนชัลไฟด์ ของฟิล์มหังสแตนออกไซด์ และฟิล์มหังสแตนออกไซด์ที่เจือด้วยไนโตรบียม ที่ความเข้มข้นของแก๊สไฮโดรเจนชัลไฟด์ $0.2-10 \text{ ppm}$ ขณะอุณหภูมิในการทำงานของฟิล์มเช็นเชอร์ $350^\circ\text{C}$	71

<b>ภาพที่ 44</b>	ค่าการตอบสนองต่อแก๊สไฮโดรเจนชัลไฟด์ ของฟิล์มทั้งสเตนออกไซด์ และฟิล์มทั้งสเตนออกไซด์ที่เจือด้วยไนโตรบียม ที่ความเข้มข้นของแก๊สไฮโดรเจนชัลไฟด์ 0.2-10 ppm ณ อุณหภูมิในการทำงานของฟิล์มเซ็นเซอร์ $350^{\circ}\text{C}$	72
<b>ภาพที่ 45</b>	การตอบสนองของฟิล์มทั้งสเตนออกไซด์บิสฟูโรฟลูอิด และทั้งสเตนออกไซด์ที่เจือด้วยไนโตรบียม ต่อแก๊สไฮโดรเจนชัลไฟด์ ที่ความเข้มข้น 10 ppm บนະอุณหภูมิในการทำงานของตัวตรวจจับแก๊ส $250-350^{\circ}\text{C}$	73
<b>ภาพที่ 46</b>	เวลาในการตอบสนอง และเวลาการคืนกลับสู่สภาพของฟิล์มทั้งสเตนออกไซด์ และทั้งสเตนออกไซด์ที่เจือด้วยไนโตรบียมที่ความเข้มข้น 0.25 0.50 และ 1.00 wt% ใน การตรวจจับแก๊สไฮโดรเจนชัลไฟด์ ที่อุณหภูมิการทำงานของตัวตรวจจับแก๊ส $350^{\circ}\text{C}$	75
<b>ภาพที่ 47</b>	(ก-จ) เป็นการเปลี่ยนแปลงของค่าความด้านทานในการตอบสนองต่อแก๊สไฮโดรเจนชัลไฟด์ แก๊สไฮโดรเจน แก๊สแอมโมเนีย แก๊สในไฮโดรเจนไดออกไซด์ และไฮroxide ของเอทานอล ตามลำดับของฟิล์มทั้งสเตนออกไซด์ และฟิล์มทั้งสเตนออกไซด์ที่เจือด้วยไนโตรบียม ที่ความเข้มข้น 0.25 0.50 และ 1.00 wt% ที่อุณหภูมิการทำงานของตัวตรวจจับแก๊ส $350^{\circ}\text{C}$	78
<b>ภาพที่ 48</b>	เปรียบเทียบการตอบสนองต่อแก๊สต่างๆ ที่ความเข้มข้นสูงสุดในแต่ละแก๊ส ที่อุณหภูมิการทำงานของตัวตรวจจับแก๊ส $350^{\circ}\text{C}$ ของฟิล์มทั้งสเตนออกไซด์ และทั้งสเตนออกไซด์ที่เจือด้วยไนโตรบียม 0.25 0.50 และ 1.00 wt%	79

การพัฒนาฟิล์มบางทั้งสแตนออกไซด์ที่เจือด้วยไนโอมีบีมสำหรับประยุกต์ใช้เป็นตัวตรวจวัดแก๊สซัลเฟอร์ไดออกไซด์ในอุตสาหกรรมลำไยอบแห้ง

The Development of Niobium Doped Tungsten Oxide Thin Film for Application  
in Sulfer Dioxide Gas Sensor with Dried Longan Industry

วิรันธชา เครือฟู<sup>1</sup> และภูสิต พุกมนี<sup>2</sup>

Viruntachar Kruefu<sup>1</sup> and Pusit Pookmanee<sup>2</sup>

<sup>1</sup>สาขาวิชาวัสดุศาสตร์ คณะวิทยาศาสตร์ มหาวิทยาลัยแม่โจ้ จ.เชียงใหม่ 50290

<sup>2</sup>สาขาวิชาเคมี คณะวิทยาศาสตร์ มหาวิทยาลัยแม่โจ้ จ.เชียงใหม่ 50290

บทคัดย่อ

ในการศึกษานี้ได้ทำการเตรียมอนุภาคนาโนทั้งสแตนออกไซด์บริสุทธิ์ และอนุภาคนาโนทั้งสแตนออกไซด์ที่เจือด้วยไนโอมีบีมที่ความเข้มข้น 0.25, 0.50 และ 1.00 wt.% โดยทั้งสแตนออกไซด์ถูกเตรียมด้วยเทคนิคไฮโดรเทอร์มอล ที่ใช้สารละลายตั้งต้นโซเดียมทั้งสแตน และโซเดียมคลอไรด์ เตรียมฟิล์มเช็นเซอร์โดยวิธีการหมุนเหวี่ยงสารบนอุฐมินาชับสเตรท ที่ทำข้าไฟฟ้าด้วยทอง หลักมณฑะเนพะด้วยเทคนิคการวิเคราะห์พื้นที่ผิวการดูดซับแก๊สในไตรเจน การวิเคราะห์การเลี้ยวเบนของรังสีเอกซ์ เทคนิคกล้องจุลทรรศน์อิเล็กตรอนแบบส่องกราด เทคนิคกล้องจุลทรรศน์อิเล็กตรอนแบบส่องผ่าน และศึกษาผลของการเจือด้วยไนโอมีบีมต่อความสามารถในการตรวจจับต่อแก๊สซันเฟอร์ไดออกไซด์ แก๊สไฮโดรเจนซัลไฟด์ แก๊สในไตรเจน ไดออกไซด์ ไอของเอทานอล แก๊สไฮโดรเจน และแก๊สแอมโมเนีย ที่อุณหภูมิการทำงานของตัวตรวจจับแก๊ส 250–350°C ในสภาพอากาศปกติ จากการทดลองพบว่าผลของการค่าการสอบสวนของต่อแก๊สต่างๆ ขึ้นกับความเข้มข้นของไนโอมีบีมที่เจือลงไป การตอบสนองต่อแก๊สไฮโดรเจนซัลไฟด์ และไอของเอทานอล มีการตอบสนองได้ดีที่ความเข้มข้นของไนโอมีบีม 0.25 wt.% ในขณะที่ การตอบสนองต่อแก๊สไฮโดรเจน และแก๊สในไตรเจน ไดออกไซด์ มีการตอบสนองได้ดีที่ความเข้มข้นของไนโอมีบีม 0.50 wt.% และแก๊สแอมโมเนีย มีการตอบสนองได้ดีที่ความเข้มข้นของไนโอมีบีม 1.00 wt.% ดังนั้นสามารถสรุปได้ว่าการเจือไนโอมีบีมสามารถประยุกต์ใช้เป็นตัวตรวจจับแก๊สได้ดียิ่งขึ้น

คำสำคัญ: ทั้งสัตว์นกออกไซด์ ในโอเบี้ยม ชัลเฟอร์ไคออกไซด์ เช็นเซอร์แก๊ส ไฮโดรเทอร์มอล เฟลมสเปรย์ไพโร-ลิซีส



## ABSTRACT

In this work, the effect of Niobium (Nb) loading on the gas sensing performances of  $\text{WO}_3$  nanostructures prepared by hydrothermal synthesis is studied. Unloaded  $\text{WO}_3$  and 0.25-1.00 wt% Nb-loaded  $\text{WO}_3$  nanostructures were synthesized by hydrothermal synthesis using sodium tungsten dihydrate and sodium chloride as precursors under an acidic condition. Unloaded  $\text{WO}_3$  and Nb-loaded  $\text{WO}_3$  nanostructures were characterized by Brunauer-Emmett-Teller (BET analysis), X-ray diffraction (XRD), Scanning Electron Microscopy (SEM) and Transmission Electron Microscopy (TEM). Nb-loaded  $\text{WO}_3$  nanostructures were deposited on  $\text{Al}_2\text{O}_3$  substrate interdigitated with Au electrodes by spin-coating technique. Next, the  $\text{WO}_3$ -based gas sensors were characterized for gas-sensing towards  $\text{H}_2\text{S}$ ,  $\text{NO}_2$ ,  $\text{C}_2\text{H}_5\text{OH}$ ,  $\text{H}_2$  and  $\text{NH}_3$  at operating temperature ranging from  $250\text{-}350^\circ\text{C}$ . The results showed that the effects of Nb loading on responses towards different gases depend considerably on the loading concentration. The response to  $\text{H}_2\text{S}$  and  $\text{C}_2\text{H}_5\text{OH}$ , are responding well to the intensity of Nb concentration of 0.25 wt.% while the response to  $\text{H}_2$  and  $\text{NO}_2$ , are responding well to the intensity of Nb concentration of 0.50 wt.% and  $\text{NH}_3$ , are responding well to the intensity of Nb concentration of 1.00 wt.%. Therefore, Nb loading concentration can be used to effectively tailor the gas-sensing performance of hydrothermally prepared  $\text{WO}_3$ -based gas sensors.

Hexagonal  $\text{WO}_3$  and Nb-loaded  $\text{WO}_3$  ( $\text{Nb}/\text{WO}_3$ ) nanorods were successfully synthesized by a simple hydrothermal process using sodium tungstate dihydrate ( $\text{Na}_2\text{WO}_4 \cdot 2\text{H}_2\text{O}$ ) and sodium chloride (NaCl) as initial precursors and further by the impregnation method using niobium (V) ethoxide. Phase, morphologies and particles size of the products were characterized by X-ray diffraction (XRD), High-resolution transmission electron microscopy (HRTEM) and Brunauer-Emmett-Teller (BET analysis).  $\text{WO}_3$  and  $\text{Nb}/\text{WO}_3$  films have been produced using spin-coating technique. The films were subsequently annealed at  $450^\circ\text{C}$  for 3 h in air. The response of  $\text{WO}_3$  and  $\text{Nb}/\text{WO}_3$  sensors towards 20–500 ppm of  $\text{SO}_2$  in air was tested at the operating temperature ranging from  $200\text{-}350^\circ\text{C}$ . It was found that 0.50 wt%Nb/ $\text{WO}_3$  sensing film showed higher response at 500 ppm  $\text{SO}_2$  ( $250^\circ\text{C}$ ) than unloaded sample. Therefore, Nb loading concentration can be used to effectively tailor the gas-sensing performance of hydrothermally prepared  $\text{WO}_3$ -based  $\text{SO}_2$  gas sensors.

Key words: WO<sub>3</sub>, niobium, sulfur dioxide, gas sensor, hydrothermal



## คำนำ

คำไวยเป็นไม้ผลเศรษฐกิจที่สำคัญของประเทศไทยอีกชนิดหนึ่ง นิยมปลูกกันมากในภาคเหนือเพราะระดับความชื้นและสภาพภูมิอากาศที่เหมาะสมแก่การเพาะปลูกคำไวย ทำให้ได้ผลผลิตที่มีคุณภาพ คำไวยสามารถบริโภคได้ทั้งผลสด และแปรรูป อาทิ คำไวยอบแห้ง คำไวยแซ่บซี๊ด และคำไวยกระปอง เป็นต้น ประโยชน์ของคำไวยมีมากหลายอย่าง เนื่องจากคำไวยสามารถบริโภคสด บรรจุกระปอง ตากแห้ง สามารถทำเป็นชาชงใช้ดื่ม เป็นยาบำรุงกำลัง ช่วยให้หลับสนับน เจริญอาหาร ส่วนผลคำไวยแห้งมักใช้ในอาหารและยาสมุนไพรของจีน เพราะเชื่อว่ามีคุณสมบัติช่วยบำรุงกำลัง

ผลิตภัณฑ์คำไวยอบแห้งในอุตสาหกรรมเป็นการนำคำไวยมาแปรรูป โดยการอบแห้ง แบ่งออกเป็น 2 ประเภท คือ คำไวยอบแห้งชนิดเนื้อ ซึ่งเป็นการอบคำไวยที่มุ่งเน้นคำไวยล้วน ๆ โดยแกะเปลือกและเอาเมือกออก และคำไวยอบแห้งทั้งเปลือก เป็นการนำผลคำไวยสดแก่จัด มาอบให้แห้งทั้งเปลือก สามารถดำเนินการได้ง่าย รวดเร็ว และเป็นจำนวนมาก สามารถเก็บรักษาไว้ได้นาน กีบไว้บริโภคได้ตลอดปี และเป็นสินค้าส่งออกได้ คำไวยอบแห้งเป็นวิธีการแปรรูปผลผลิตคำไวยสด เพื่อเป็นการเพิ่มนูลค่าผลผลิตคำไวยให้สูงขึ้นและเป็นการแก้ไขปัญหาด้านราคาผลผลิตคำไวยลดลง จึงเป็นการเพิ่มมูลค่าให้สูงขึ้น ทั้งนี้เนื่องจากคำไวยอบแห้งเป็นที่ต้องการของตลาดทั้งในประเทศและต่างประเทศ มีความต้องการผลผลิตคำไวยอบแห้งเพิ่มมากขึ้นเรื่อยๆ ทุกวปี โดยสามารถดูได้จากตัวเลขปริมาณการส่งออกที่เพิ่มมากขึ้น การส่งออกคำไวยอบแห้งในปัจจุบันพบว่า มีการแข่งขันทางด้านตลาดกันอย่างมาก ดังนั้นในการอบแห้งคำไวย จึงได้นำการผลิตเพื่อการจำหน่าย และเกษตรกรจำเป็นต้องมีการพัฒนาคุณภาพผลผลิตคำไวยอบแห้ง เพื่อตอบสนองความต้องการของผู้บริโภค

การผลิตคำไวยอบแห้ง ณ ปัจจุบัน ใช้วิธีการอบผลคำไวยสดด้วยแก๊สซัลเฟอร์ไดออกไซด์ ( $\text{SO}_2$ ) โดยการออกแบบและสร้างห้องอบแก๊สซัลเฟอร์ไดออกไซด์ขึ้น โดยใช้แก๊สซัลเฟอร์ไดออกไซด์ที่ได้จากการเผาผงกำมะถันและจากถังอัดความดันโดยตรงกับผลคำไวยสด ด้วยระบบหมุนเวียนอากาศแบบบังคับ ซึ่งแก๊สซัลเฟอร์ไดออกไซด์ เป็นก๊าซที่ไม่มีสี มีกลิ่นกรด ถ้ามีความเข้มข้นในระดับ 0.1–0.3 พีพีเอ็ม แต่ถ้ามีค่าสูงถึงระดับ 3 พีพีเอ็ม จะมีกลิ่นฉุน และแสบจมูก โดยในการอบแห้งคำไวยมักมีปัญหาเกี่ยวกับการมีปริมาณแก๊สซัลเฟอร์ไดออกไซด์ ตกค้างในผลคำไวยสูงกว่าเกณฑ์ที่กำหนดไว้ ปัญหาการตกค้างของแก๊สซัลเฟอร์ไดออกไซด์ในผลคำไวยสูงกว่าเกณฑ์นั้น อาจเนื่องมาจากผู้ประกอบการขาดความเข้าใจที่ถูกต้องในเทคโนโลยีดังกล่าว หรือส่วนหนึ่งอาจเกิดจากทางค้านเทคโนโลยีเอง ทั้งนี้เพราระการอบแก๊สซัลเฟอร์ไดออกไซด์ ในปัจจุบันเป็นการเผาผงกำมะถันเพื่อให้ได้แก๊สซัลเฟอร์ไดออกไซด์ออกมาน้ำซึ่งเป็นวิธีที่ง่ายและเสียค่าใช้จ่ายน้อย แต่

มักมีข้อเสียคือ เมื่อมีการเผาผิงกำมะถันในปริมาณมากกว่า 1 กิโลกรัม ภายในระยะเวลาที่จำกัด ผงกำมะถันมักจะเผาไหม้ไม่หมด ทำให้ความเข้มข้นของก๊าซชัลเฟอร์ไนโอดอกออกไซด์ที่ได้ไม่ค่อยแม่นยำ เท่าที่ควร และที่สำคัญคือ ยังต้องใช้ความเข้มข้นของแก๊สชัลเฟอร์ไนโอดอกออกไซด์ หลังจากสิ้นสุดการอบควันสูงถึง 15,000 พีพีเอ็ม

ทั้งนี้เพื่อความแม่นยำและความถูกต้องของปริมาณแก๊สชัลเฟอร์ไนโอดอกออกไซด์ที่ใช้ในระหว่างการอบ และความปลอดภัยของผู้บริโภค สำหรับงานวิจัยนี้จึงสนใจพัฒนา "เซ็นเซอร์ nano" ตรวจจับแก๊สชัลเฟอร์ไนโอดอกออกไซด์ขึ้น เพื่อสามารถทำการตรวจจับแก๊สชัลเฟอร์ไนโอดอกออกไซด์ ในระหว่างการอบ ได้ ซึ่งหากเกยตระกรใช้ในปริมาณมากอาจก่อให้เกิดสารตกค้างรวมทั้งจะเป็นอันตรายต่อสุขภาพและสิ่งแวดล้อม ได้ ทั้งนี้การสร้างเซ็นเซอร์ฟิล์มบางเพื่อใช้เป็นตัวตรวจวัด แก๊สชัลเฟอร์ไนโอดอกออกไซด์ จำเป็นต้องศึกษาเชิงลึกเกี่ยวกับกระบวนการทางวิทยาศาสตร์ และเทคโนโลยีเซ็นเซอร์เพิ่มเติมเพื่อสร้างความเข้าใจ และเป็นองค์ความรู้ของตัวเองโดยไม่ต้องพึ่งพาของนำเข้าหากมีองค์ความรู้ สามารถสร้างเซ็นเซอร์ได้เอง จะทำให้ราคาถูกลงเป็น 100 เท่า จากเซ็นเซอร์ที่นำเข้ามาใช้ราคา 1,500–4,000 บาท ที่สำคัญ ยังสามารถประยุกต์ทำเป็นกลุ่มเซ็นเซอร์ ตรวจวัดก๊าซพิษประเภทอื่นๆ ได้หลากหลายอีกด้วย เช่นเซอร์ตรวจวัดแก๊สพิษสามารถที่จะนำไปใช้ในโรงงานอุตสาหกรรมที่เสี่ยงต่อการร้าวไหลของสารพิษ ซึ่งสามารถที่จะเชื่อมต่อกับระบบเตือนภัยของโรงงานอุตสาหกรรม หากเกิดความผิดปกติหรือการร้าวไหลของแก๊สพิษก็สามารถที่จะแจ้งเตือนได้ทันทีอีกด้วย

อย่างไรก็ตาม การพัฒนาเซ็นเซอร์เพื่อใช้ในการตรวจวัดแก๊สชัลเฟอร์ไนโอดอกออกไซด์ ที่มีความแม่นยำ จำเป็นต้องผ่านกระบวนการตรวจสอบและวิจัย เพื่อให้ผลการตรวจวัดมีความแม่นยำ 100% การตรวจวัดสารพิษจะต้องไม่ได้แม้แต่ 1 พีพีเอ็ม เพราะอาจก่อให้เกิดการตายได้ ดังนั้น การวิจัยและพัฒนาที่เกี่ยวข้องกับความปลอดภัยจำเป็นต้องมีความมั่นใจและสมบูรณ์ ไม่คลาดเคลื่อนแม้แต่นิดเดียว ดังนั้น การพัฒนาเซ็นเซอร์ตรวจวัดสารพิษเพื่อนำไปใช้จริง ต้องใช้เวลาพอสมควร ทั้งนี้ โครงการวิจัยนี้จะได้ทำการพัฒนาเซ็นเซอร์เพื่อใช้ในการตรวจวัดแก๊สชัลเฟอร์ไนโอดอกออกไซด์ ด้วยเซ็นเซอร์ฟิล์มบางขนาดนาโน จากทั้งสเกตเคนออกไซด์ ( $WO_3$ ) และทั้งสเกตเคนออกไซด์ที่เจือด้วยไนโตรบีเมี่ยม ( $Nb$  doped  $WO_3$ ) ที่ความเข้มข้นของแก๊สชัลเฟอร์ไนโอดอกออกไซด์ในระดับต่างๆ ตั้งแต่ประมาณ 10–20000 พีพีเอ็ม

เซ็นเซอร์แก๊สที่ประดิษฐ์จากทินออกไซด์ ( $SnO_2$ ) ได้รับความนิยมในการนำไปใช้ผลิตเป็นหัววัดแก๊สมากที่สุด เนื่องจากมีความไวในการวัด การตรวจจับสัญญาณที่ดี ใช้ต้นทุนในการผลิตต่ำ ทำได้ง่าย มีการตอบสนองที่รวดเร็ว<sup>[1]</sup> แต่อย่างไรก็ตามในช่วงระยะเวลาหลังจะพบว่าปริมาณงานวิจัยเกี่ยวกับ เซ็นเซอร์แก๊สที่ประดิษฐ์จากทั้งสเกตเคนออกไซด์ ( $WO_3$ ) มีปริมาณเพิ่มมากขึ้น

ตามลำดับ ซึ่งสามารถยืนยันให้เห็นว่าทั้งสตetenออกไซด์เป็นวัสดุที่มีสมบัติที่ดีและเป็นวัสดุอีกทางเลือกหนึ่งที่เหมาะสมในการใช้ประดิษฐ์เซ็นเซอร์แก๊ส

นอกจากนี้ภายหลังจากการควบคุมและตรวจสอบด้วยระบบการตรวจวัดแก๊สชัลเฟอร์ไดออกไซด์ด้วยเซ็นเซอร์ฟิล์มนางที่จะออกแบบเพื่อการทำงานได้จริงแล้ว ในงานวิจัยนี้ยังจะทำการศึกษาและวิเคราะห์ทางเคมีในการตรวจวัดปริมาณแก๊สชัลเฟอร์ไดออกไซด์ที่ตกค้างอยู่ทั้งที่ผิวและในเนื้อของผลลำไยในช่วงเวลาต่างๆ ระหว่างการอบด้วยแก๊สชัลเฟอร์ไดออกไซด์และภายหลังจากสิ้นสุดการอบในช่วงเวลาต่างๆ เพื่อวิเคราะห์ถึงความปลอดภัยในการบริโภคและเพื่อพัฒนาคุณภาพของลำไยอบแห้งเพื่อการส่งออกต่อไป การแปรรูปลำไยอบแห้ง ไม่ใช่เป็นเรื่องใหม่ เกษตรกรรู้จักการแปรรูปแบบนี้มานานแล้ว แต่สิ่งที่แตกต่าง คือการพัฒนาลำไยอบแห้งให้มีมาตรฐาน โดยมีแนวคิดว่าคุณภาพและมาตรฐาน เป็นพื้นฐานที่สำคัญของการส่งออก ดังนั้นจึงมีการผลักดันให้เกษตรกรเข้าสู่มาตรฐานการผลิตตามมาตรฐานสากล เพื่อหาเทคโนโลยีที่เหมาะสมในการเก็บรักษาลำไยสดให้นานและมีคุณภาพดีสำหรับการส่งออก ซึ่งมีความจำเป็นและมีความสำคัญอย่างยิ่งสำหรับผลลำไยสด

### ชัลเฟอร์ไดออกไซด์ (Sulfur dioxide)

แก๊สชัลเฟอร์ไดออกไซด์ (Sulfur dioxide gas) เกิดจากการเผาไหม้สันบูรณ์ของกำมะถันในอากาศ เป็นแก๊สพิษ ความเข้มข้นเพียง 150 ppm ในบรรยากาศ สามารถทำให้คนเสียชีวิตภายในเวลา 30–60 นาที เมื่อผสมกับอากาศหรือความชื้นที่ผิวน้ำ จะเกิดกรดกำมะถัน ซึ่งมีฤทธิ์กัดอย่างรุนแรง ผู้ที่ได้รับแก๊สนี้จึงมีอาการสำลัก และหายใจไม่ออกอย่างฉับพลัน<sup>[2]</sup>

### เซ็นเซอร์ (Sensor)

เซ็นเซอร์ คืออุปกรณ์ตรวจจับสัญญาณ หรือปริมาณทางกายภาพต่างๆ และเปลี่ยนให้เป็นสัญญาณออกหรือปริมาณเอาต์พุตที่สามารถนำไปประมวลผลต่อได้ การวัดและตรวจจับปริมาณทางกายภาพต่างๆ ของเซ็นเซอร์ มักถูกกำหนดตามความต้องการของอุตสาหกรรมการผลิตในการที่จะตรวจสอบความคุณค่า ตลอดจนการนำตัวแปรทางกายภาพเหล่านี้ไปใช้งาน ดังนั้นเงื่อนไขซึ่งเป็นปัจจัยในการเลือกเซ็นเซอร์ไปใช้งานจึงขึ้นอยู่กับธรรมชาติของปริมาณทางกายภาพที่จะทำการวัด<sup>[3]</sup>

## เซ็นเซอร์แก๊สชนิดออกไซด์ของสารกึ่งตัวนำ (Semiconductor oxide gas sensor)

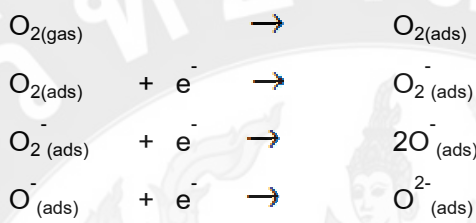
เซ็นเซอร์แก๊สชนิดสารกึ่งตัวนำสำหรับตรวจวัดแก๊ส ทำงานโดยวัดการเปลี่ยนแปลงที่เกิดขึ้นเมื่อมีโมเลกุลของแก๊ส ถูกดูดซับเข้าไปบนผิวของวัสดุที่ใช้ทำเซ็นเซอร์แก๊ส ซึ่งเมื่อผิววัสดุที่ใช้ทำ เซ็นเซอร์แก๊สสูญเสียโมเลกุลของแก๊สเข้าไปที่ผิว ก็ทำให้เกิดการเปลี่ยนแปลงค่าความต้านทานไฟฟ้าบริเวณพื้นผิว (Surface Potential) ตามชนิดและปริมาณของแก๊สที่ดูดซับ (Adsorb) ทำให้เกิดการนำไฟฟ้า เซ็นเซอร์แก๊สสามารถแบ่งออกเป็นกลุ่มได้หลายกลุ่มขึ้นอยู่กับว่าใช้เกณฑ์อะไรในการจำแนก เช่นอาจแบ่งตามลักษณะสมบัติที่เปลี่ยนแปลง แบ่งตามชนิดของวัสดุที่ใช้ประดิษฐ์ แบ่งตามลักษณะโครงสร้างของหัววัด หรือแบ่งตามลักษณะการทำงาน<sup>[3]</sup> โดยเซ็นเซอร์แก๊สแบบสารกึ่งตัวนำ เป็นเซ็นเซอร์แก๊สที่ถูกจำแนกโดยชนิดของวัสดุที่ใช้ประดิษฐ์ และลักษณะการทำงานซึ่งอาศัยประดิษฐ์จากลักษณะสมบัติของสารกึ่งตัวนำ กล่าวคือเมื่อมีโมเลกุลของแก๊สเข้ามาดูดซับที่ผิวของสารกึ่งตัวนำ จะทำให้เกิดการถ่ายเทอิเล็กตรอนระหว่างโมเลกุลของแก๊สกับสารกึ่งตัวนำ ซึ่งส่งผลทำให้ความต้านทานของสารกึ่งตัวนำที่ใช้ประดิษฐ์เซ็นเซอร์แก๊สเปลี่ยนแปลงซึ่งจะขึ้นอยู่กับชนิดของแก๊สที่เข้ามาทดสอบว่าเป็นแก๊สชนิดใดระหว่างรีดิวส์ (Reducing gas) หรือแก๊สออกซิไดซ์ (Oxidizing gas) สำหรับแก๊สรีดิวส์ ยกตัวอย่างเช่น ชันเพอร์ไอกอิกไซด์ (Sulfur dioxide; SO<sub>2</sub>), เอทานอล (Ethanol; C<sub>2</sub>H<sub>5</sub>OH), แอมโมเนีย (Ammonia; NH<sub>3</sub>), คาร์บอนไดออกไซด์ (Carbom dioxide; CO) และ โพร์พานอล (Propanol) เป็นต้น สำหรับแก๊สออกซิไดซ์ เช่น ในโตรเจนไกออกไซด์ (Nitrogendioxide, NO<sub>2</sub>)

การวิจัยและพัฒนาเซ็นเซอร์แก๊สที่ประดิษฐ์จากสารกึ่งตัวนำ ได้มีการพัฒนาอย่างต่อเนื่องมา\_nับแต่อดีตจนถึงปัจจุบัน เพื่อผลที่ทำให้เซ็นเซอร์แก๊สที่ประดิษฐ์จากสารกึ่งตัวนำได้รับความนิยมศึกษาอย่างกว้างขวาง เนื่องจากมีสมบัติเด่นหลายประการ อาทิเช่น<sup>[4]</sup>

- ใช้ต้นทุนในการผลิตต่ำ มีขนาดเล็ก สะดวกสำหรับการพกพา (เมื่อเปรียบเทียบกับเครื่องมือวิเคราะห์)
- มีความไวในการตอบสนอง (Response) และการคืนสภาพ (Recovery) ที่ดีต่อทั้ง แก๊สออกซิไดซ์ (Oxidizing gas) และแก๊สรีดิวส์ (Reducing gas)
- มีโครงสร้างที่แข็งแรงเมื่อเปรียบเทียบกับเซ็นเซอร์แก๊สที่ประดิษฐ์จากสารอินทรีย์
- มีอายุการใช้งานที่ยาวนาน
- นอกจากนี้ยังมีการเปลี่ยนแปลงสมบัติจากการเพิ่มขึ้นของแก๊สเป็นปริมาณทางไฟฟ้าทำให้ง่ายต่อการแปลงผลสำหรับการตรวจวัดชนิดและปริมาณของแก๊สชนิดต่างๆ ดังนั้นจึงทำให้มีการประดิษฐ์หัววัดแก๊สสำหรับตรวจวัดแก๊สชนิดต่างๆ pragmatically เป็นจำนวนมาก

## การตรวจจับแก๊สซัลเฟอร์ไดออกไซด์

การตรวจวัดแก๊สของเชื้นเชอร์แก๊ส เกิดขึ้นจากการมีช่องว่างออกซิเจนเกิดในโครงสร้างเมื่อหังสetenออกไซด์มีอุณหภูมิสูงขึ้น แก๊สออกซิเจนในอากาศเข้ามายึดติดกับช่องว่างออกซิเจน โดยการดึงอิเล็กตรอนจากบริเวณพื้นผิวของหังสetenออกไซด์แล้วแตกตัวเป็นไอออนลบ<sup>[5-6]</sup> ในกลุ่มซุปเปอร์ออกไซด์ไอออน (Superoxide ion) ( $O_2^-$  หรือ  $O^-$  หรือ  $O^{2-}$ ) ดังสมการ



จากนั้นไอออนลบ จะเข้ามายึดที่ติดพิษาน้ำของหังสetenออกไซด์ ในบริเวณที่มีช่องว่างออกซิเจน โดยกลไกการตรวจจับแก๊สจะเริ่มต้นจากกระบวนการคุกคามออกซิเจน (Oxygen- adsorption) ที่อุณหภูมิการทำงานในช่วง  $200\text{--}400^\circ\text{C}$  โดยเมื่อฟิล์มเชื้นเชอร์สัมผัสกับอากาศที่อุณหภูมิสูง อิเล็กตรอนจะทำปฏิกิริยากับออกซิเจนคลายเป็นออกซิเจนไอออน เช่น  $O^{2-}$  หรือ  $O^-$  ซึ่งจะก่อตัวเป็นกำแพงศักย์ด้วยข้อห่วงการเคลื่อนที่ผ่านระหว่างเกรนของอิเล็กตรอนอิสระ ไม่ให้เป็นไปอย่างอิสระทำให้สภาพความนำไฟฟ้าของฟิล์มเชื้นเชอร์ลดลง โดย  $O^-$  จะมีผลต่อการเปลี่ยนแปลงค่าความนำไฟฟ้าให้มีค่าต่ำมากเมื่ออุ่นในสภาวะอากาศบริสุทธิ์และอุณหภูมิการทำงานปกติซึ่งจะมีผลทำให้กำแพงศักย์มีค่าสูง

เมื่อมีแก๊สรีดิวส์เข้ามาทำปฏิกิริยา จะทำให้ปริมาณของออกซิเจนที่ถูกคุกคามบริเวณพื้นผิวของฟิล์มเชื้นเชอร์ลดลงซึ่งจะทำให้กำแพงศักย์ลดลง และมีผลต่อเนื่องทำให้ค่าความนำไฟฟ้าเพิ่มขึ้น ในทางตรงกันข้ามเมื่อมีแก๊สออกซิไดซ์เข้ามาทำปฏิกิริยา ออกซิเจนที่ถูกคุกคามที่บริเวณพื้นผิว รวมทั้งมีการดึงอิเล็กตรอนบริเวณพื้นผิวนะเกิดปฏิกิริยา ส่งผลให้กำแพงศักย์มีค่าเพิ่มขึ้น ทำให้ค่าสภาพความนำไฟฟ้ามีค่าลดลง

## ค่าการตอบสนอง (Response)<sup>[7-11]</sup>

ค่าการตอบสนอง (Response) คือ ความสามารถของตัวตรวจจับแก๊สที่จะบอกความแตกต่างของปริมาณแก๊สที่จะทำการวัด เช่น ตัวตรวจจับแก๊สบางชนิด ไม่สามารถบอกความแตกต่างของแก๊สปริมาณน้อยๆ เช่น  $10\text{ ppm}$  กับ  $11\text{ ppm}$  ໄ้ดีดังนั้นเมื่อนำตัวตรวจจับแก๊สไปวัด แก๊ส 2 บริเวณที่มีปริมาณแก๊สแตกต่างกันน้อยๆ ทำให้เข้าใจผิดคิดว่าบริเวณทั้ง 2 มีแก๊สในปริมาณเท่ากัน

คุณสมบัติชนิดนี้สำคัญเฉพาะกรณีแก๊สที่วัดมีปริมาณน้อยๆ หรือต้องการความถูกต้องในการวัดสูงเท่านั้น ค่าการตอบสนอง ถือว่าเป็นตัวแปรที่แสดงถึงความรวดเร็วในการตอบสนองต่อแก๊สเมื่อสารประกอบโลหะออกไซด์เกิดปฏิกิริยาเคมีกับแก๊ส

นอกจากนี้แล้วโดยทั่วไป การคำนวณหาค่าการตอบสนองของเซ็นเซอร์นี้ นิยมคำนวณจากอัตราส่วนระหว่างความต้านทานของสองสภาพ คือ ความต้านทานในสภาพบรรยายกาศ และความต้านทานในสภาพที่มีแก๊สทำปฏิกิริยากับตัวตรวจจับแก๊ส ทั้งนี้ สามารถที่ใช้ในการคำนวณค่าการตอบสนองในการตรวจจับของแก๊สต่างๆ ต่อตัวตรวจจับแก๊สนั้น จะขึ้นอยู่กับชนิดของแก๊สที่ต้องการทดสอบ ว่าเป็นแก๊สชนิดใด ระหว่างแก๊สรีดิวส์ (Reducing gas) หรือแก๊สออกซิไดซ์ (Oxidizing gas)

สำหรับแก๊สชนิดรีดิวส์ เช่น เอทานอล (Ethanol; C<sub>2</sub>H<sub>5</sub>OH) และ ไนโอมีเนีย (Ammonia; NH<sub>3</sub>) ชัลเฟอร์ไดออกไซด์ (Sulfur dioxide; SO<sub>2</sub>) คาร์บอนมอนอกไซด์ (Carbonmonoxide; CO) โปรพานอล (Propanol) เป็นต้น การคำนวณหาค่าการตอบสนองต่อแก๊ส สามารถหาได้จากการ

$$\text{Response} = \frac{R_a}{R_g}$$

และการคำนวณหาค่าการตอบสนองต่อแก๊สออกซิไดซ์ เช่น ในไตรเจนไดออกไซด์ (Nitrogendioxide; NO<sub>2</sub>) เป็นต้น ต่อตัวตรวจจับแก๊ส สามารถหาได้จากการ

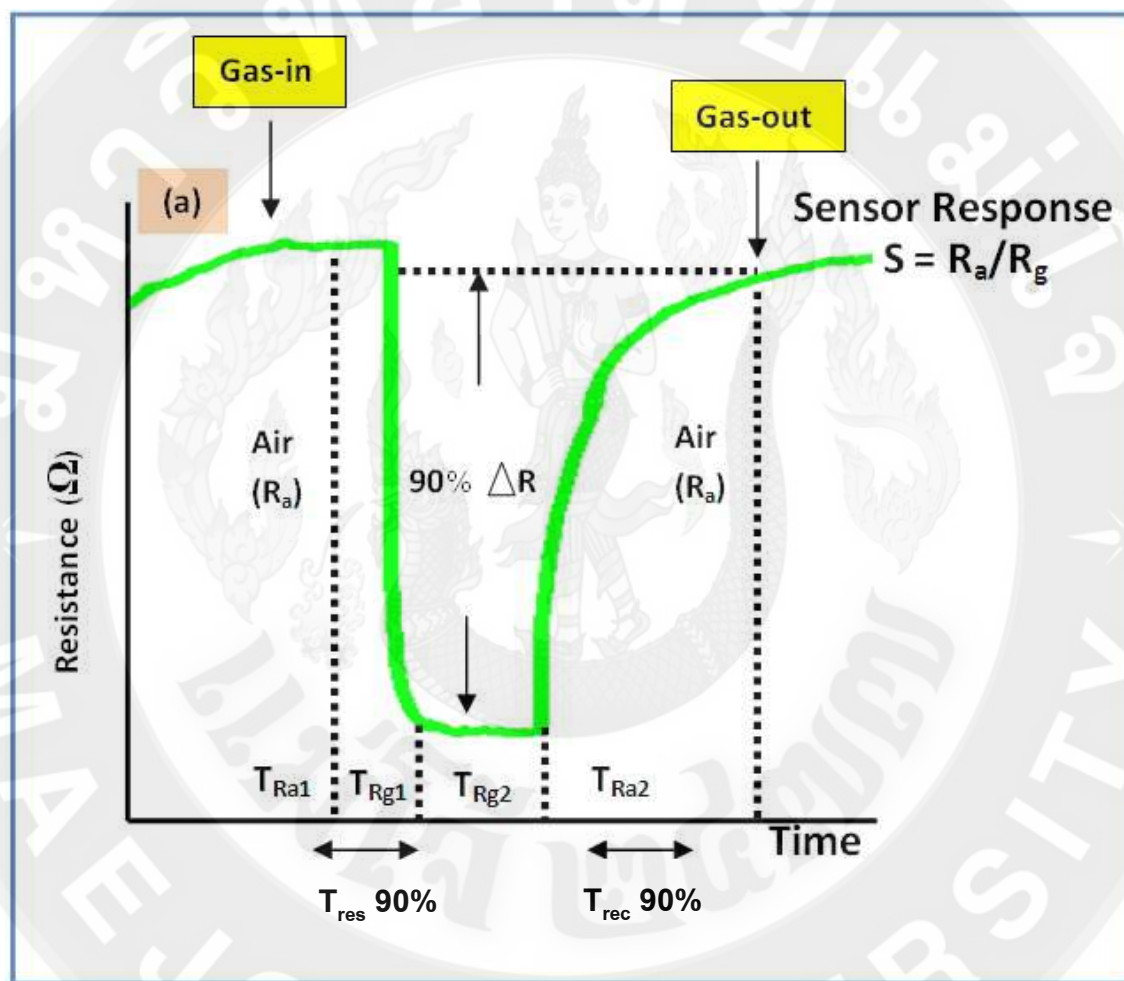
$$\text{Response} = \frac{R_g}{R_a}$$

โดยที่ R<sub>a</sub> คือ ค่าความต้านทานไฟฟ้าของฟิล์มเซ็นเซอร์ในสภาพอากาศปกติ R<sub>g</sub> คือ ค่าความต้านทานไฟฟ้าของฟิล์มเซ็นเซอร์ในสภาพที่มีแก๊sexchange ทำปฏิกิริยากับเซ็นเซอร์

เวลาในการตอบสนอง (Response time, T<sub>res</sub>)<sup>[7-11]</sup>

เวลาการตอบสนอง คือ ความสามารถในการตอบสนองอย่างรวดเร็วในทันทีเมื่อแก๊สที่ทำการตรวจจับมาสัมผัสกับตัวตรวจจับแก๊ส คุณสมบัติข้อนี้มีความสำคัญมาก โดยเฉพาะอย่างยิ่งเมื่อแก๊สที่ทำการตรวจจับเป็นแก๊สพิษ หรือแก๊สไวไฟ เพื่อทำให้สามารถหลีกเลี่ยงและแก้ไขได้ทันท่วงที ก่อนที่จะได้รับอันตรายหรือเกิดเหตุร้ายแรงในบริเวณที่ทำการตรวจจับแก๊ส หากแก๊ส

ร์วไหลอคมา ความไวในการตอบสนอง เป็นตัวแปรที่แสดงถึงความรวดเร็วในการตอบสนองต่อแก๊ส เมื่อสารประกอบโลหะออกไซด์เกิดปฏิกิริยาเคมีกับแก๊ส สภาพต้านทานไฟฟ้าเปลี่ยนแปลงตามเวลา (Transient response) อยู่ครู่หนึ่งแล้วคงที่กับเวลา (Steady state response) เวลาที่มีการเปลี่ยนแปลงของสภาพต้านทานไฟฟ้าจะมีค่าเป็น 90% ของผลต่างระหว่างค่าสภาพต้านทานไฟฟ้าเดิมกับค่าสภาพต้านทานไฟฟ้าคงที่กับเวลา ว่าเวลาการตอบสนอง ซึ่งแสดงดังภาพที่ 1



ภาพที่ 1 การหาเวลาการตอบสนอง และเวลาการคืนกลับสู่สภาพเดิม

#### เวลาการกลับคืนสู่สภาพเดิม (Recovery time, $T_{rec}$ )<sup>[7-11]</sup>

เวลาการกลับคืนสู่สภาพเดิม คือ ความสามารถในการกลับสู่สภาพเดิมของตัวตรวจจับแก๊ส เมื่อออยู่ในสภาวะบรรยายกาศ ภายหลังการทดสอบการเกิดปฏิกิริยาต่อแก๊สไวเคราะห์อย่างรวดเร็ว คุณสมบัติข้อนี้มีความสำคัญเนื่องจากว่าเป็นการบ่งบอกถึงความสามารถและประสิทธิภาพที่ดีของตัวตรวจจับแก๊ส เวลาการกลับคืนสู่สภาพเดิมเป็นตัวแปรที่แสดงสภาพการคืนสู่สภาวะปกติอย่าง

รวดเร็วภายหลังจากเกิดสภาวะในการตอบสนองต่อแก๊ส เมื่อภายในห้องการเกิดปฏิกิริยาเคมีกับแก๊ส สภาพไฟฟ้าที่เปลี่ยนแปลงตามกาลเวลา (Transient response) อยู่ครู่หนึ่งแล้วจะคงที่กับเวลา (Steady state response) เช่นเดียวกัน เมื่อมีแก๊สทำปฏิกิริยาอย่างต่อเนื่อง ความด้านทันทันกลับจะสูง สภาพปกติ (Original baseline) โดยใช้เวลาที่เร็วที่สุดในความสามารถของตัวตรวจจับแก๊สนั้นๆ เรียกว่าเวลาที่มีการเปลี่ยนแปลงของสภาพด้านทันทันไฟฟ้ากลับสู่สภาพเดิมจนมีค่าเป็น 90% ของผลต่างระหว่างสภาพด้านทันทันไฟฟ้าที่คงที่กับเวลาในสภาพการตอบสนองต่อแก๊สว่า เวลาในการกลับคืนสู่สภาพเดิม

การคำนวณหาค่าเวลาการตอบสนอง และเวลาคืนกลับสู่สภาพเดิมที่ 90% ของค่าความด้านทันทันเมื่อมีแก๊สเข้ามาทำปฏิกิริยาคงที่ กับค่าความด้านทันทันสภาพเดิมของตัวตรวจจับแก๊ส สามารถคำนวณได้จากการด้านล่าง โดยพิจารณาจากภาพที่ 1 ประกอบ

$$T_{rec} = \left[ T_{R_g 1} - \left\{ \left( T_{R_g 1} - T_{R_g 2} \right) \right\} \times \frac{90}{100} \right] - T_{R_g 1}$$

$$T_{rec} = \left[ T_{R_g 2} - \left\{ \left( T_{R_g 2} - T_{R_g 1} \right) \right\} \times \frac{90}{100} \right] - T_{R_g 2}$$

- โดยที่  $T_{R_g 1}$  คือ เวลาที่ค่าของความด้านทันทันในสภาพบรรยายกาศ ( $R_a$ ) คงที่ก่อนเกิดการเปลี่ยนแปลงของค่าความด้านทันทันเมื่อให้แก๊สเข้าไป
- $T_{R_g 2}$  คือ เวลาที่ค่าของความด้านทันทันในสภาพที่มีแก๊สเข้าไปทำปฏิกิริยากับฟิล์มเช็นเชอร์ ( $R_g$ ) ก่อนเกิดการเปลี่ยนแปลงของค่าความด้านทันทันกลับสู่สภาพเดิม
- $T_{R_g 2}$  คือ เวลาที่ค่าของความด้านทันทันในสภาพที่มีแก๊สเข้าไปทำปฏิกิริยากับฟิล์มเช็นเชอร์ ( $R_g$ ) คงที่สุดท้าย ก่อนเกิดการเปลี่ยนแปลงของค่าความด้านทันทันกลับคืนสู่สภาพเดิม
- $T_{R_g 2}$  คือ เวลาที่ค่าของความด้านทันทันในสภาพกลับสู่บรรยายกาศ ( $R_a$ ) คงที่อีกครั้งหลังจากเกิดการเปลี่ยนแปลงของค่าความด้านทันทันเมื่อให้แก๊สเข้าไป

### ความจำเพาะ (Selectivity)<sup>[7-11]</sup>

ความจำเพาะ (Selectivity) คือ ความสามารถในการแยกแยะความแตกต่างระหว่างแก๊สที่ต้องการวัด กับแก๊สที่ไม่ต้องการวัดได้ กล่าวคือ ตัวตรวจจับแก๊สชนิดหนึ่งๆ ควรมีความสามารถในการต้องสนองต่อแก๊สชนิดหนึ่งชนิดเดียวที่ต้องการวัด ไม่ควรที่จะตอบสนองต่อแก๊สชนิดอื่น เพราะทำให้สัญญาณรบกวนการวัดได้

### ความเสถียรภาพ (Stability)<sup>[7-11]</sup>

ความเสถียรภาพ (Stability) คือ ผลในการวัดคงที่ไม่เสื่อมสภาพเร็วในการใช้งาน เพื่อให้ตัวตรวจจับแก๊สสามารถใช้วัดได้อย่างต่อเนื่อง โดยทั่วไปฟิล์มเซ็นเซอร์ที่เตรียมจากพอลิเมอร์ มักมีปัญหานี้ในการใช้งาน

### พิสัยการวัด (Dynamic range)<sup>[7-11]</sup>

พิสัยการวัด (Dynamic range) คือ ช่วงกว้างของการวัดของตัวตรวจจับแก๊ส ตัวตรวจจับบางตัวสามารถวัดปริมาณแก๊สตั้งแต่ 100-10000 ppm แต่บางตัวอยู่ในช่วง 10-50 ppm

### ข้อควรจำในการใช้งานและข้อจำกัดของเซ็นเซอร์แก๊ส

- หลังจากใช้งานเซ็นเซอร์แก๊สแล้วปล่อยทิ้งไว้ภายในตัวเครื่องชั่วขณะ เป็นระยะเวลา ต้องใช้เวลาระยะเวลาหนึ่งเพื่อให้คุณสมบัติของเซ็นเซอร์แก๊สถึงจุดที่มีความเสถียรภาพเสียก่อน
- อุณหภูมิตัวเรือนของตัวเซ็นเซอร์แก๊ส จะถูกทำให้ร้อนด้วยตัวทำความร้อนโดยมีค่าเป็น 30°C ถึง 40°C ซึ่งจะสูงกว่าอุณหภูมิห้องในขณะที่กำลังปฏิบัติงาน
- ต้องวัดคุณสมบัติของตัวเซ็นเซอร์แก๊ส หลังจากที่ปฏิบัติงานมาแล้วมากกว่า 24 ชั่วโมง เพื่อความเสถียรภาพของตัวเซ็นเซอร์

โดยพื้นฐานของเซ็นเซอร์แก๊สที่ผลิตขึ้นยังมีข้อจำกัดด้านการตอบสนอง ต่อแก๊สอย่างจำเพาะ (Selectivity) ทำให้ไม่สามารถแยกแยะชนิดของแก๊สได้โดยง่าย นอกจากนี้ยังมีปัญหาเกี่ยวกับเสถียรภาพของการวัด (Stability) กล่าวคือ มักมีความไม่คงที่ในการวัด ดังนั้นในช่วงเวลาที่ผ่านมา ได้มีการให้ความสนใจ ในการวิจัยและพัฒนาเซ็นเซอร์แก๊สแบบสารกึ่งตัวนำเพื่อปรับปรุงสมบัติ และเพิ่มประสิทธิภาพในการนำไปใช้งานให้หลากหลายขึ้น<sup>[3-4]</sup>

### ทั้งสแตนออกไซด์ (Tungstane oxide; $\text{WO}_3$ )

ทั้งสแตนออกไซด์ ( $\text{WO}_3$ ) ประกอบด้วยออกซิเจน และโลหะทรานซิชัน มีสีเหลือง ปัจจุบันนิยมใช้งานด้าน Electrochromic, เซ็นเซอร์ตรวจจับแก๊ส เนื่องจากทั้งสแตนออกไซด์ ( $\text{WO}_3$ ) มี Band gaps ที่กว้าง มีประดิษฐ์หากลายในการประยุกต์ใช้งาน และยังมีโครงสร้างในระดับนาโน

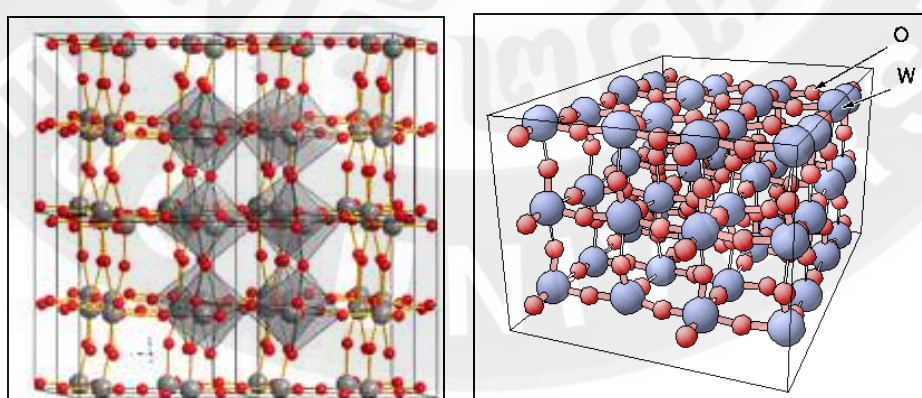
สามารถสังเคราะห์ได้โดยวิธีง่าย ราคาไม่แพง โดยทั่งสแตนออกไซด์ ( $\text{WO}_3$ ) มีโครงสร้างผลึกแบบ โมโนคลินิก (Monoclinic) มีจุดหลอมเหลวที่  $1473^\circ\text{C}$  หรือ  $1746\text{ K}$  มีจุดเดือดที่  $1700^\circ\text{C}$  หรือ  $1973\text{ K}$  ความหนาแน่น  $7.16\text{ g/cm}^3$  มวลอัตตوم เท่ากับ  $231.84\text{ g/mol}^{[12]}$  ทั่งสแตนออกไซด์ ( $\text{WO}_3$ ) เป็นสารกึ่งตัวนำที่สำคัญ มีคุณสมบัติเป็นตัวเร่งปฏิกิริยาในกระบวนการไฟฟ้ากระแสไฟฟ้าและไนโตรเจล (Nanogel) แต่มีความสามารถในการตอบสนองช่วงความยาวคลื่นแสงได้กว้าง กว่าไทเทเนียม ไดออกไซด์ ( $\text{TiO}_2$ ) และครอบคลุมพลังงานแสงทั้งในช่วงยูวี และช่วงวิสิเบิล ซึ่งที่ผ่านมาการศึกษาเกี่ยวกับวิธีการสังเคราะห์ทั่งสแตนออกไซด์ด้วยกันหลายวิธี เช่น โซเจล (Sol-gel), การระเหยด้วยความร้อน (Thermal evaporation) การแօโนไดเซชัน (Anodization) ไฮโดรเทอร์มอล (Hydrothermal) และเฟลมสเปรย์ไฟฟ์โรลิซิส (Flame spray pyrolysis) เป็นต้น ซึ่งในบรรดาวิธีการเหล่านี้จะใช้เทคนิคในการสังเคราะห์สารกึ่งตัวนำที่แตกต่างกันออกໄປ<sup>[13]</sup> โดยทั่วไปทั่งสแตนออกไซด์ ( $\text{WO}_3$ ) มีค่าช่องว่างพลังงาน (Energy gap; Eg) ประมาณ  $3.0\text{-}3.25\text{ eV}^{[14-15]}$

ทั่งสแตนออกไซด์ แสดงดังภาพที่ 2 มีโครงสร้างผลึกแบบเอกซ์ โภนอล (Hexagonal system) โครงสร้างผลึกของทั่งสแตนออกไซด์จะขึ้นอยู่กับอุณหภูมิ เป็นเตตระ โภนอลที่อุณหภูมิสูงกว่า  $740^\circ\text{C}$ , ออฟโรรมบิก (Orthorhombic)  $330\text{-}740^\circ\text{C}$ , โมโนคลินิก (Monoclinic)  $17\text{-}330^\circ\text{C}$  และไตรคลินิก (Triclinic)  $-50\text{-}17^\circ\text{C}$  โครงสร้างที่พบบ่อยที่สุดของ  $\text{WO}_3$  คือ โมโนคลินิก (Monoclinic) และเอกซ์ โภนอล (Hexagonal)

โครงสร้างแบบเอกซ์ โภนอล (Hexagonal System)

$$a = b \neq c$$

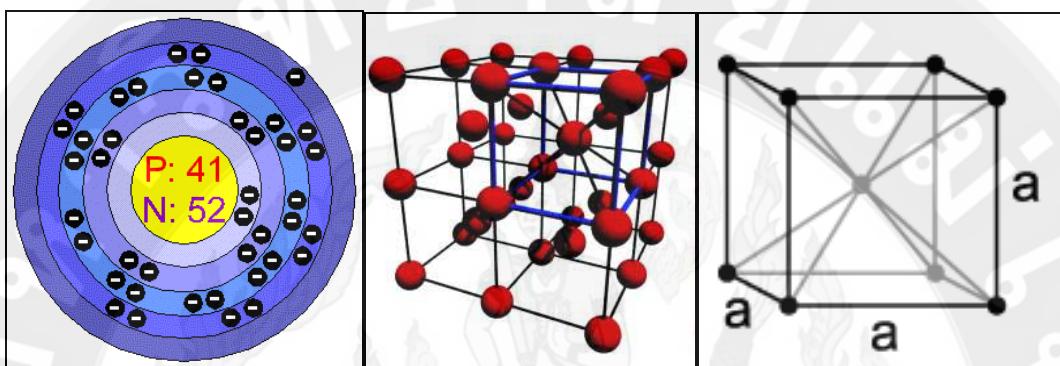
$$\alpha = \beta = 90^\circ, \gamma = 120^\circ \text{ องศา}$$



ภาพที่ 2 โครงสร้างผลึกของทั่งสแตนออกไซด์ ( $\text{WO}_3$ )<sup>[12]</sup>

## ไนโอลีบียม (Nb)

ไนโอลีบียม (Niobium; Nb) เป็นธาตุที่มีเลขอะตอม 41 และสัญลักษณ์คือ Nb มวลอะตอมเท่ากับ 92.90638 g/mol มีสีเทา หายาก อ่อนนุ่ม ตีเป็นแผ่นได้ พบริในแร่ไนโอบาite ใช้ทำโลหะผสม โดยเฉพาะการเชื่อมข้อต่อ มีสมบัติเป็นโลหะทรานซิชัน (Transition metals) มีระบบผลึกแบบคิวบิก (Cubic body centered) โดยมีโครงสร้างของอะตอมและโครงสร้างผลึก ดังแสดงในภาพที่ 3



ภาพที่ 3 โครงสร้างอะตอม และโครงสร้างผลึกของไนโอลีบียม<sup>[13]</sup>

### วัตถุประสงค์ของการวิจัย

- เพื่อสังเคราะห์ผงทังสเตโนออกไซด์และผงทังสเตโนออกไซด์ที่เจือด้วยไนโตรบีมที่มีขนาดเล็กในระดับนาโน
- เพื่อหาลักษณะเฉพาะของผงขนาดนาโนของทังสเตโนออกไซด์ และผงทังสเตโนออกไซด์ที่เจือด้วยไนโตรบีม
- เพื่อประดิษฐ์ฟิล์มน้ำแข็งตรวจวัดแก๊สซัลเฟอร์ไดออกไซด์
- เพื่อวิเคราะห์ปริมาณซัลเฟอร์ไดออกไซด์ที่ตกค้างในเนื้อลำไยอบแห้งได้

### ประโยชน์ที่คาดว่าจะได้รับ

1. สามารถเผยแพร่ผลงานการวิจัยในวารสารทางวิชาการทั้งภายในและต่างประเทศ หรือการนำเสนอผลงานในการประชุมสัมมนาระดับชาติ และระดับนานาชาติ
2. สามารถเผยแพร่ความรู้และเทคโนโลยี และสร้างความเชื่อมั่นในวงการอุตสาหกรรม ทางด้านการส่งออกคำไทยบนแพลตฟอร์มที่มีคุณภาพ
3. หน่วยงานราชการที่ทำงานวิจัยทางด้านนี้ รวมทั้งบริษัทเอกชน หรือโรงงานอุตสาหกรรม ต่างๆ ที่สนใจสามารถนำผลงานวิจัยไปนี้ไปพัฒนาทั้งในเชิงของงานวิจัย และพัฒนาให้สามารถนำไปใช้งานได้จริงและอย่างมีประสิทธิภาพต่อไป

## การตรวจเอกสาร

Gaury และคณะ<sup>[16]</sup> ศึกษาทั้งสแตนออกไซด์ที่เจือด้วยไนโอลีม ด้วยวิธี electrostatic spray deposition โดยใช้ทั้งสแตน กับ โพพานอล เป็นสารตั้งต้น และเจือด้วยไนโอลีมคลอไรด์ ( $\text{NbCl}_5$ ) นำอนุภาคที่ได้นำมาวิเคราะห์ด้วยเทคนิคกล้องจุลทรรศน์เล็กตระหง่านแบบส่องกราด (SEM), กล้องจุลทรรศน์อิเล็กตระหง่านแบบส่องผ่าน (TEM) และการเดี่ยวเบนของรังสีเอ็กซ์ (XRD) ผลจากการตรวจสอบได้ว่าทั้งสแตนออกไซด์ที่เจือด้วยไนโอลีม มีขนาด  $10\text{-}20 \mu\text{m}$  โครงสร้างผลึกเป็นเอกะ โภกนอล ซึ่งตรงกับ JCPDS หมายเลข 33-1387

Kim และคณะ<sup>[17]</sup> ทำการเตรียมทั้งสแตนออกไซด์แบบฟิล์มบางด้วยวิธีสปีตเตอร์ริง เพื่อใช้ตรวจวัดแก๊ส  $\text{NO}_x$  โดยทำการปรับปรุงค่าความไวในการตอบสนองต่อแก๊สโดย การนำไปเผาที่ อุณหภูมิ  $600^\circ\text{C}$  พบว่าความสามารถในการเกิดผลึกของฟิล์มจะมีความสัมพันธ์โดยตรงกับสมบัติ การตอบสนองต่อแก๊สของฟิล์ม โดยค่าความไวของฟิล์มสามารถปรับปรุงให้ดีขึ้นได้โดย การเพิ่มความสามารถในการเกิดผลึกของฟิล์ม

Ivanov และคณะ<sup>[18]</sup> ได้ทำการศึกษาผลของสารเร่งการยึดติด (Adhesion promoters) ใน เช็นเซอร์แก๊สแบบฟิล์มหนาที่ประดิษฐ์จากทินออกไซด์และทั้งสแตนออกไซด์ โดยพบว่าเช็นเซอร์ แก๊สที่ประดิษฐ์จากทั้งสแตนออกไซด์ที่เติมด้วยสารบิสมัทออกไซด์ ( $\text{Bi}_2\text{O}_3$ ) และคอปเปอร์ออกไซด์ ( $\text{Cu}_2\text{O}$ ) จะมีค่าความไวสูงในการตอบสนองต่อแก๊สแอมโมเนีย ที่อุณหภูมิการใช้งานที่  $250^\circ\text{C}$  และ เช็นเซอร์แก๊สที่ประดิษฐ์จากทั้งสแตนออกไซด์ที่เติมด้วยสารบิสมัทออกไซด์อย่าง เดียวจะมีค่าความไวสูงในการตอบสนองต่อแก๊สในไตรเจน ได้ออกไซด์ที่อุณหภูมิการใช้งานที่  $250^\circ\text{C}$

Solis และคณะ<sup>[19]</sup> ได้ทำการประดิษฐ์เช็นเซอร์แก๊สจากผงทั้งสแตนเนื้อ ละเอียด ที่เตรียมโดย วิธีการระเหยโลหะทั้งสแตน โดยทั้งสแตนที่ได้จะประกอบไปด้วยเฟสโนโนคลินิก และเตตราออกนอล ซึ่งจะมีขนาดของเกรนเฉลี่ยประมาณ  $40 \text{ nm}$  พบว่าเช็นเซอร์แก๊สที่ได้แสดงคุณสมบัติที่ดีมาก ในการตรวจวัดแก๊ส  $\text{H}_2\text{S}$  ในระดับความเข้มข้นต่ำๆ ที่อุณหภูมิห้อง และยังพบอีกว่าค่าความไวในการตอบสนองต่อแก๊ส  $\text{H}_2\text{S}$  เกือบจะหายไปหลังจากการเผาฟิล์มที่อุณหภูมิ สูงกว่า  $600^\circ\text{C}$  ซึ่งเป็นผล ที่เกี่ยวเนื่องจากการหายไปของเฟส เตตราออกนอล ที่อุณหภูมิสูงกว่า  $600^\circ\text{C}$

Akiyama และคณะ<sup>[20]</sup> ได้ทำการสังเคราะห์ทั้งสแตนออกไซด์ เพื่อใช้ในการประดิษฐ์เช็นเซอร์ แก๊สโดยวิธีการแยกสลายด้วยความร้อน (Pyrolysis) พบว่าจะสามารถนำไปใช้ตรวจวัดแก๊ส  $\text{NO}_x$  ที่ อุณหภูมิการใช้งานประมาณ  $300^\circ\text{C}$  ได้ นอกจากนี้ยัง สามารถปรับปรุงค่าความไวในการ ตอบสนองต่อแก๊ส  $\text{NO}_x$  ให้ดีขึ้นได้ โดยการใช้ Pt เป็นขี้ไฟฟ้า และเติมโลหะมีสกุล (noble metal) เช่น Ru และ Au ลงไปในโครงสร้างของวัสดุที่ใช้ประดิษฐ์เช็นเซอร์แก๊ส

Inoue และคณะ<sup>[21]</sup> ได้ประดิษฐ์เซ็นเซอร์แก๊สแบบฟิล์มหนาที่เตรียมจากผงหังสแตนออกไซด์โดยวิธีสลายตัวด้วยความร้อน (Thermal decomposition) ของสารแอมโมเนียมพาราหังสเตต ( $(\text{NH}_4)_10 \text{W}_{12}\text{O}_{41}$ ) ในบรรยายกาศปกตที่อุณหภูมิ  $600^\circ\text{C}$  เป็นเวลา 1 ชั่วโมง พบร่วมกับการยึดติดกันระหว่างฟิล์มกับแผ่นรองสามารถปรับปรุงให้ดีขึ้น ได้โดยการเติม ซิลิกา ( $\text{SiO}_2$ ) ซึ่งจะทำหน้าที่เป็นสารยึดประสาน (Binder) ในฟิล์มหังสแตนออกไซด์ และเซ็นเซอร์แก๊สยังแสดงให้เห็นถึงการตอบสนองที่ดีต่อแก๊ส  $\text{NO}_2$  ในช่วงความเข้มข้น 2-3 พีพีเอ็ม

Wang และคณะ<sup>[22]</sup> พบร่วมกับเซ็นเซอร์แก๊สแบบเซรามิกที่ประดิษฐ์จากหังสแตนออกไซด์ที่มีโครงสร้างผลึกสมร่วง ไม่โนนคลินิกและไตรคลินิกที่มีขนาดเกรนเฉลี่ยประมาณ  $21 \text{ nm}$  จะมีการตอบสนองที่ดีต่อเอทานอล และพบว่าอุณหภูมิการเผาที่ทำให้เซ็นเซอร์แก๊สมีค่าความไวสูงสุดคือที่  $500^\circ\text{C}$  โดยมีอุณหภูมิการใช้งานประมาณ  $200^\circ\text{C}$

Lee และคณะ<sup>[23]</sup> ได้ทำการสังเคราะห์ผงหังสแตนออกไซด์โดยวิธีโซลเจลร่วมกับวิธีการตกตะกอน (Sol-coprecipitation) สารหังสแตนเซกซ์คลอไรด์ ( $\text{WCl}_6$ ) และไทเทเนียมเตตራคลอไรด์ ( $\text{TiCl}_4$ ) พบร่วมกับ  $\text{TiO}_2$  ที่เติมลงไปในโครงสร้างของ  $\text{WO}_3$  สามารถทำให้เซ็นเซอร์แก๊สมีค่าความไวในการตอบสนองต่อแก๊ส  $\text{NO}_x$  ที่ความเข้มข้นต่ำๆ (0.5-30 พีพีเอ็ม) ได้ดี

Shieh และคณะ<sup>[24]</sup> ได้ประดิษฐ์เซ็นเซอร์แก๊สแบบฟิล์มบางที่เตรียมจากหังสแตนออกไซด์ที่มีโครงสร้างผลึกแบบโนโนคลินิก โดยวิธีโซล-เจล พบร่วมกับเมื่อเติมไททาเนียม ( $\text{Ti}$ ) ลงไปในวัสดุที่ใช้ประดิษฐ์เซ็นเซอร์แก๊สจะทำให้วัสดุที่ได้มีขนาดอนุภาคอยู่ระหว่าง  $17.9\text{-}33.8 \text{ nm}$  และสามารถเพิ่มค่าความไวในการตรวจจับแก๊ส  $\text{NO}_2$

Boudibaa และคณะ<sup>[25]</sup> ได้ทำการเตรียมผงหังสแตนออกไซด์ โดยวิธีไฮโตรเทอร์มอล จากนั้นเตรียมฟิล์มเซ็นเซอร์โดยวิธีบลีนสกرين เพื่อทดสอบการตรวจจับแก๊ส  $\text{SO}_2$  พบร่วมกับเซ็นเซอร์ที่เตรียมได้สามารถตรวจจับแก๊ส  $\text{SO}_2$  ได้ดีที่ความเข้มข้น 1-10 ppm ณ อุณหภูมิการทำงานของฟิล์มเซ็นเซอร์  $200\text{-}300^\circ\text{C}$

Song และคณะ<sup>[26]</sup> ได้ทำการสังเคราะห์อนุภาคนาโนหังสแตนออกไซด์ ด้วยวิธีการไฮโตรเทอร์มอล โดยใช้สารตั้งต้นโซเดียมหังสแตน ( $\text{Na}_2\text{WO}_4$ ) และโพแทสเซียมซัลไฟต์ ( $\text{K}_2\text{SO}_4$ ) เพาที่อุณหภูมิ  $180^\circ\text{C}$  เป็นเวลา 12 h และนำมารองโดยล้างด้วยเอทานอลลับกับน้ำปราศจากไอออน และนำไปอบที่อุณหภูมิ  $80^\circ\text{C}$  ศึกษาลักษณะสัมฐานวิทยาของอนุภาคนาโนหังสแตนออกไซด์ ( $\text{WO}_3$ ) ด้วยกล้องจุลทรรศน์อิเล็กตรอนแบบส่อง粒化 (SEM) พบร่วมกับรูปร่างเป็นแบบนาโนไวลด์ที่มีเส้นผ่าศูนย์กลางประมาณ  $10 \text{ nm}$  และมีความยาวระดับไมโครเมตร ศึกษาโครงสร้างผลึกด้วยเทคโนโลยีวิเคราะห์รูปแบบของรังสีเอกซ์ (XRD) พบร่วมกับโครงสร้างผลึกเป็นแบบเซกซ์-โภนอล ซึ่งตรงกับ JCPDS หมายเลข 35-1001

Huirache และคณะ<sup>[27]</sup> ได้ทำการสังเคราะห์อนุภาคนาโนทั้งสเตนออกไซด์ ด้วยวิธีการไฮโดรเทอร์มอล โดยใช้สารตั้งต้นเป็นแอมโมเนียมเมตตะหั้งสเตรน  $[(\text{NH}_4)_{10}\text{W}_{12}\text{O}_{41}\text{xH}_2\text{O}]$  ทำการอบที่อุณหภูมิ  $200^\circ\text{C}$  เป็นเวลา  $48\text{ h}$  จากนั้นนำไปศึกษาโครงสร้างผลึกด้วยเทคนิคการเลือยabenของรังสีเอ็กซ์ (XRD) พบว่ามีโครงสร้างผลึกเป็นแบบเซกชันโกลลอล ซึ่งตรงกับ JCPDS หมายเลข 33-1387 แล็ตพิชพารามิเตอร์  $a = 7.298\text{ \AA}$        $c = 3.899\text{ \AA}$  ศึกษาลักษณะสันฐานวิทยาของอนุภาคนาโนทั้งสเตนออกไซด์ ( $\text{WO}_3$ ) ด้วยกล้องจุลทรรศน์อิเล็กตรอนแบบส่องกราด (SEM) มีความข้าวประมาณ  $0.1 - 3\text{ }\mu\text{m}$  และกว้าง  $50 - 200\text{ nm}$

Xianghong และคณะ<sup>[28]</sup> ได้ทำการสังเคราะห์ทั้งสเตนออกไซด์นาโนรอด และทั้งสเตนออกไซด์นาโนรอดที่เจือด้วยอนุภาคนาโนแพททินัม โดยวิธี one-pot เพื่อนำไปประยุกต์ใช้เป็นตัวตรวจจับไอของเอทานอล และเมทานอล ที่ความเข้มข้น  $1, 5, 20, 100$  และ  $200\text{ ppm}$  ที่อุณหภูมิ  $220^\circ\text{C}$  พบว่าตัวตรวจจับแก๊สที่สร้างด้วยทั้งสเตนออกไซด์นาโนรอดที่เจือด้วยอนุภาคนาโนแพททินัม ให้ค่าการตอบสนองต่อไอของเอทานอล และเมทานอล ได้สูงกว่าทั้งสเตนออกไซด์นาโนรอด นอกจากนั้นยังสามารถตอบสนอง และคืนสู่สภาพภาวะเดิมได้อย่างรวดเร็ว

Muhammad และคณะ<sup>[29]</sup> ได้เตรียมฟิล์มบางทั้งสเตนออกไซด์ สำหรับเป็นเชิงเรื้อร์ตรวจจับแสง โดยการเตรียมฟิล์มจากซิลิกา นำไปสปัตเตอร์ (sputtering) และผสม  $\text{Ar}-\text{O}_2$  ในอัตราส่วน 1 ต่อ 1 ภายใต้ความดันสูญญากาศ  $5 \times 10^{-3}\text{ mbar}$  ผลจากการสังเคราะห์ทำให้ได้ฟิล์มทั้งสเตนออกไซด์ที่มีขนาด  $550\text{ nm}$  โดยวิธีการสปัตเตอร์ (sputtering) โดยผ่านการอบที่อุณหภูมิต่างๆ และนำมาวิเคราะห์การเลือยabenของรังสีเอ็กซ์ (XRD) ซึ่งมีลักษณะของพิคสูงที่สุดและมีโครงสร้างเป็นโนโนคลินิก และทดลองตรวจจับแสง และแก๊สแอมโมเนีย ( $\text{NH}_3$ ) ซึ่งมีผลการตอบสนองที่ดี ที่อุณหภูมิ  $773\text{ K}$

Yu และคณะ<sup>[30]</sup> ได้ทำการศึกษาเชิงเรื้อร์ตรวจจับแก๊สไฮโดรเจน และแก๊สมีเทน ด้วยทั้งสเตนออกไซด์ที่เจือด้วยไนโตรบีน ที่สังเคราะห์ด้วยวิธีไฮโดรเทอร์มอล โดยการนำแผ่นฟลอยด์ในไนโตรบีนที่มีความบริสุทธิ์  $99.9\%$  และแผ่นฟลอยด์ทั้งสเตนที่มีความบริสุทธิ์  $99.9\%$  ขนาด  $25$  และ  $50\text{ }\mu\text{m}$  ตามลำดับ นำมาตัดให้ได้ขนาด  $10 \times 8\text{ mm}$  ใส่ในสารละลายแอมโมเนียมฟลูออไรด์ ( $\text{NH}_4\text{F}$ ) ที่มีความเข้มข้น  $0.2\text{ M}$  เทลงในเทฟล่อน นำไปเผาที่อุณหภูมิ  $150^\circ\text{C}$  เป็นเวลา  $48\text{ h}$  จากนั้นนำมากรองล้างด้วยน้ำปราศจากไออกอน และอบที่อุณหภูมิ  $400^\circ\text{C}$  เป็นเวลา  $30\text{ min}$  และนำมาวิเคราะห์ด้วยเทคนิคกล้องจุลทรรศน์อิเล็กตรอนแบบส่องกราด (SEM), กล้องจุลทรรศน์อิเล็กตรอนแบบส่องผ่าน (TEM) ผลจากการตรวจสอบพบว่า ทั้งสเตนออกไซด์ที่เจือด้วยไนโตรบีน มีลักษณะเป็นรูปแท่ง มีความข้าวประมาณ  $1.5\text{ }\mu\text{m}$  เส้นผ่าศูนย์กลาง  $90\text{ nm}$  และมีความไวสูงในการตรวจจับแก๊ส

ไฮโดรเจน ( $H_2$ ) และมีเทน ( $CH_4$ ) และยังเหมาะสมกับการตรวจวัดแก๊สไฮโดรเจน ( $H_2$ ) ที่อุณหภูมิห้อง และอุณหภูมิสูง ได้ดีกว่าแก๊สมีเทน ( $CH_4$ )



## อุปกรณ์และวิธีการ

### ประกอบด้วยส่วนต่างๆ ดังนี้

1. สังเคราะห์อนุภาชนะเดี่ยมเพนทอกไซด์ และอนุภาชนะเดี่ยมเพนทอกไซด์ที่เจือด้วยในโอลีฟิล์ม โดยวิธีเฟลมสเปรย์ไฟโรลิซิส
2. สังเคราะห์อนุภาชนะในทั้งสแตนออกไซด์ และอนุภาชนะในทั้งสแตนออกไซด์ที่เจือด้วยในโอลีฟิล์ม โดยวิธีไฮโดรเทอร์มอเดล
3. ศึกษาลักษณะเฉพาะของอนุภาคทั้งสแตนออกไซด์ ที่สังเคราะห์ได้
4. เตรียมตัวประสาน (Binder)
5. เตรียมฟิล์มเซ็นเซอร์จากอนุภาคทั้งสแตนออกไซด์ และอนุภาคทั้งสแตนออกไซด์ที่เจือด้วยในโอลีฟิล์มที่ความเข้มข้นต่างๆ สำหรับใช้เป็นตัวตรวจจับแก๊ส
6. ทดสอบความสามารถในการตอบสนองต่อแก๊สของฟิล์มเซ็นเซอร์ที่เตรียมได้
7. ศึกษาลักษณะเฉพาะของฟิล์มเซ็นเซอร์ที่เตรียมได้
8. วิเคราะห์หาปริมาณสารซัลเฟอร์ไดออกไซด์ ที่ตกค้างในเนื้อดำไยอบแห้ง
  
1. สังเคราะห์อนุภาชนะในทั้งสแตนออกไซด์ และอนุภาชนะในทั้งสแตนออกไซด์ที่เจือด้วยในโอลีฟิล์ม ด้วยกระบวนการเฟลมสเปรย์ไฟโรลิซิสมีขั้นตอนดังต่อไปนี้
  - 1.1 วัสดุอุปกรณ์ และสารเคมี
    - 1.1.1 วัสดุอุปกรณ์
      - เครื่องเฟลมสเปรย์ไฟโรลิซิสเรกเก็ตเตอร์ (Flame Spray Pyrolysis Reactor)
      - หลอดฉีดยา (Syringe pump; (Iontech))
      - กระดาษกรอง (Glass microfiber filter; (Whatmann GF/A, 25.7 cm in diameter))
      - บีบีมสูญญากาศ (Vacuum; (Buach, Seco SV 1040C))
      - เครื่องชั่งสารทศนิยม 4 ตำแหน่ง (Analytical balance))
      - กระดาษสำหรับชั่งสาร (Weighting paper)
      - ขวดผสมสาร
      - ตะแกรงรองรับกระดาษกรอง
      - บีกเกอร์
      - ช้อนตักสาร
      - โกร่งบด (Motar)

- ตะแกรงร่อน
- ขวดเก็บสาร

#### 1.1.2 สารเคมี

- โซเดียมทังสเทน ( $\text{Na}_4\text{WO}_4 \cdot \text{H}_2\text{O}$ )
- เอทานอล (Ethanal; (Labscan, Absolute for analysis))
- ไนโอลิฟติกาโนบิัม(V)เอทอกไซด์ (Niobium (V) ethoxide; (Aldeich, 99.95%))
- แก๊สเมทาน (Methane gas; (Pangas))
- แก๊สออกซิเจน (Oxygen gas; (Pangas))

### 1.2 เตรียมสารละลายตั้งต้นทังสเทนออกไซด์ที่เจือด้วยไนโอลิฟติกาโนบิัม(V)

เตรียมสารละลายทังสเทนออกไซด์ที่เจือด้วยไนโอลิฟติกาโนบิัม(V)ที่มีความเข้มข้น 0.5 mol/L ในปริมาตร 100 ml ซึ่งประกอบด้วยโซเดียมทังสเทนละลายในโทลูอิน และไนโอลิฟติกาโนบิัม(V)ออกไซด์ละลายในเมทานอล ที่ความเข้มข้น 0.25, 0.50 และ 1.00 wt% จะได้สารละลายตั้งต้น นำสารละลายทั้งสองผสมกันในอัตราส่วน 70:30 vol.% จะได้สารละลายผสมตั้งต้นของทังสเทนออกไซด์ที่เจือด้วยไนโอลิฟติกาโนบิัม(V)ที่ความเข้มข้น 0.25, 0.50 และ 1.00 wt% ตามลำดับ

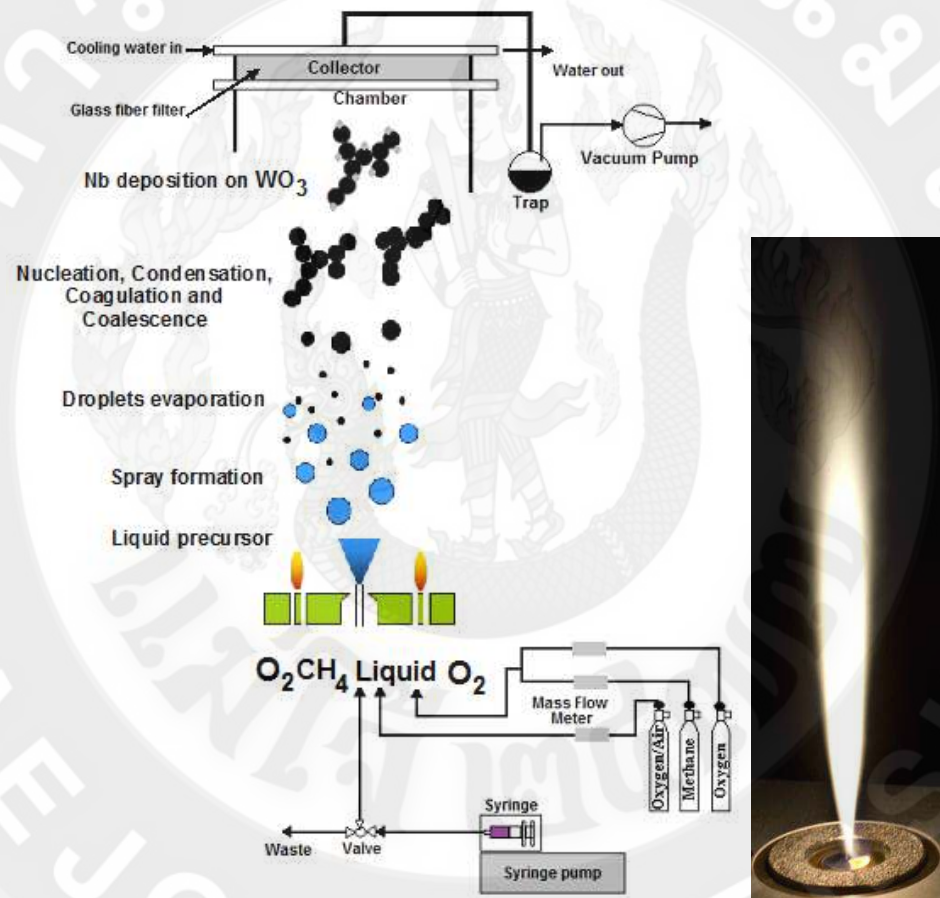
### 1.3 สังเคราะห์อนุภาคนาโนทังสเทนออกไซด์

จากสารละลายตั้งต้นที่เตรียมได้นำมาบรรจุใส่ไชรินจ์ปริมาตร 50 mL แล้วนำไชรินจ์วางบนแท่นปั๊มไชรินจ์ ติดกระดาษกรองบนตะแกรงที่ติดกับปั๊มสูญญาแก๊ส เปิดระบบน้ำหล่อเย็น เปิดวาล์วของถังแก๊สออกซิเจน และแก๊สเมทาน ทำการจุดไฟ จากนั้นเริ่มนิดสารละลาย ซึ่งสารละลายจะถูกพ่นออกม้าด้วยแก๊สเดซิสเพอร์ชัน (Dispersion gas) (แก๊สออกซิเจน) ทางช่องขนาดเล็ก (Annular gas) กลายเป็นหยดเล็กๆ ซึ่งใช้อัตราการจ่ายแก๊สต่างๆ ของเครื่องสเปรย์ไฟฟ์โรลิซิส ดังนี้

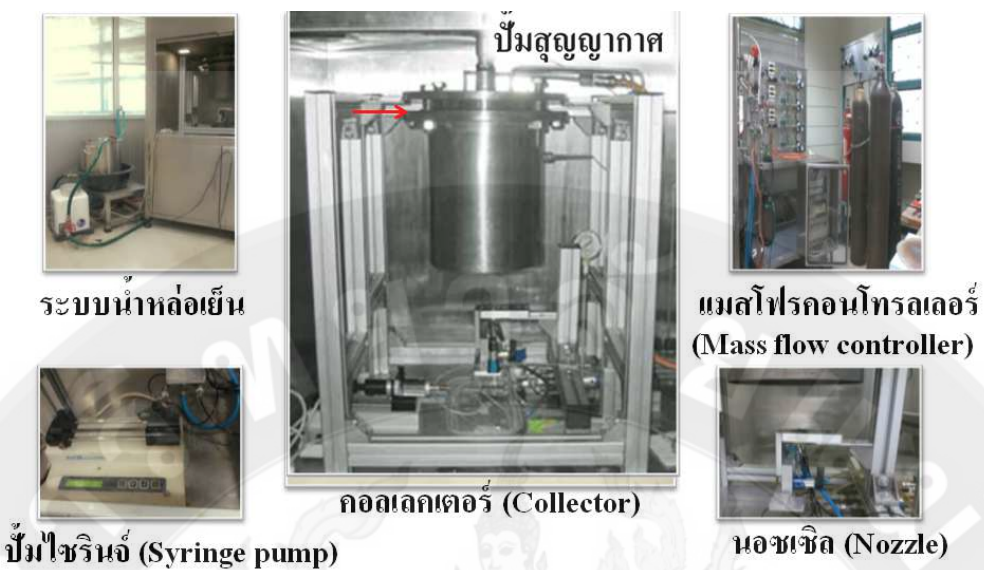
- |  |         |      |       |
|--|---------|------|-------|
| - แก๊สออกซิเจนที่เป็นตัวออกซิเดนท์     | เท่ากับ | 2.46 | L/min |
| - แก๊สเมทานเพื่อทำการจุดเพลาไฟฟ์พอร์ท  | เท่ากับ | 1.19 | L/min |
| - แก๊สออกซิเจนที่เป็นแก๊สเดซิสเพอร์ชัน | เท่ากับ | 4.30 | L/min |
| - แก๊สออกซิเจนในวงนอก                  | เท่ากับ | 3.92 | L/min |

ในการสังเคราะห์อนุภาคนาโนทังสเทนออกไซด์ อัตราการไหลดลงสารละลายคือ 5 mL/min ในขณะทำการสังเคราะห์อนุภาคนาโนทังสเทนออกไซด์ที่เจือด้วยไนโอลิฟติกาโนบิัม(V) เปลาไฟฟ์มีความสูงประมาณ 11 cm โดยกลไกการสังเคราะห์อนุภาคแสดงดังภาพที่ 4 เมื่อหยดละของสารละลายตั้งต้นถูกเผาไหม้จะสลายตัวกลายเป็นมอนอมอร์ซิ่งมอนอมอร์นีจฉนและจับตัวกัน

(Coagulate) เป็นอนุภาคทรงกลม จากนั้non อนุภาคทรงกลมนี้จะผ่านกระบวนการซินเตอร์ทำให้ อนุภาคเชื่อมติดกัน (Coalescence) เมื่อเวลาผ่านไปการรวมตัวของอนุภาคจะเพิ่มขึ้นและยังเห็นได้ว่า ด้วยแรงแบบฟิสิกส์ (Agglomerate) และสุดท้ายจะได้กลุ่มอนุภาคที่ยังเห็นได้กันด้วยพันธะเคมี (Aggregates) ซึ่งมีพื้นที่ผิวเฉพาะ (Specific surface area (SSA)) สูง ในขั้นตอนต่อจากนี้จะมีการก่อตัว (Nucleation) ของไนโตรบีม ที่ผิวของอนุภาคนานาทั้งส坚韧ออกใช้คัดหลังจากนั้นถูกดักเก็บบนกระดาษกรองโดยอาศัยปืนสูญญากาศ



ภาพที่ 4 ภาพจำลองการสังเคราะห์อนุภาคนานาทั้งส坚韧ออกใช้คัด และถักยนต์เบลว่าไฟที่เกิดขึ้น ขณะการตั้งเคราะห์



ภาพที่ 5 ส่วนประกอบของระบบเครื่องเพลนสเปรย์ไฟโรลิซิส

2. สังเคราะห์อนุภาคนาโนทั้งสเตนออกไซด์ และอนุภาคนาโนทั้งสเตนออกไซด์ที่เจือด้วยไนโตรบียม โดยวิธีไอโอดรเทอร์มอล

### 2.1 วัสดุอุปกรณ์ และสารเคมี

#### 2.1.1 วัสดุอุปกรณ์

- ปีเปต (25 ml)
- บีกเกอร์ (100 ml)
- บีกเกอร์ (200 ml)
- ขวดปรับปริมาตร (150 ml)
- หลอดหยดสาร
- ช้อนตักสาร
- แม่กเนติกบาร์ (Magnetic bar )
- กระดาษกรอง
- เตาเผา (Three-zone tube furnace, (Lenton, PTF 15))

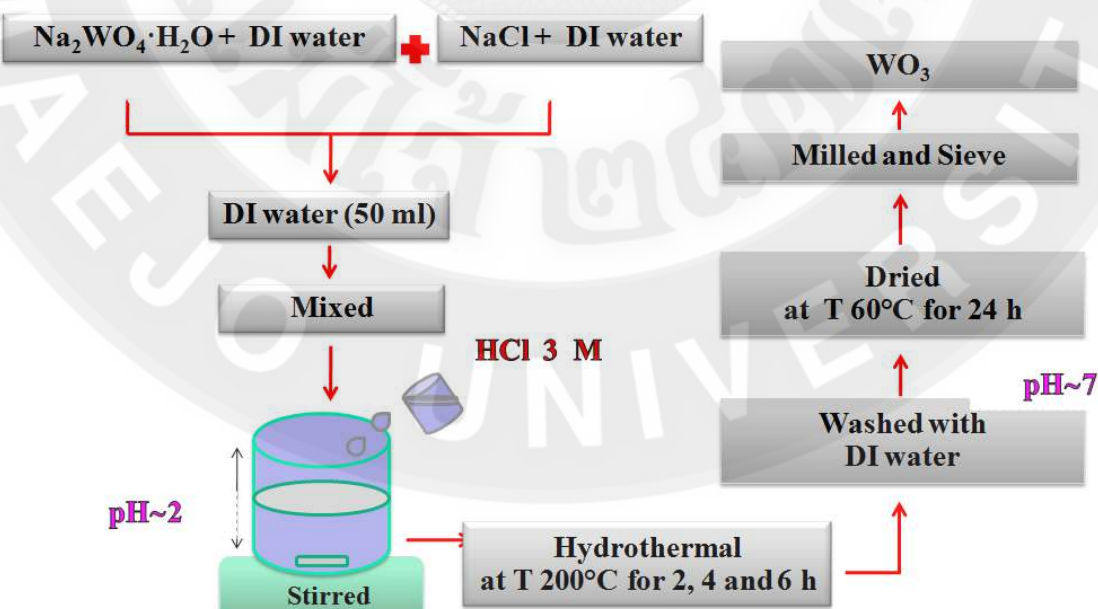
#### 2.1.2 สารเคมี

- น้ำปราศจากไฮอน
- เอทานอล
- กรดไฮโดรคลอริก (HCl)
- โซเดียมทั้งสเตน ( $\text{Na}_4\text{WO}_4 \cdot \text{H}_2\text{O}$ )

- โซเดียมคลอไรด์ ( $\text{NaCl}$ )

## 2.2 เตรียมอนุภาคทั้งสเตนออกไซด์

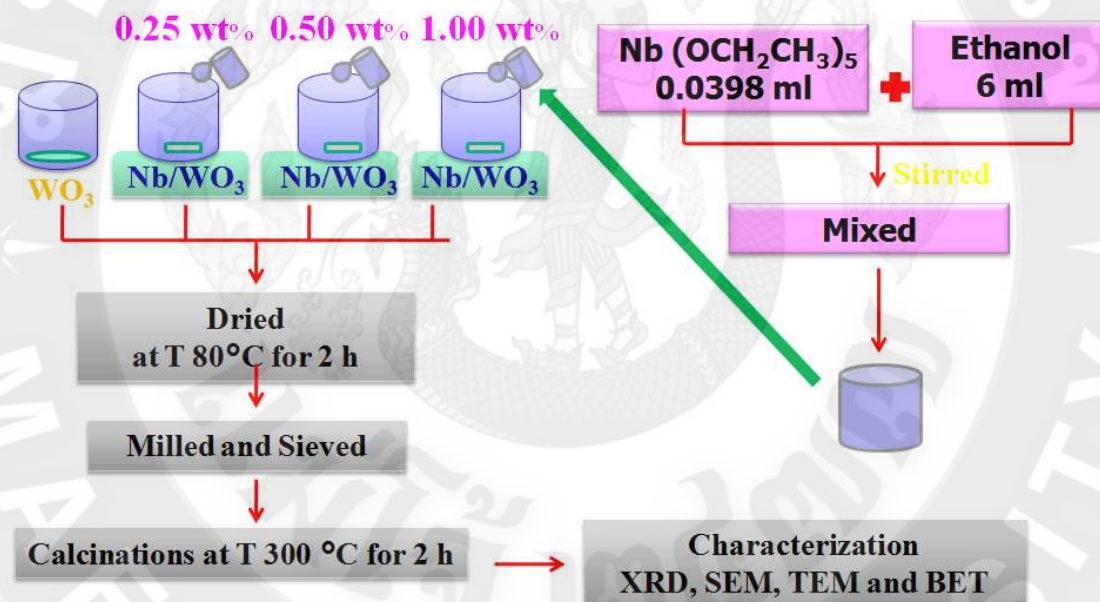
1. ชั่งผงโซเดียมทั้งสเตน ( $\text{Na}_2\text{WO}_4 \cdot \text{H}_2\text{O}$ ) 2.215 g ใส่ในบีกเกอร์ขนาด 100 mL เติมน้ำปราศจากไอออน 50 mL ทำการหมุนเหวี่ยง เป็นเวลา 30 min.
2. ชั่งผงโซเดียมคลอไรด์ ( $\text{NaCl}$ ) 0.7747 g ใส่ในบีกเกอร์ขนาด 100 mL เติมน้ำปราศจากไอออน 50 mL ทำการหมุนเหวี่ยง เป็นเวลา 30 min
3. นำสารละลายทั้ง 2 เทใส่ลงในขวดปรับปริมาตรขนาด 150 mL จะได้ประมาณ 100 mL ให้ปรับให้ได้ปริมาตร 150 mL โดยการเติมน้ำปราศจากไอออน จนน้ำเขย่าไปมาหลายครั้ง จนสารละลายเข้ากัน
4. นำสารละลายเหลงในบีกเกอร์ขนาด 200 mL ทำการหมุนเหวี่ยง พร้อมทั้งปรับค่า pH ให้ได้ค่า pH = 2 โดยใช้ไฮโดรคลอริก ( $\text{HCl}$ ) ความเข้มข้น 3 M
5. นำสารละลายที่ได้ใส่ในเทฟล่อน และนำไปเผาที่อุณหภูมิ 200°C เป็นเวลา 2, 4 และ 6 h ตามลำดับ
6. นำสารละลายนำกรองโดยใช้น้ำปราศจากไอออน ล้างตะกอน หลายๆ ครั้ง
7. นำสารที่ได้จากการกรองไปอบที่อุณหภูมิ 60°C เป็นเวลา 24 h
8. นำสารมาบดให้ละเอียด เก็บให้เรียบร้อย



ภาพที่ 6 ภาพจำลองการสังเคราะห์อนุภาคนาโนทั้งสเตนออกไซด์โดยวิธีไฮโดรเทอร์มอล

### 2.3 เตรียมอนุภาคทั้งสแตนออกไซด์ที่เจือตัวยในไโอบียมด้วยวิธีอเมแพคนชัน

- ใช้ชิลิงค์ดูดไนโอบียมไฟว์เอทธอไซด์ [Niobium (V) ethoxide] 0.0398 mL ผสมกับเอทานอล (Ethanal) 6 mL ทำการหมุนเหวี่ยงจนสารละลายเข้ากันโดยทั่ว
- นำผงทั้งสแตนออกไซด์ ( $\text{WO}_3$ ) 1 g ใส่ในกลูซิเบิล หยดไนโอบียมไฟว์เอทธอไซด์ [Niobium (V) ethoxide] ที่เตรียมไว้ 0.50 mL คิดเป็น 0.25 wt% ทำการหมุนเหวี่ยง แล้วทิ้งไว้ 20 min
- ทำซ้ำเหมือนขั้นตอนที่ 2 แต่เปลี่ยนจาก 0.50 เป็น 1.00 และ 2.00 mL คิดเป็น 0.50 และ 1.00 wt% ตามลำดับ
- นำสารที่ได้ทั้งหมดไปอบที่อุณหภูมิ 80°C เป็นเวลา 2 h จากนั้นนำมารด และร่อน
- เผาเคลือบในที่อุณหภูมิ 300°C เป็นเวลา 2 h



ภาพที่ 7 ภาพจำลองการเจืออนุภาคทั้งสแตนออกไซด์ด้วยไนโอบียมด้วยวิธีอเมแพคนชัน

### 3. ศึกษาลักษณะเฉพาะของอนุภาคนาโนเดี่ยมแพนทอกไซด์ที่สังเคราะห์ได้

#### 3.1 วัสดุอุปกรณ์ และสารเคมี

##### 3.1.1 วัสดุอุปกรณ์

- เครื่องวิเคราะห์ด้วยเทคนิคการเลี้ยวเบนด้วยรังสีเอกซ์ (X-ray diffraction; XRD)
- เครื่องวิเคราะห์พื้นที่ผิว (Brenauer-emmett-teller; BET analysis)
- กล้องจุลทรรศน์อิเล็กตรอนแบบส่องกราด (Scanning electron microscopy; SEM)

- กล้องจุลทรรศน์อิเล็กตรอนแบบล่องผ่าน (Transmission electron microscopy; TEM)
- เตาอบ
- กรอบดสาร
- ช้อนตักสาร
- กระจกสไลด์
- แท่งทองแดง (Stub)
- เทปการทองคำ

### 3.1.2 สารเคมี

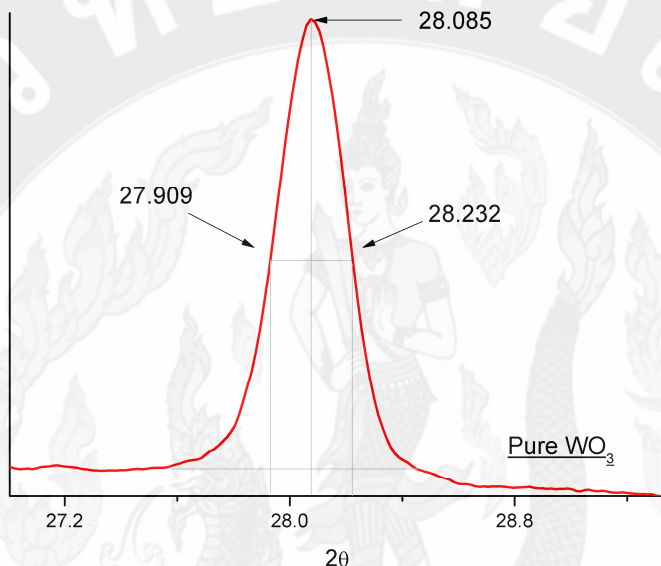
- เอทานอล (ethanol)

## 3.2 ศึกษาลักษณะโครงสร้างผลึกของอนุภาคทั้งสเตนออกไซด์ ด้วยเทคนิคการเลี้ยวเบนของรังสีเอ็กซ์ (X-ray diffraction; XRD)

เทคนิคนี้ใช้สำหรับศึกษาลักษณะ โครงสร้างผลึกของอนุภาคทั้งสเตนออกไซด์ ที่เตรียมได้ โดยอาศัยหลักการการเลี้ยวเบนของรังสีเอ็กซ์ ในส่วนของการเตรียมชิ้นงานเริ่มจากนำอนุภาคทั้งสเตนออกไซด์ ไปอัดแน่นบนกระจกสไลด์ให้ได้ระนาบพื้นผิวเรียบเสมอกัน แล้วนำเข้าเครื่องเอ็กซ์เรย์ดิฟเฟร็กโตมิเตอร์ เพื่อทำการวิเคราะห์ผล โดยเครื่องจะแสดงผลเป็นค่าความเข้มของรังสีเอ็กซ์กับมุม  $2\theta$  เมื่อได้ข้อมูลแล้วสามารถนำข้อมูลที่ได้ไปวิเคราะห์หาลักษณะ โครงสร้างผลึก ซึ่งลักษณะของรังสีเอ็กซ์ที่ได้จากหลอดผลิตรังสีเอ็กซ์ ผ่านเข้าไปในผลึกของอนุภาค รังสีเอ็กซ์จะชนเข้ากับอะตอมที่เป็นองค์ประกอบของผลึก และทำให้รังสีเอ็กซ์นั้นเกิดการเลี้ยวเบน โดยมีความเข้มต่างกันและมีมุมที่ต่างกันขึ้นอยู่กับการจัดเรียงตัวของอะตอมภายในผลึก ซึ่งสามารถนำข้อมูลเหล่านี้ไปใช้ในการวิเคราะห์ โครงสร้างผลึก ได้ ดังนั้นรูปแบบการเลี้ยวเบนของรังสีเอ็กซ์สามารถบอกรายละเอียดของอนุภาคทั้งสเตนออกไซด์ มีลักษณะ โครงสร้างผลึกเป็นแบบใด โดยเทียบกับฐานข้อมูลมาตรฐาน Joint committee powder diffraction standards (JCPDS) และคำนวณขนาดของอนุภาคจากสมการของเชอร์เรอร์ (Sherrer's equation) ซึ่งอาศัยข้อมูลที่ได้จากการเลี้ยวเบนของรังสีเอ็กซ์ ทั้งมุม การเลี้ยวเบน ( $\theta$ ) และความกว้างของยอดกราฟการเลี้ยวเบนในการคำนวณซึ่งมีความสัมพันธ์ ดังสมการที่ 1

$$D = \frac{K\lambda}{\beta \cos\theta} \quad \dots\dots\dots(1)$$

- เมื่อ D คือ ขนาดของอนุภาค  
 K คือ ค่าคงที่ขึ้นกับขนาดและอนุภาคของผลึก มีค่าเท่ากับ 0.89  
 λ คือ ความยาวคลื่นของรังสีเอ็กซ์ที่ใช้มีค่าเท่ากับ 0.1541 nm  
 β คือ ความกว้างที่ครึ่งหนึ่งของความสูงพิกที่สูงสุด ในหน่วยเรเดียน (Radian)  
 θ คือ มุมการเลี้ยวเบน



ภาพที่ 8 รูปแบบการเลี้ยวเบนของรังสีเอ็กซ์ ของอนุภาคทั้งสตenenออกไซด์ ที่พิกสูงสุด ระหว่าง (001) ตำแหน่งมุมแบกค์  $2\theta = 20.26$

คำนวณหาขนาดของอนุภาคทั้งสตenenออกไซด์ จากสมการที่ 1

$\beta$  หาได้จาก

$$\beta = 2\theta_{\text{high}} - 2\theta_{\text{low}}$$

$$\beta = 28.232 - 27.909$$

$$\beta = 0.323 \text{ องศา}$$

เปลี่ยนองศาให้เป็นเรเดียน (Radian)

$$\frac{0.323\pi}{180} = 5.655 \times 10^{-3} \text{ เรเดียน}$$

และ

$$2\theta = 28.085 \text{ องศา}$$

$$\theta = \frac{28.085}{2} = 14.0425 \text{ องศา}$$

แทนค่าในสมการที่ 1 จะได้

$$D = \frac{0.89 \times 0.1541 \text{ nm}}{(65.655 \times 10^{-3}) \cos(14.0425)} = 24.97 \text{ nm}$$

### 3.3 ศึกษาพื้นที่ผิวจำเพาะของอนุภาคโดยหลักการคูดซับแก๊สในไตรเจน (Brunauer-Emmett-Teller; BET)

เทคนิคนี้ใช้เซลล์สำหรับใส่ตัวอย่าง (Sample cell) จำนวน 2 เซลล์ เซลล์หนึ่งบรรจุอนุภาคหั้งสแตนออกไซด์ ส่วนอีกเซลล์ใช้เป็นเซลล์อ้างอิง ก่อนการทดสอบต้องให้ความร้อนแก่เซลล์ที่บรรจุอนุภาคหั้งสแตนออกไซด์ เพื่อไล่ความชื้นที่เกาะอยู่บนผิวอนุภาคออก จากนั้นผ่านแก๊สในไตรเจนเข้าไปในเซลล์ ข้อมูลที่เครื่องบันทึกผลคือค่าความดันสัมพัทธ์ และปริมาณของแก๊สในไตรเจนที่ถูกคูดซับโดยอนุภาคหั้งสแตนออกไซด์ จากข้อมูลที่ได้เครื่องจะประมาณผลโดยใช้โปรแกรมตามสมการของ BET แสดงผลออกมาเป็นค่าพื้นที่ผิวจำเพาะ ( $SSA_{BET}$ ) จากนั้นคำนวณหาขนาดของอนุภาคจากสมการ

$$d_{BET} = \frac{6}{(\rho_{WO_3} \times SSA_{BET} \times mol\%WO_3) + (\rho_{Nb} \times SSA_{BET} \times mol\%Nb)}$$

(2)

เมื่อ	$d_{BET}$	คือ	ขนาดอนุภาค ( $d_{BET}$ ; nm)
	$\rho_{WO_3}$	คือ	ความหนาแน่นของหั้งสแตนออกไซด์ ( $7.16 \text{ g/cm}^3$ )
	$\rho_{Nb}$	คือ	ความหนาแน่นของแพลทินัม ( $8.57 \text{ g/cm}^3$ )
	$SSA_{BET}$	คือ	ค่าพื้นที่ผิวจำเพาะ (Specific surface area; $\text{m}^2/\text{g}$ )
	$mol\%WO_3$	คือ	เปอร์เซ็นโดยน้ำหนักของหั้งสแตนออกไซด์
	$mol\%Nb$	คือ	เปอร์เซ็นโดยน้ำหนักของแพลทินัม

ตัวอย่างการคำนวณหาขนาดของอนุภาคหั้งสแตนออกไซด์

$$SSA_{BET} = 56.22 \text{ m}^2/\text{g}$$

$$\text{mol\%WO}_3 = 100$$

mol%Nb = 0

## แทนค่าในสมการ

$$d_{\text{BET}} = \frac{6}{(\rho_{\text{WO}_3} \times SSA_{\text{BET}} \times \text{mol\%WO}_3) + (\rho_{\text{Nb}} \times SSA_{\text{BET}} \times \text{mol\%Nb})}$$

$$d_{\text{BET}} = \frac{6}{[(7.16 \text{ g/cm}^3) \times (7.77 \text{ m}^2/\text{g}) \times \frac{100}{100}]} + 0$$

$$d_{\text{BET}} = \left( \frac{6}{(55.6332) + 0} \right) \times 10^{-6} \text{ m}$$

$$d = 0.1078 \times 10^{-6} \text{ m}$$

$$d_{\text{---}} = 107.8 \text{ nm}$$

3.4 วิเคราะห์อนุภาคด้วยกล้องจุลทรรศน์อิเล็กตรอนแบบส่องกราด (Scanning electron microscopy; SEM) และเทคนิคการกระจายพลังงานของรังสีเอ็กซ์ (Energy dispersive X-ray spectroscopy; EDS)

การวิเคราะห์ลักษณะทางสัมฐานวิทยาของอนุภาคทั้งสตetenออกไซด์ และอนุภาคทั้งสตetenออกไซด์ที่เจือด้วยไนโตรบียม เริ่มจากนำอนุภาคทั้งสตetenออกไซด์ และอนุภาคอนุภาคทั้งสตetenออกไซด์ที่เจือด้วยไนโตรบียม ที่ความเข้มข้นต่างๆ กระจายในอุตสาหกรรมให้ความถี่สูงเพื่อช่วยกระจายอนุภาคด้วยเครื่องอัลตราโซนิกเป็นเวลา 20 min. จากนั้นนำสารที่เตรียมได้หยดลงบนแท่งทองแดงที่มีการติดเทปกาวทองแดงไว้แล้ว ทึ้งไว้ให้แห้งแล้วนำไปเคลือบผิวด้วยทองเพื่อเพิ่มประสิทธิภาพในการนำไฟฟ้า ก่อนนำตัวอย่างไปวิเคราะห์ด้วยกล้องจุลทรรศน์อิเล็กตรอนแบบส่องกล้อง

สำหรับการวิเคราะห์องค์ประกอบทางเคมีด้วยเทคนิคการกระจายพลังงานของรังสีเอกซ์สามารถทำการวิเคราะห์ได้พร้อมกับการวิเคราะห์ลักษณะทางสัณฐานวิทยาของอนุภาคด้วยกล้องจลทรรศน์อิเล็กตรอนแบบล่องกราด ทำให้การเตรียมตัวอย่างสำหรับการวิเคราะห์ลักษณะทาง

สัมฐานวิทยาของอนุภาคด้วยกล้องจุลทรรศน์อิเล็กตรอนแบบส่องผ่าน ถือเป็นการเตรียมตัวอย่างเพื่อวิเคราะห์องค์ประกอบทางเคมีด้วยเทคนิคการกระจายพลังงานของรังสีเอ็กซ์ไปพร้อมกัน

### 3.5 วิเคราะห์อนุภาคด้วยกล้องจุลทรรศน์อิเล็กตรอนแบบส่องผ่าน (Transmission electron microscopy; TEM)

การเตรียมตัวอย่างสำหรับการวิเคราะห์ลักษณะโครงสร้างระดับจุลภาคของอนุภาคทั้งสetenออกไซด์ และอนุภาคทั้งสetenออกไซด์ที่เจือด้วยไนโอลีบียมด้วยกล้องจุลทรรศน์อิเล็กตรอนแบบส่องผ่าน เริ่มจากนำอนุภาคทั้งสetenออกไซด์ และอนุภาคทั้งสetenออกไซด์ที่เจือด้วยไนโอลีบียม ที่ความเข้มข้นต่างๆ กระจายในอุตสาหกรรมโดยให้ความถี่สูงเพื่อช่วยกระจายอนุภาคด้วยเครื่องอัลตร้าโซนิกเป็นเวลา 20 min. จากนั้นนำสารที่เตรียมได้หยดลงบนกริดทองแดง (Copper grid) ทึ่งไว้ให้แห้ง ก่อนนำตัวอย่างไปวิเคราะห์ด้วยกล้องจุลทรรศน์อิเล็กตรอนแบบส่องผ่าน

## 4. เตรียมตัวประสาน (Binder)

### 4.1 วัสดุอุปกรณ์ และสารเคมี

#### 4.1.1 วัสดุอุปกรณ์

- เครื่องผสมสาร (Heater-stirrer)
- เม็กเนติกบาร์ (Magnetic bar)
- บีกเกอร์ (250 ml)

#### 4.1.2 สารเคมี

- เอทธิลเซลลูโลส (Ethyl cellulose)
- แอลฟาเทอไพนิօດ ( $\alpha$ -terpineol)

### 4.2 วิธีการเตรียมตัวประสาน (Binder)

ชั่งเอทธิลเซลลูโลส 430 mg ผสม กับ แอลฟาเทอไพนิօດ 18 g โดยใช้เครื่องผสมสารให้ความร้อน (Hotplate stirrer) ระหว่างการผสมให้ความร้อนที่อุณหภูมิ 80°C เป็นเวลา 12 h จนกระแทกสารละลายเป็นเนื้อเดียวกัน ใส่ไม่มีสีและมีความหนืดเพิ่มขึ้น ปล่อยทึ่งไว้ให้เย็นตัวลงที่อุณหภูมิห้อง แล้วเก็บบรรจุใส่ในวดเก็บสาร

5. เตรียมฟิล์มเชือร์จากอนุภาคทั้งสแตนออกไซด์ บริสุทธิ์ และอนุภาคทั้งสแตนออกไซด์ ที่เจือด้วยแพลทินัมที่ความเข้มข้นต่างๆ สำหรับใช้เป็นตัวตรวจจับแก๊ส

### 5.1 วัสดุอุปกรณ์ และสารเคมี

#### 5.1.1 วัสดุอุปกรณ์

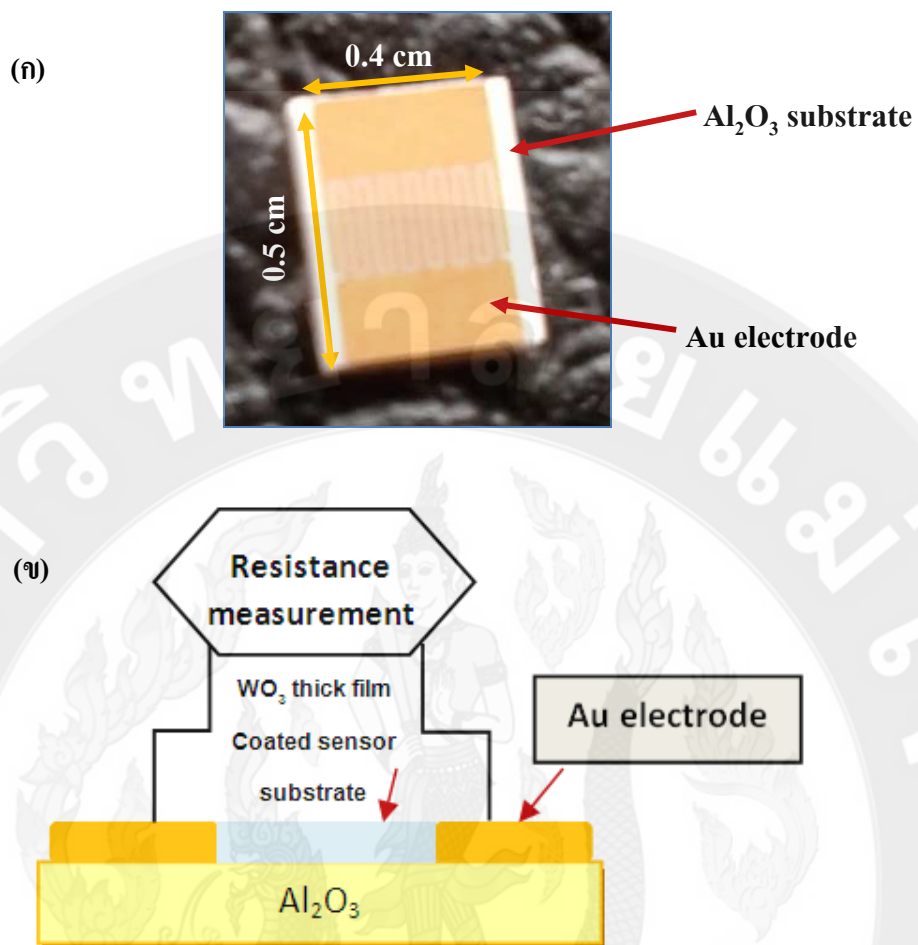
- เครื่องหมุนเวียน (Spin coater)
- ครกบดสาร
- ช้อนตักสาร
- เตาเผา (Three-zone tube furnace)
- อิเล็กโทรด (Electrode)

#### 5.1.2 สารเคมี

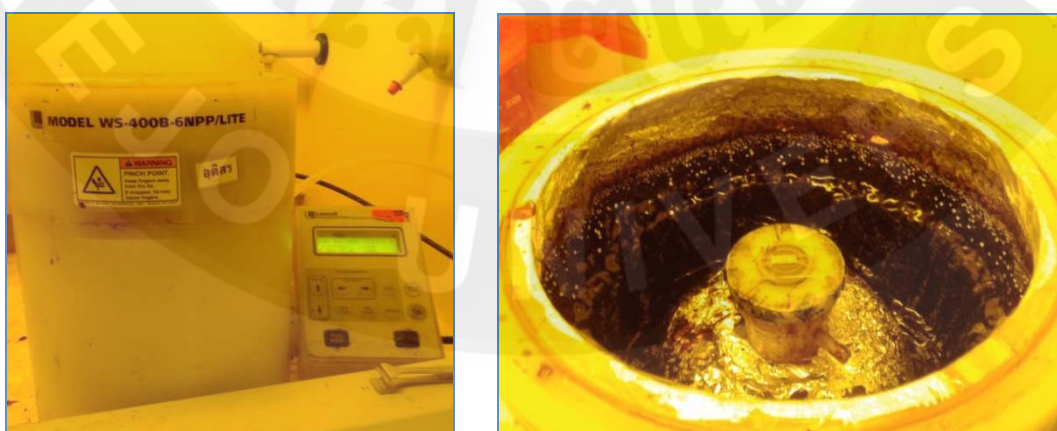
- อนุภาคผงนาโนทั้งสแตนออกไซด์
- อนุภาคผงนาโนทั้งสแตนออกไซด์ที่เจือด้วยไนโตรเมียม 0.25, 0.50 และ 1.00 wt%
- ตัวประสาร (Binder)

### 5.2 วิธีการเตรียมฟิล์มเชือร์

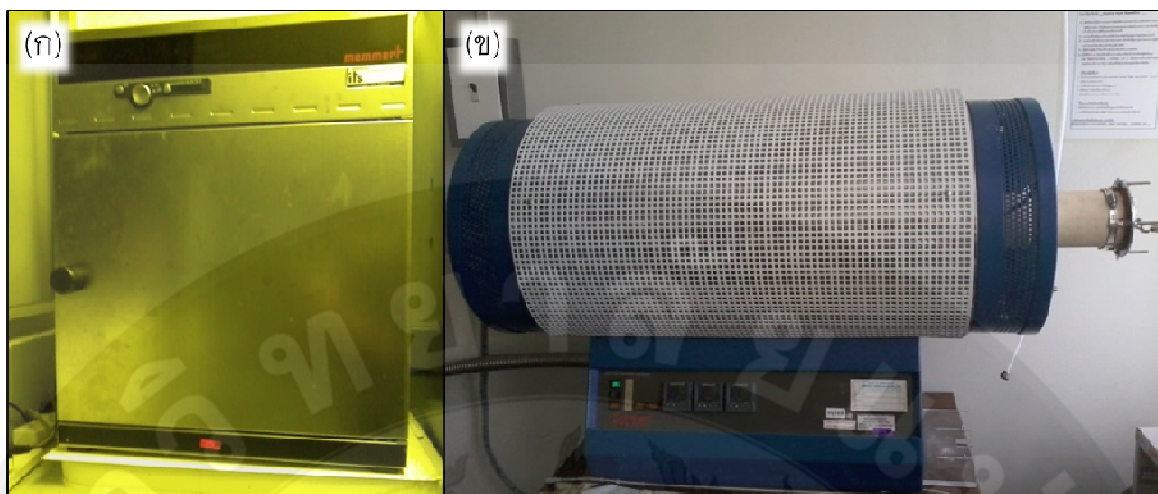
1. นำอิเล็กโทรด (ภาพที่ 9ก) ติดบนแผ่นกระ杰ส์ไลด์ด้วยเทปการสองหน้า ติดเทปการบริเวณข้อไฟฟ้าทั้งสอง
2. นำอนุภาคทั้งสแตนออกไซด์ที่เตรียมได้ ปริมาณ 70 mg ผสมกับตัวประสาน 0.3 mL ให้เข้ากันโดยใช้ครกบดสารช่วยในการผสมเพื่อให้สารละลายเป็นเนื้อเดียวกันมากขึ้น
3. นำสารละลายที่เตรียมได้หยดลงบนอิเล็กโทรด ซึ่งอิเล็กโทรดจะถูกยึดติดบนเครื่องเคลื่อนสารแบบหมุนเวียน (ภาพที่ 9) ด้วยปืนสูญญากาศ
4. เริ่มทำการหมุนเวียน โดยใช้อัตราเร็วในการหมุน 700 รอบต่อวินาที เป็นเวลา 10 s 3,000 รอบต่อวินาที เป็นเวลา 30 s และ 300 รอบต่อวินาที เป็นเวลา 15 s
5. จากนั้นทำให้แห้งโดยการนำไปอบ ที่อุณหภูมิ 80°C เป็นเวลา 10 min. (ภาพที่ 9ก)
6. เริ่มทำการหมุนเวียนเคลื่อนฟิล์มนอิเล็กโทรดครั้งที่ 2 โดยใช้อัตราเร็วในการหมุนเท่าเดิม และทำการอบให้แห้งอีกรอบด้วยอุณหภูมิ 80°C เป็นเวลา 10 min.
7. เมื่อเคลื่อนฟิล์มนอิเล็กโทรดครบ 2 รอบ แล้ว นำฟิล์มที่เตรียมได้ไปเผาໄล์ตัวประสานออกที่อุณหภูมิ 450°C เป็นเวลา 3 h โดยมีอัตราการเพิ่มอุณหภูมิ 1°C/min. และป้องกันด้วยไนโตรเจนตัวลงที่อุณหภูมิห้อง (ภาพที่ 9ข)
8. จากนั้นนำฟิล์มที่เตรียมได้ไปทำการทดสอบการตอบสนองต่อแก๊สในขั้นตอนต่อไป



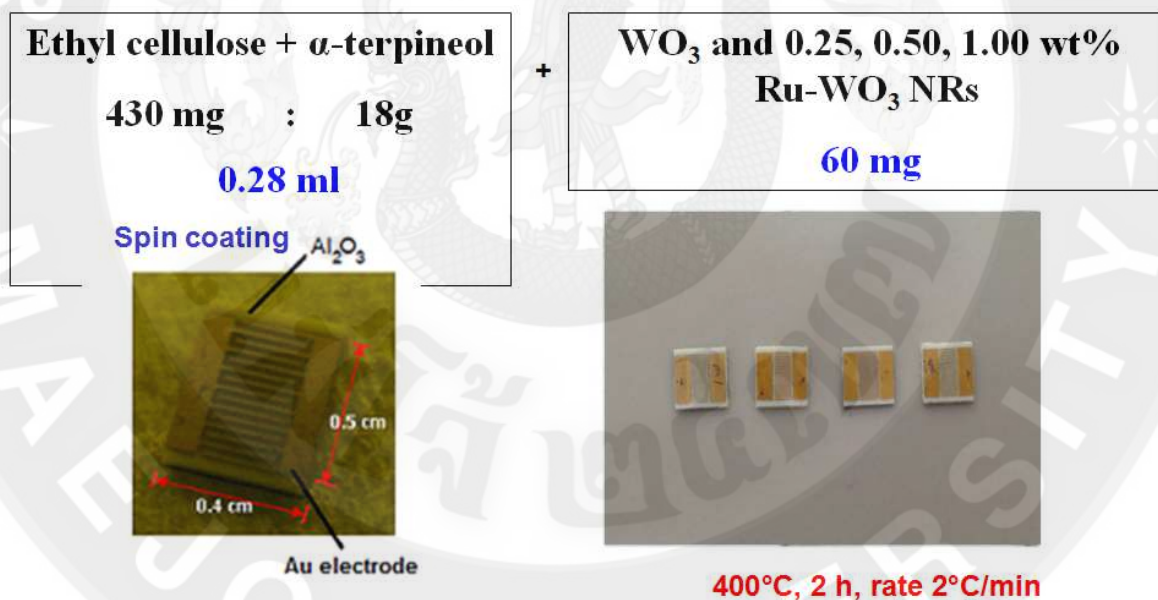
ภาพที่ 9 (ก) อิเล็กโทรดซึ่งทำจากอลูมินาที่ทำข้าไฟฟ้าด้วยทอง (ข) แสดงภาพจำลองที่เคลือบฟิล์ม เช็นเชอร์



ภาพที่ 10 เครื่องเคลือบสารแบบหมุนคว่ำ (Spin coater)



ภาพที่ 11 (ก) เตาอบ และ (ข) เตาเผา



ภาพที่ 12 แผนภาพแสดงการเตรียมฟิล์มเช็นเชอร์

**6. ทดสอบความสามารถในการตอบสนองต่อแก๊ส และความเฉพาะเจาะจง (Selectivity) ต่อแก๊สของฟิล์มเซ็นเซอร์ที่เตรียมได้**

**6.1 วัสดุอุปกรณ์ และสารเคมี**

**6.1.1 วัสดุอุปกรณ์**

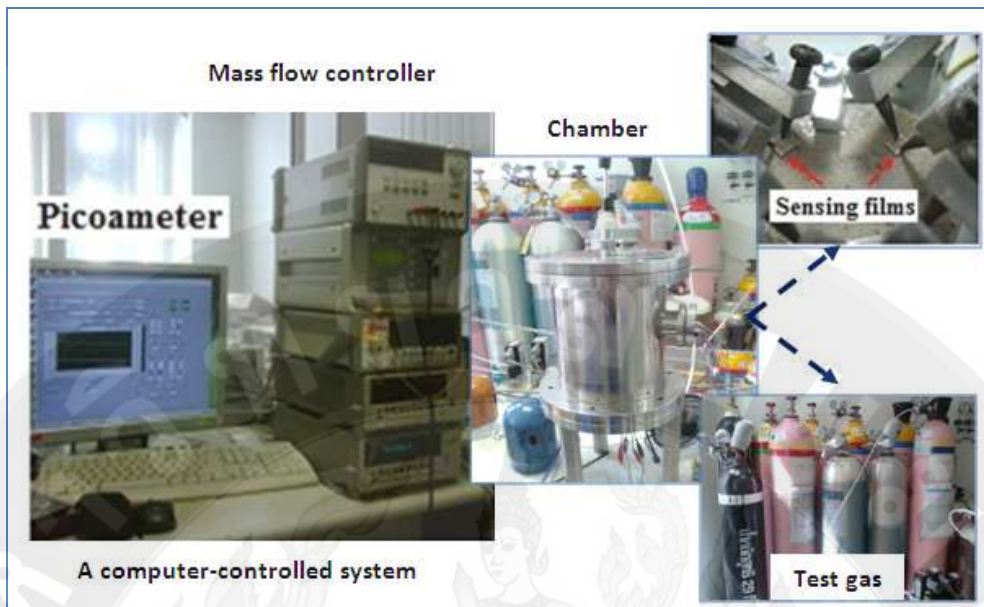
- เครื่องหมุนเวียน (Spin coater)
- ครกบดสาร
- ช้อนตักสาร
- เตาเผา (Three-zone tube furnace)
- อิเล็กโทรด (Electrode)

**6.1.2 สารเคมี**

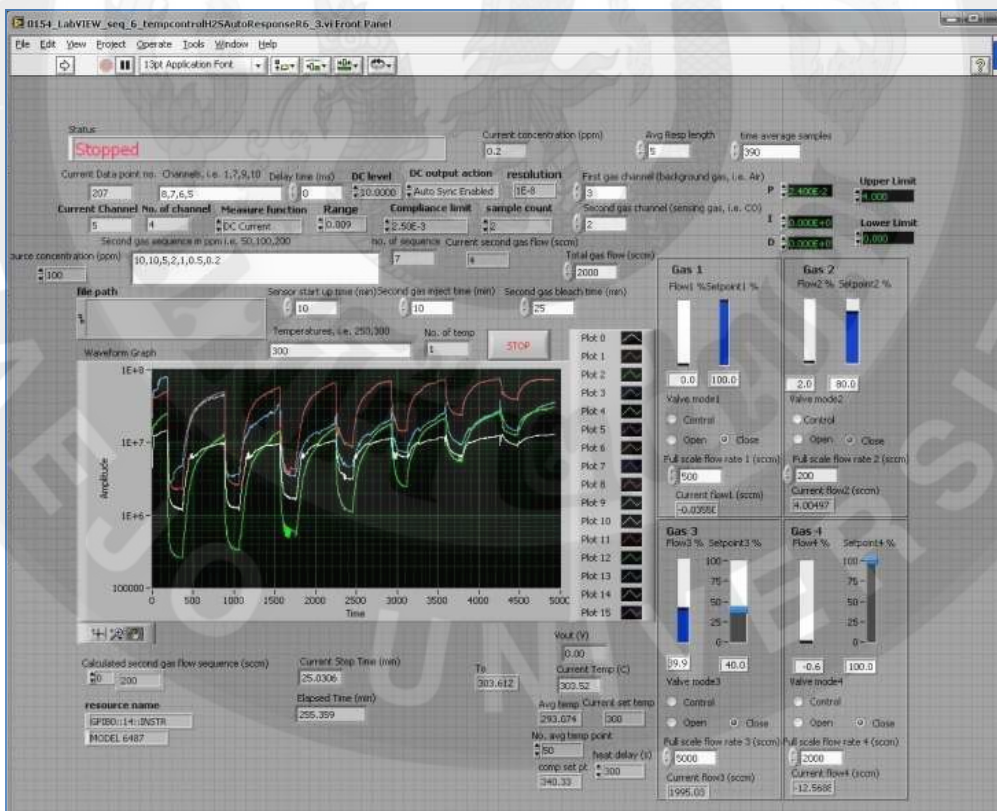
- อนุภาคผงนาโนทั้งสแตนออกไซด์
- อนุภาคผงนาโนทั้งสแตนออกไซด์ที่เจือด้วยไนโตรเมียม 0.25, 0.50 และ 1.00 wt%
- ตัวประสาร (Binder)

**6.2 ขั้นตอนทดสอบความสามารถในการตอบสนองต่อแก๊ส และความเฉพาะเจาะจง (Selectivity) ต่อแก๊สของฟิล์มเซ็นเซอร์**

1. วัดค่าความต้านทานของฟิล์มเซ็นเซอร์ด้วยมัลติมิเตอร์ และจดบันทึกผล
2. นำฟิล์มเซ็นเซอร์ไปรับคิดกับหัวไฟฟ้าเพื่อยึดติดกับขั้วของอิเล็กโทรด
3. ทดสอบว่าฟิล์มเซ็นเซอร์และเครื่องทดสอบเซ็นเซอร์แก๊สร่วมกันได้มีการเชื่อมต่อกันโดย การวัดค่าความต้านทานระหว่างขั้วไฟฟ้าของฟิล์มเซ็นเซอร์กับขั้วไฟฟ้าของเครื่อง ทดสอบเซ็นเซอร์แก๊ส หากมีกระแสไฟหล่อผ่านแสดงว่ามีการเชื่อมต่อกันอย่างสมบูรณ์ ดังภาพที่ 13
4. เปิด瓦ล์วถังแก๊สที่ต้องการทดสอบ
5. การตอบสนองของฟิล์มเซ็นเซอร์จะแสดงผ่านระบบคอมพิวเตอร์ โดยใช้โปรแกรม Shoutsto smart และ โปรแกรม Lab View 8.2 ซึ่งแสดงดังภาพที่ 14
6. ทำการป้อนข้อมูลต่างๆ เช่น ความเข้มข้นของแก๊ส เวลาในการปล่อยแก๊ส โดย
  - ทดสอบโดยการเปลี่ยนแปลง (vary) ความเข้มข้นของแก๊ส (ระดับ ppm)
  - ทดสอบโดยการเปลี่ยนแปลง (vary) อุณหภูมิในการทำงานของเซ็นเซอร์ดังภาพที่ 15
7. กด run เพื่อเริ่มการทำงานของโปรแกรม ผลที่ได้โปรแกรมแสดงค่าการตอบสนองต่อ แก๊ส เวลาในการตอบสนอง เวลาในการกลับคืนสู่สภาพเดิม กราฟความสัมพันธ์ ระหว่างความต้านทานกับเวลา ดังภาพที่ 14

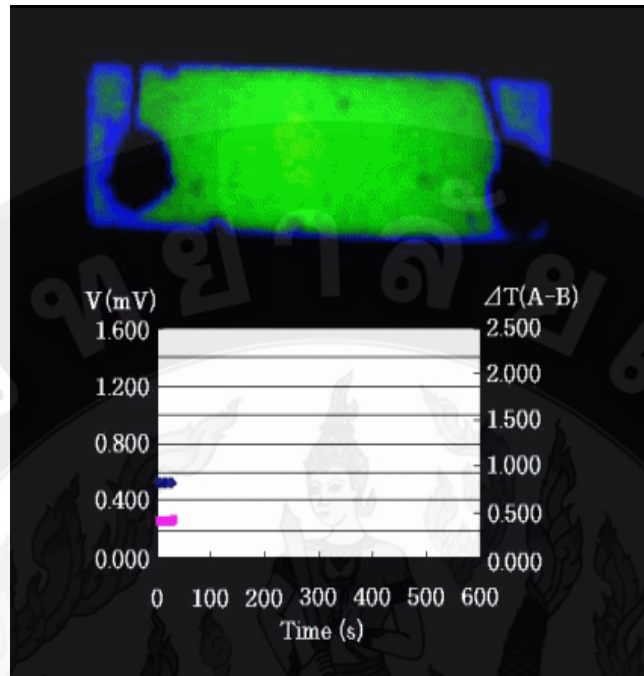


ภาพที่ 13 ชุดอุปกรณ์ในการทดสอบการตรวจจับแก๊ส



ภาพที่ 14 จอแสดงผลค่าความต้านทานของฟิล์มเซ็นเซอร์เทียบกับเวลา จากโปรแกรม

Lab View 8.2



ภาพที่ 15 การให้อุณหภูมิกับฟิล์มเช็นเชอร์ขณะตรวจจับแก๊ส

## 7. ศึกษาลักษณะเฉพาะของฟิล์มเช็นเชอร์ที่เตรียมได้

### 1. ศึกษาด้วยเทคนิคการเลี้ยวเบนของรังสีเอ็กซ์ (X-ray diffraction; XRD)

การวิเคราะห์โครงสร้างผลึกด้วยเทคนิคการเลี้ยวเบนของรังสีเอ็กซ์ทำได้โดยนำอิเล็กโทรดติดบนแผ่นกระดาษไอล์ฟอยไซด์น้ำมันเป็นตัวชี้ดัด แล้วนำเข้าเครื่องวิเคราะห์ด้วยเทคนิคการเลี้ยวเบนของรังสีเอ็กซ์ เพื่อทำการวิเคราะห์ผล

### 2. ศึกษาด้วยกล้องจุลทรรศน์อิเล็กตรอนแบบส่องกราด (Scanning electron microscopy; SEM) และเทคนิคการกระจายพลังงานของรังสีเอ็กซ์ (Energy dispersive x-ray spectroscopy; EDS)

นำชิ้นงานฟิล์มเช็นเชอร์ที่ผ่านการทดสอบการตรวจจับแก๊สมาหาลักษณะเฉพาะของพื้นที่ผิว โดยการนำชิ้นงานฟิล์มเช็นเชอร์มาติดบนแท่งทองแดง (Stub) ที่มีเทปคาร์บอนเป็นตัวชี้ดัดจากนั้นนำไปเคลือบผิวด้วยคาร์บอนเพื่อเพิ่มประสิทธิภาพในการนำไฟฟ้า แล้วนำตัวอย่างเข้าเครื่องวิเคราะห์ด้วยกล้องจุลทรรศน์อิเล็กตรอนแบบส่องกราดเพื่อทำการวิเคราะห์ผลต่อไป

## 8. วิเคราะห์ห้ามสารซัลเฟอร์ไดออกไซด์ที่ตกค้างในเนื้อสำลีขอบแห้ง

### 8.1 วัสดุอุปกรณ์ และสารเคมี

#### 8.1.1 วัสดุอุปกรณ์

- ขวดก้นกลมชนิดสองคอ ขนาด 500 มิลลิลิตร
- ขวดก้นกลมชนิดสองคอ ขนาด 250 มิลลิลิตร
- ขวดรูปชามพู่ ขนาด 250 มิลลิลิตร
- คอนเดนเซอร์
- ท่อนำแก๊ส
- จุกยาง

#### 8.1.1 สารเคมี

- ไฮโดรเจนเปอร์ออกไซด์
- กรดไฮโดรคลอริก
- ฟินอฟทาลีน อินดิเคเตอร์
- โซเดียมไฮดรอกไซด์

### 8.2 ขั้นตอนการวิเคราะห์ปริมาณสารซัลเฟอร์ไดออกไซด์ที่ตกค้างในเนื้อสำลีขอบแห้ง

การวิเคราะห์ปริมาณสารซัลเฟอร์ไดออกไซด์ที่ตกค้างในเนื้อสำลีขอบแห้ง จากจังหวัดลำพูน โดยวิธี Optimized Monier-Williams method (AOAC Official Method 990.28) ตามขั้นตอน แสดงดังภาพ 1 และประกอบด้วยชุดสกัดซัลเฟอร์ไดออกไซด์ แสดงดังภาพที่ 16

ชั้งเนื้อคำไயอบแห้ง 50 กรัม ลงขวดก้นกลม ชนิดสองقو依ที่ 1 เติมน้ำก่อนครึ่งขวด



เติมกรดไฮโดรคลอริกเข้มข้น ปริมาตร 20 มิลลิลิตร ลงขวดก้นกลม



รินไฮโดรเจนเปอร์ออกไซด์ เข้มข้น 3 เปอร์เซ็นต์ ลงในขวดก้นกลมใบที่ 2 ขนาด 250 มิลลิลิตร ปริมาตร 100 มิลลิลิตร และ ขวดรูปชنمพู่ครึ่งหลอด



ประกอบชุดเครื่องแก้วชุดสักด



เปิดวาล์วแก๊สในโตรเจนให้มีอัตราการไหลของ

แก๊ส 1 พองปด ต่อ 1 วินาที



เริ่มจับเวลาเมื่อตัวอย่างในขวดก้นกลมเดือด

โดยใช้เวลาทำปฏิกิริยา 50–60 นาที



นำสารละลายไฮโดรเจนเปอร์ออกไซด์ทึ่งหมุด ไฟเทรตกับ 0.01M NaOH



คำนวณหาปริมาณสารซัลเฟอร์ไดออกไซด์

ภาพที่ 16 แผนผังการสกัดซัลเฟอร์ไดออกไซด์ตามวิธี Optimized Monier-Williams method



### ภาพที่ 17 แผนผังการประกอบชุดสกัดซัลเฟอร์ไ刁ออกไซด์

วิธีคำนวณปริมาณสารซัลเฟอร์ไ刁ออกไซด์ ( $\text{SO}_2$ ) ในเนื้อสำลีขบวนแห้ง

$$\text{ปริมาณ } \text{SO}_2 (\text{ppm}) = \frac{\text{N} \times \text{V} \times 32 \times 1000}{\text{W}}$$

โดยที่ N = ความเข้มข้นที่แท้จริงของ  $\text{NaOH}$  ที่ใช้ไทเกรต (Normal)

V = ปริมาณของ  $\text{NaOH}$  ที่ใช้ไทเกรต (มิลลิลิตร)

W = น้ำหนักของตัวอย่างเนื้อสำลีขบวนแห้ง (กรัม)

32 = มิลลิกรัมสมมูลของแก๊สซัลเฟอร์ไ刁ออกไซด์ (Milliequivalent weight)

## ผลการวิจัยและวิจารณ์ผลการวิจัย

ในส่วนนี้จะกล่าวถึงผลของการสังเคราะห์อนุภาคนาโนทั้งสetenออกไซด์ที่เตรียมโดยวิธีไฮโดรเทอร์มอล (Hydrothermal) โดยการศึกษาลักษณะเฉพาะของอนุภาคนาโนของทั้งสetenออกไซด์ที่เตรียมได้ และนำอนุภาคนาโนของทั้งสetenออกไซด์ที่เตรียมได้ไปประยุกต์ใช้เป็นตัวตรวจจับแก๊ส เพื่อศึกษาความสามารถในการตรวจจับแก๊ส และความเฉพาะเจาะจงต่อแก๊ส เพื่อเป็นแนวทางในการประยุกต์ใช้ต่อไป ผลการทดลองและวิเคราะห์ผลการทดลอง มีรายละเอียดดังต่อไปนี้

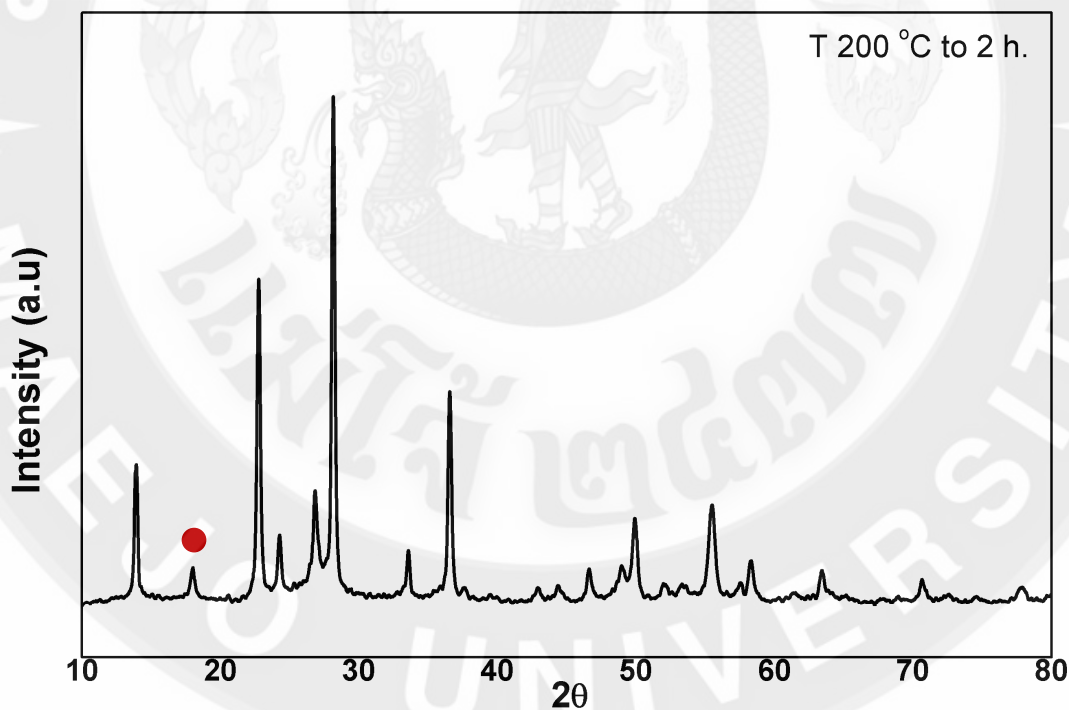
1. ผลการศึกษาลักษณะเฉพาะของอนุภาคนาโนทั้งสetenออกไซด์ที่เตรียมได้
  - 1.1 ผลการวิเคราะห์ด้วยเทคนิคการเลือดขabeenของรังสีเอ็กซ์ (X-ray diffraction; XRD)
  - 1.2 ผลการวิเคราะห์ด้วยกล้องจุลทรรศน์อิเล็กตรอนแบบส่องผ่าน (Transmission electron microscopy; TEM)
  - 1.3 ผลการวิเคราะห์ด้วยเทคนิคการกระจายพลังงานของรังสีเอ็กซ์ (Energy dispersive x-ray spectroscopy; EDS)
  - 1.4 ผลการวิเคราะห์ด้วยเทคนิคการคุณภาพแก๊สในไตรเจน (Brunauer–emmet–teller; BET analysis)
2. ผลการศึกษาลักษณะเฉพาะของฟิล์มเซ็นเซอร์ของอนุภาคนาโนทั้งสetenออกไซด์ที่เตรียมได้
  - 2.1 ผลการวิเคราะห์ด้วยเทคนิคการเลือดขabeenของรังสีเอ็กซ์ (X-ray diffraction; XRD)
  - 2.2 ผลการวิเคราะห์ด้วยกล้องจุลทรรศน์อิเล็กตรอนแบบส่อง粒粒 (Scanning electron microscopy; SEM)
  - 2.3 ผลการวิเคราะห์ด้วยเทคนิคการกระจายพลังงานของรังสีเอ็กซ์ (Energy dispersive x-ray spectroscopy; EDS)
3. ผลการศึกษาความสามารถในการตรวจจับแก๊ส และความเฉพาะเจาะจงต่อแก๊ส ของฟิล์มเซ็นเซอร์ของอนุภาคนาโนทั้งสetenออกไซด์ที่เตรียมได้
4. ผลการวิเคราะห์หาปริมาณการตกค้างของแก๊สซัลเฟอร์ไดออกไซด์ ในเนื้อเปลือกของลำไยอบแห้งในช่วงเวลาต่างๆ ในระหว่างการอบ และภายนอกการอบด้วยแก๊สซัลเฟอร์-ไดออกไซด์ รวมถึงศึกษาถึงปัจจัยที่มีผลต่อปริมาณการตกค้างของแก๊สซัลเฟอร์-ไดออกไซด์ในลำไยอบแห้ง

**1. ศึกษาลักษณะเฉพาะของอนุภาคนาโนทั้งสแตนออกไซด์ที่เตรียมโดยวิธีไฮโดรเทอร์มอล (Hydrothermal)**

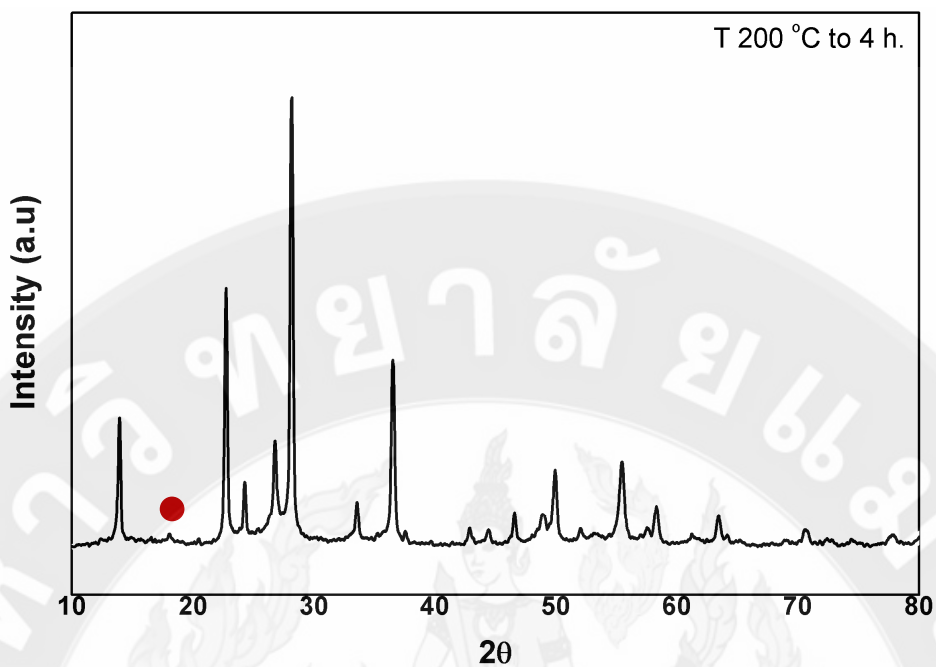
**1.1 ผลการวิเคราะห์ด้วยเทคนิคการเลี้ยวเบนของรังสีเอ็กซ์ (X-ray diffraction; XRD)**

ในงานวิจัยนี้ ได้วิเคราะห์สารตัวอย่างอนุภาคนาโนทั้งสแตนออกไซด์ และอนุภาคนาโนทั้งสแตนออกไซด์ที่เจือด้วยไนโตรบีม 0.25, 0.50 และ 1.00 wt% ด้วยเทคนิคการเลี้ยวเบนด้วยรังสีเอ็กซ์ จากนั้นนำข้อมูลที่ได้ไปเปรียบเทียบกับฐานข้อมูล Joint committee powder diffraction standards (JCPDS) เพื่อตรวจสอบโครงสร้างผลึกของสารตัวอย่างที่เตรียมได้

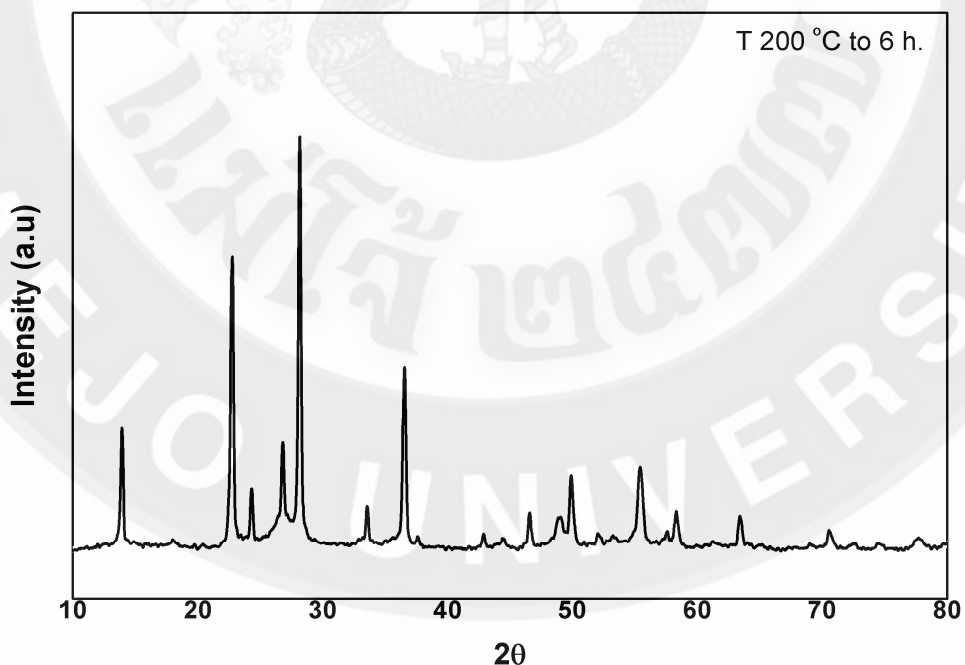
เมื่อนำพัทั้งสแตนออกไซด์ ที่ผ่านการสังเคราะห์โดยวิธีไฮโดรเทอร์มอล ที่ทำการเตรียมที่อุณหภูมิ  $200^{\circ}\text{C}$  เป็นเวลานาน 2, 4 และ 6 h นำมาตรวจสอบหาลักษณะโครงสร้างด้วยเทคนิคการเลี้ยวเบนของรังสีเอ็กซ์ พบว่า ที่อุณหภูมิ  $200^{\circ}\text{C}$  นาน 2 และ 4 h ยังไม่เกิดอนุภาคผงนาโนทั้งสแตนออกไซด์เนื่องจากยังพบพิกเซลกลปломที่ตำแหน่ง  $20 = 18.145$  degrees ในขณะที่เวลา 6 h เกิดอนุภาคผงนาโนทั้งสแตนออกไซด์ แสดงในภาพที่ 18-20 ตามลำดับ



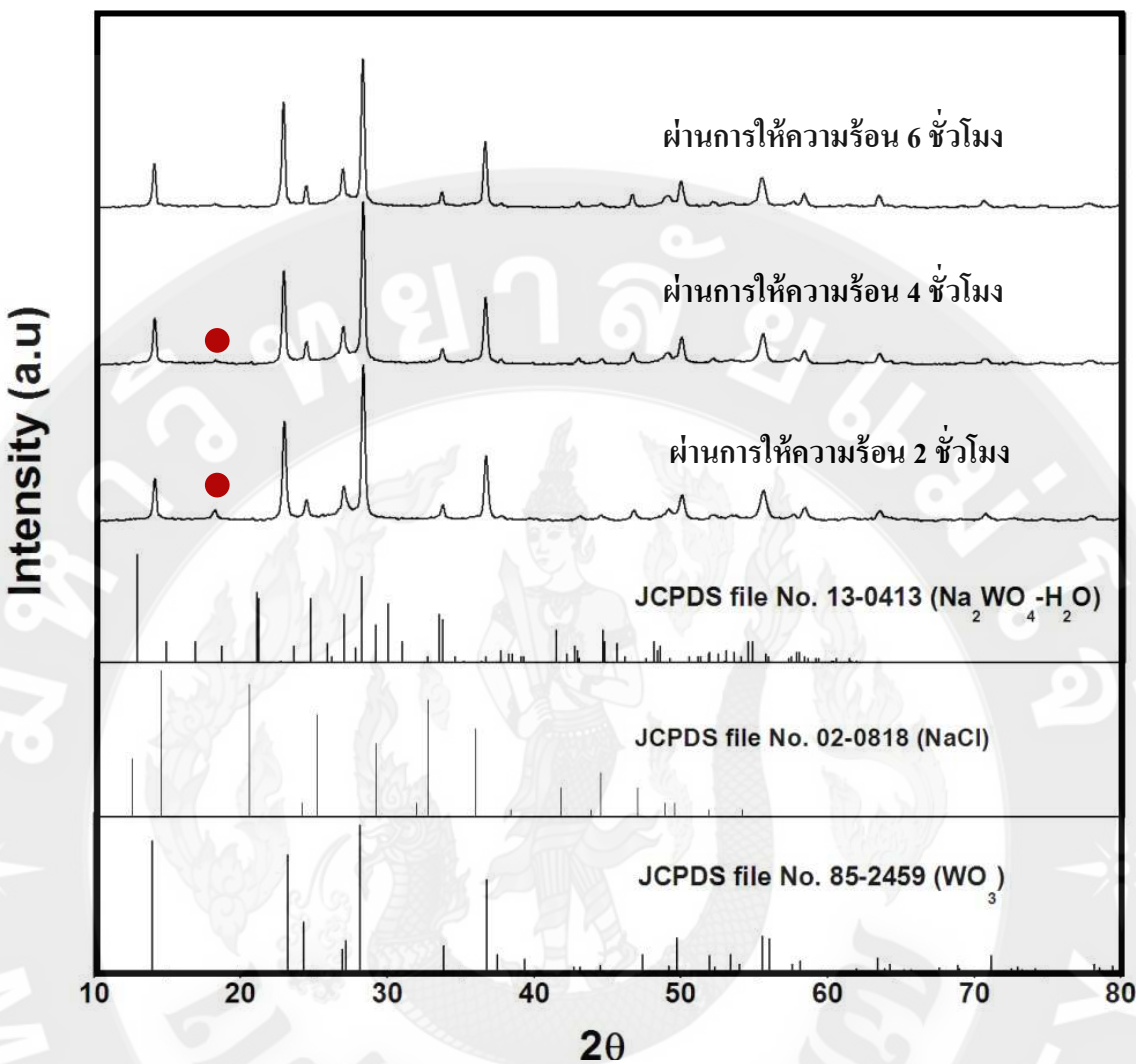
ภาพที่ 18 รูปแบบการเลี้ยวเบนของรังสีเอ็กซ์ของผงนาโนทั้งสแตนออกไซด์ ที่ได้จากการสังเคราะห์โดยวิธีไฮโดรเทอร์มอล ผ่านการไฮโดรเทอร์มอลที่อุณหภูมิ  $200^{\circ}\text{C}$  เป็นเวลา 2 h



ภาพที่ 19 รูปแบบการเดี้ยวบนของรังสีเอ็กซ์ของผงนาโนทั้งสตุนออกไซด์ ที่ได้จากการสังเคราะห์โดยวิธีไฮโดรเทอร์มอล ผ่านการไฮโดรเทอร์มอลที่อุณหภูมิ  $200^\circ\text{C}$  เป็นเวลา 4 h



ภาพที่ 20 รูปแบบการเดี้ยวบนของรังสีเอ็กซ์ของผงนาโนทั้งสตุนออกไซด์ ที่ได้จากการสังเคราะห์โดยวิธีไฮโดรเทอร์มอล ผ่านการไฮโดรเทอร์มอลที่อุณหภูมิ  $200^\circ\text{C}$  เป็นเวลา 6 h



ภาพที่ 21 รูปแบบการเลี้ยวเบนของรังสีอิเล็กซ์ของผงนาโนหั้งสแตนออกไซด์ที่ได้จากการสังเคราะห์โดยวิธีไฮโดรเทอร์มอล ผ่านการไฮโดรเทอร์มอลที่อุณหภูมิ 200°C เป็นเวลา 2, 4 และ 6 h ตามลำดับ

ดังนั้นในงานวิจัยนี้ จึงเลือกใช้หั้งสแตนออกไซด์ที่เตรียมโดยเทคนิคไฮโดรเทอร์มอล ที่ผ่านการเตรียมที่อุณหภูมิ 200°C เป็นเวลา 6 ชั่วโมง ในการศึกษาลักษณะเฉพาะของอนุภาค รวมทั้งการนำไปประยุกต์ใช้เป็นตัวตรวจจับแก๊ส

รูปแบบการเลี้ยวเบนของรังสีอิเล็กซ์ที่ได้จากอนุภาคนาโนหั้งสแตนออกไซด์ อนุภาคนาโนหั้งสแตนออกไซด์ที่เจือด้วยไนโตรบีมในปริมาณ 0.25, 0.50 และ 1.00 wt% ที่สังเคราะห์ด้วยวิธีไฮโดรเทอร์มอล ได้ผลดังแสดงในภาพที่ 22 พบว่าอนุภาคทุกตัวที่สังเคราะห์ได้มีการเลี้ยวเบนหลักที่ตำแหน่ง 2θ อยู่ที่ตำแหน่งเดียวกัน และเมื่อนำไปเทียบกับฐานข้อมูล JCPDS พบว่าดำเนินการ

เดี่ยวเบนหลักข้างตันไกล์เคียงกับการเดี่ยวเบนหลักของไฟล์ JCPDS หมายเลข 85-2549 ซึ่งมี ตำแหน่ง 20 เท่ากับ 13.95, 23.197, 24.284, 27.169, 28.133, 33.832, 36.756, 47.419, 49.755 และ 55.582 Degrees ทำให้ทราบว่าสารตัวอย่างทุกตัวที่สังเคราะห์ได้ เป็นทั้งสแตนออกไซด์ที่มี โครงสร้างผลึกแบบเอกซ์ โกลนอล (Hexagonal structure)

จากภาพที่ 22 พบร้าไม่มีพิกแปรกปลอมในทุกรูปแบบการเดี่ยวเบนของรังสีเอ็กซ์ nokjakan นี้พิกหลักของทั้งสแตนออกไซด์ซึ่งมีลักษณะและความเข้มเหมือนกันทั้งหมด ทำให้ไม่ สามารถระบุถึงการมีอยู่ของใน ไอโอเบิร์นที่เจือเข้าไปในทั้งสแตนออกไซด์ได้ อาจเนื่องมาจากปริมาณ ของทั้งสแตนออกไซด์มีจำนวนมาก ขณะที่ใน ไอโอเบิร์นที่เจือลงไปในทั้งสแตนออกไซด์มีปริมาณที่ น้อยมาก เทคนิคการเดี่ยวเบนของรังสีเอ็กซ์จึงวิเคราะห์เห็นองค์ประกอบได้ไม่ชัดเจน

nokjakan นี้ พิกที่ได้จากการเดี่ยวเบนของรังสีเอ็กซ์ของสารตัวอย่างมีลักษณะเป็นพิก แหลมสูง จึงคาดว่าสารตัวอย่างทุกตัวที่สังเคราะห์ได้มีความเป็นผลึกค่อนข้างสูง สำหรับความเข้ม ของ 4 พิกแรก ที่ตำแหน่ง 20 เดียว กันของสารตัวอย่างแต่ละตัวมีค่าไกล์เคียงกัน แสดงว่าอนุภาคที่ สังเคราะห์ได้นั้นมีขนาดอนุภาคที่ไกล์เคียงกันโดยมีการคำนวณขนาดของอนุภาคจากสมการของ เชอร์เรอร์ (Sherrer's equation) ซึ่งอาศัยข้อมูลที่ได้จากการเดี่ยวเบนของรังสีเอ็กซ์ ทั้งมุมการ เดี่ยวเบน ( $\theta$ ) และความกว้างของกราฟการเดี่ยวเบนมาช่วยในการคำนวณซึ่งมีความสัมพันธ์ดัง สมการที่ 2 ซึ่งผลที่ได้มีขนาดอนุภาคประมาณ 25.23 nm

$$D = \frac{K\lambda}{\beta \cos \theta} \quad \dots\dots\dots(2)$$

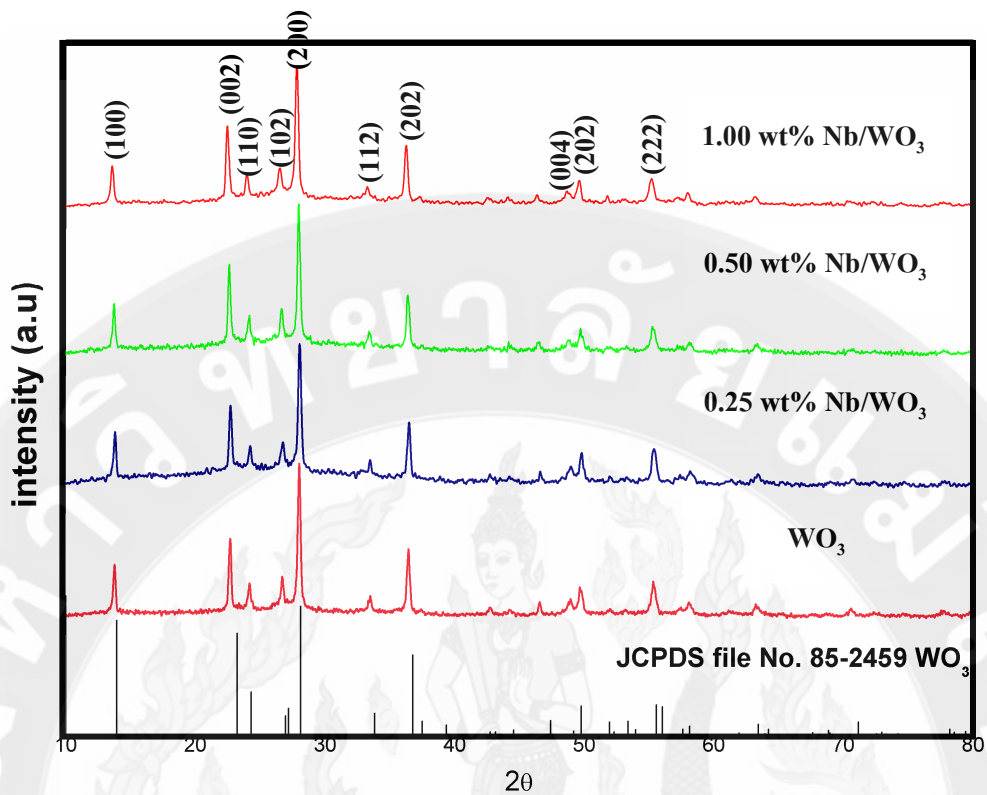
เมื่อ  $D$  = ขนาดของอนุภาค (nm)

$K$  = ค่าคงที่ ขึ้นกับขนาดและอนุภาคของเม็ดผลึก ในทางทฤษฎีพิสูจน์ได้ว่า  $0.89 \leq k \leq 1.39$

$\lambda$  = ความยาวคลื่นของรังสีเอ็กซ์ที่ใช้ (กรณีคือ CuK มีค่าเท่ากับ 0.154065 nm)

$\beta$  = Full Width at Half Maximum (FWHM)

$\theta$  = มุมการเดี่ยวเบน



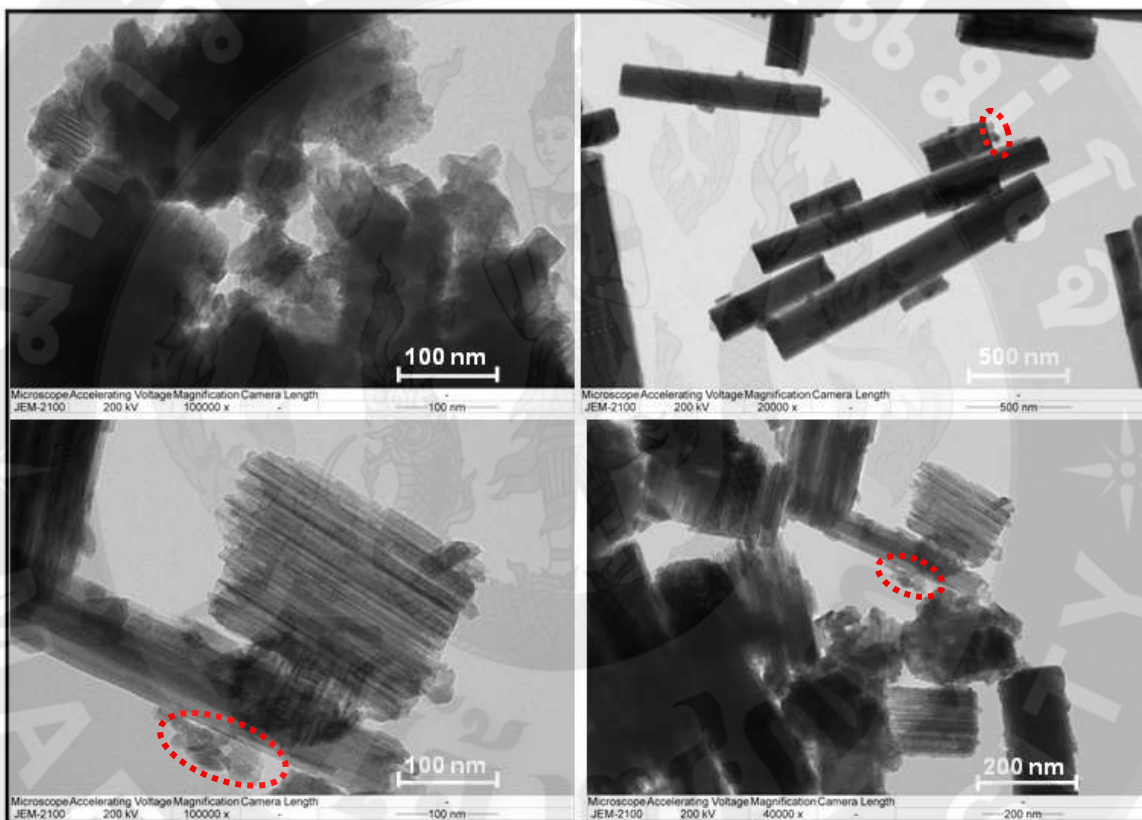
ภาพที่ 22 รูปแบบการเลี้ยวเบนของรังสีอิเล็กซ์ ของอนุภาคนาโนทั้งสแตนออกไซด์ และอนุภาคนาโนทั้งสแตนออกไซด์ที่เจือด้วยไนโตรบียม ที่ความเข้มข้น 0.25, 0.50 และ 1.00 wt% ซึ่งตรงกับ JCPDS หมายเลข 85-2459 ( $\text{WO}_3$ )

ตารางที่ 1 ขนาดของอนุภาคนาโนทั้งสแตนออกไซด์ และอนุภาคนาโนทั้งสแตนออกไซด์ที่เจือด้วยไนโตรบียม ที่คำนวณได้จากการวิเคราะห์การเลี้ยวเบนของรังสีอิเล็กซ์

ตัวอย่าง	ขนาดของอนุภาคนาโน ( $\text{nm}$ )
$\text{WO}_3$	24.97
0.25 wt% Nb/ $\text{WO}_3$	23.08
0.50 wt% Nb/ $\text{WO}_3$	25.15
1.00 wt% Nb/ $\text{WO}_3$	27.72

## 1.2 ผลการวิเคราะห์ด้วยกล้องจุลทรรศน์อิเล็กตรอนแบบส่องผ่าน (Transmission electron microscopy; TEM)

ในงานวิจัยนี้ ได้นำอนุภาคสารตัวอย่างที่สังเคราะห์ได้มาหาลักษณะเฉพาะด้วยกล้องจุลทรรศน์อิเล็กตรอนแบบส่องผ่าน เพื่อตรวจสอบขนาด และรูปร่างของอนุภาคนาโนทั้งสแตนออกไซด์ และอนุภาคนาโนทั้งสแตนออกไซด์ที่เจือด้วยไนโตรบีม ที่สังเคราะห์ด้วยวิธีไฮโดรเทอร์โมล



ภาพที่ 23 ภาพจากกล้องจุลทรรศน์อิเล็กตรอนแบบส่องผ่าน (ก) อนุภาคทั้งสแตนออกไซด์ (ข-ง) อนุภาคทั้งสแตนออกไซด์ที่เจือด้วยไนโตรบีมที่ความเข้มข้น 0.5 wt%

จากภาพที่ 23 พบว่าอนุภาคที่สังเคราะห์ได้มีลักษณะค่อนข้างกระจายตัว และมีลักษณะทางสัณฐานวิทยาเป็นรูปแท่ง ซึ่งขนาดของอนุภาคที่สังเคราะห์ได้ที่เป็นแท่งมีขนาดความกว้างประมาณ 100 nm ถึง 250 nm และมีความยาวประมาณ 100 nm ถึง 5 μm นอกจากนั้นยังพบว่าทั้งสแตนออกไซด์ที่เจือด้วยไนโตรบีม มีอนุภาคที่มีลักษณะคล้ายทรงกลมเกาะอยู่บริเวณผิวของทั้งสแตนออกไซด์ ซึ่งคาดว่าจะเป็นไนโตรบีมที่มีขนาดประมาณ 5–15 nm

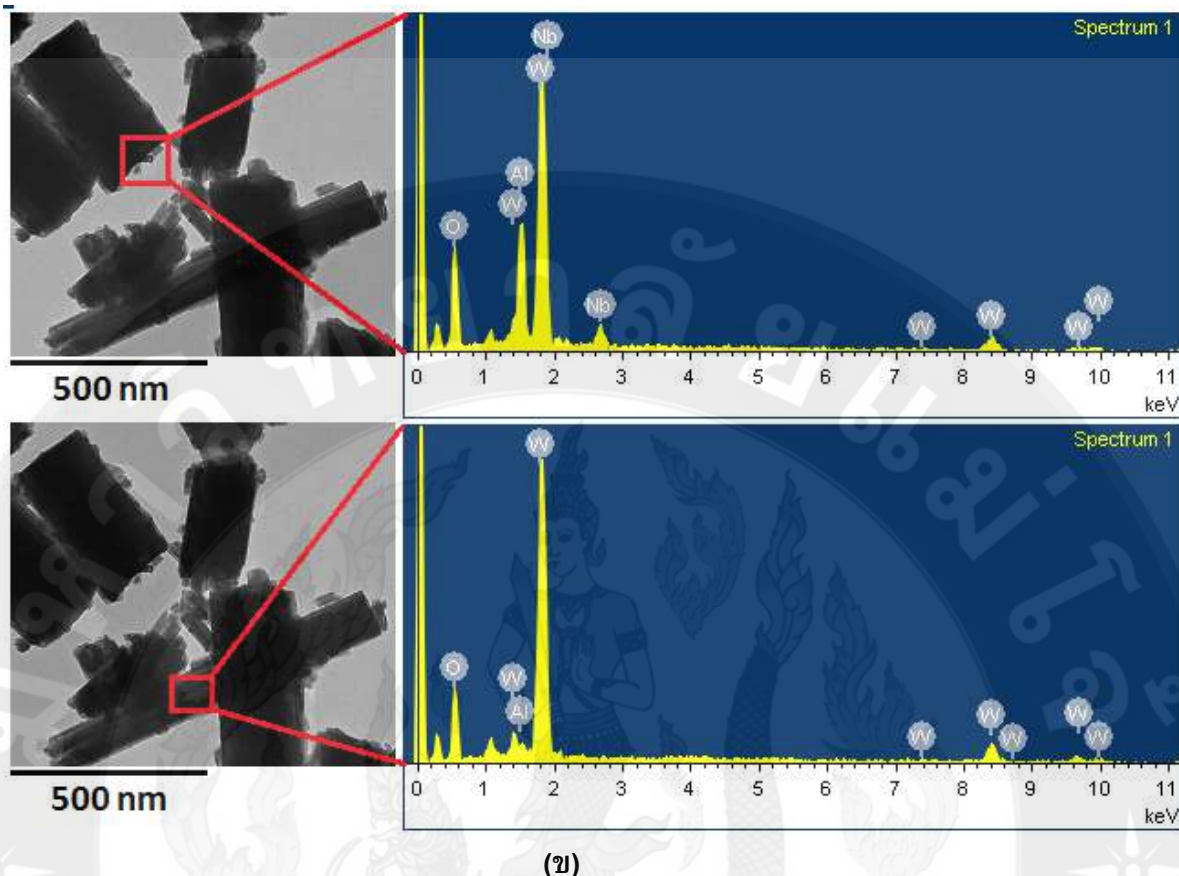
นอกจากนี้ พบร่วมกับค่าของอนุภาคที่เป็นสีดำ และบางอนุภาคที่เป็นสีเทาและสีดำปนกัน แสดงให้ทราบว่าอนุภาคนาโนหั่งสแตนออกไซด์ที่เตรียมได้มีเม็ดเดียว มีลักษณะได้หลายรูปแบบซึ่งอาจขึ้นอยู่กับทิศทางการจัดเรียงตัวของอนุภาคบวนที่คำอธิบายครอบคลุมส่วนของการทับซ้อนกันของอนุภาคด้วย

เพื่อความชัดเจนยิ่งขึ้นสามารถตรวจสอบได้จากการวิเคราะห์ด้วยเทคนิคการกระจายพลังงานของรังสีเอ็กซ์ (Energy dispersive x-ray spectroscopy; EDS) ซึ่งแสดงให้เห็นองค์ประกอบและปริมาณของธาตุอย่างชัดเจน และแม่นยำมากยิ่งขึ้น ดังแสดงภาพที่ 24

### 1.3 ผลการวิเคราะห์ด้วยเทคนิคการกระจายพลังงานของรังสีเอ็กซ์ (Energy dispersive x-ray spectroscopy; EDS)

จากการพัฒนาจากกล้องจุลทรรศน์อิเล็กตรอนแบบส่องผ่าน มีความแตกต่างของภาพเกิดขึ้นจากการมองเห็นอนุภาครูปแท่ง และบางอนุภาคที่เป็นทรงกลมประปนกัน ซึ่งอาจขึ้นอยู่กับทิศทางการจัดเรียงตัวของอนุภาคบวนที่คำอธิบายครอบคลุมส่วนของการทับซ้อนกันของอนุภาค

ภาพที่ 24 (ก) และ (ข) แสดงกราฟที่ได้จากการวิเคราะห์ธาตุที่เป็นองค์ประกอบ จากเทคนิคการกระจายพลังงานของรังสีเอ็กซ์ เพื่อยืนยันการมีอยู่จริงของ ในไอโอดีน เมื่อตรวจสอบด้วยเทคนิคการกระจายตัวพลังงานของรังสีเอ็กซ์ สามารถยืนยัน องค์ประกอบทั้งหมดของอนุภาคได้ จากスペกตรัมแสดงลักษณะเฉพาะของธาตุ คือ ทั้งสแตน (W), ออกซิเจน (O) และ ในไอโอดีน (Nb) ซึ่งスペกตรัมของธาตุที่เห็นชัด และสูงเป็นพิเศษของทั้งสแตน (W) และออกซิเจน (O) ซึ่งเป็นองค์ประกอบของธาตุหลัก ส่วนスペกตรัมของในไอโอดีนเนื่องจากมีการเลือกลงไปในปริมาณที่น้อย จึงปรากฏแค่พิกเล็กๆ แสดงให้เห็นว่ามีในไอโอดีนอยู่จริง



ภาพที่ 24 ภาพถ่ายจากกล้องจุลทรรศน์อิเล็กตรอนแบบส่องกราด (SEM) และการวิเคราะห์การกระจายพลังงานของรังสีเอ็กซ์ (EDS) ของอนุภาคนาโนทั้งสตenenออกไซด์ที่เจือด้วยไนโอลีบียม ที่ความเข้มข้น 0.50 wt% จากเทคนิคการกระจายพลังงานของรังสีเอ็กซ์ (g) ณ ตำแหน่งที่มีอนุภาคเล็กๆ ที่คาดว่าคือในไนโอลีบียมที่เจือลงໄไป (h) ณ ตำแหน่งที่ไม่มีอนุภาคเล็กๆ ที่คาดว่าคือในไนโอลีบียม

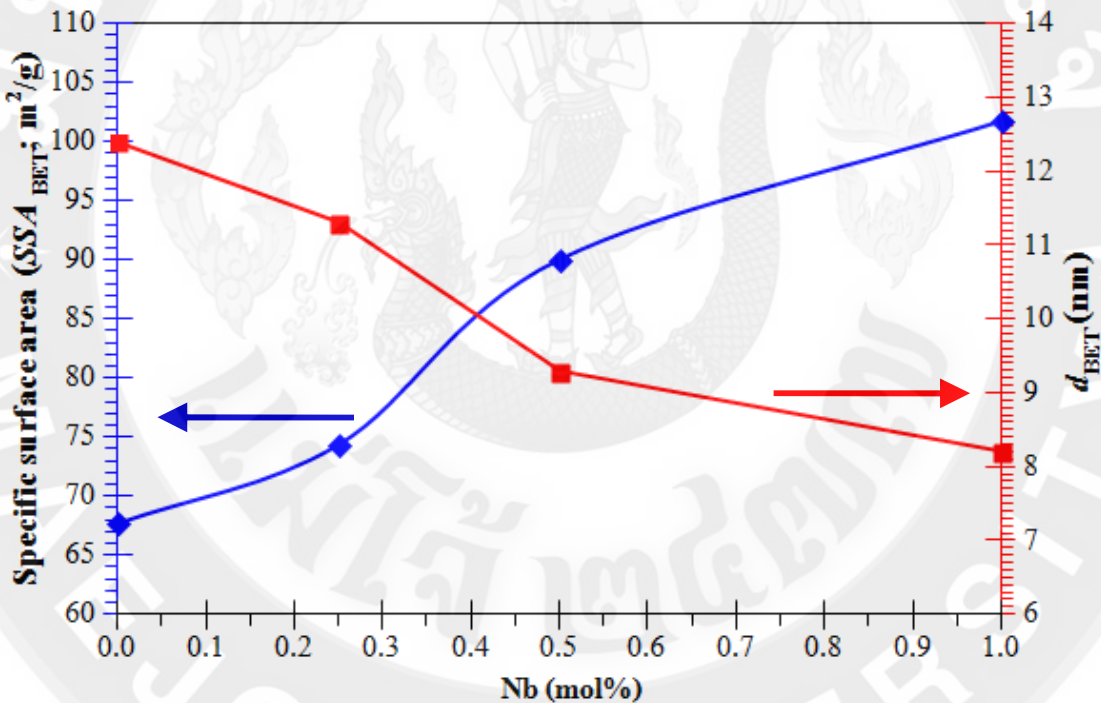
#### 1.4 ผลการวิเคราะห์ด้วยเทคนิคการดูดซับแก๊สในโครงเรน (Brunauer–emmet–teller; BET analysis)

จากการวิเคราะห์พื้นที่ผิวของอนุภาคที่เตรียมได้ พบว่าทั้งสตenenออกไซด์บริสุทธิ์มีค่าพื้นที่ผิวประมาณ 67.72 และทั้งสตenenออกไซด์ที่เจือด้วยไนโอลีบียม 0.25, 0.50 และ 1.00 wt% มีค่าพื้นที่ผิวเพิ่มขึ้นตามปริมาณการเจือในไนโอลีบียมที่เพิ่มขึ้นคือมีค่าประมาณ 74.4, 90.08 และ 101.8  $\text{m}^2/\text{g}$  ตามลำดับ และเมื่อคำนวนหาขนาดของอนุภาคตามสมการที่ 3 พบว่า มีขนาดประมาณ 12.4, 11.3, 9.3 และ 8.2 nm ตามลำดับ

$$d_{\text{BET}} = \frac{6}{(\rho_{\text{WO}_3} \times SSA_{\text{BET}} \times \text{wt.\% WO}_3) + (\rho_{\text{Nb}} \times SSA_{\text{BET}} \times \text{wt.\% Nb})} \quad \dots\dots\dots (3)$$

เมื่อ	$d_{\text{BET}}$	คือ ขนาดอนุภาค ( $d_{\text{BET}}$ ; nm)
$\rho$	คือ ความหนาแน่น (g/cm <sup>3</sup> )	
$SSA_{\text{BET}}$	คือ ค่าพื้นที่ผิวจำเพาะ (specific surface area; m <sup>2</sup> /g)	
wt%	คือ เปอร์เซ็นต์โดยน้ำหนัก	

ข้อมูล  
ความหนาแน่น ( $\rho_{\text{WO}_3}$ ) ของทั้งสเตนออกไซด์ ( $\text{WO}_3$ ) = 7.16 g/cm<sup>3</sup>  
ความหนาแน่น ( $\rho_{\text{Nb}}$ ) ของไนโตรเมียม (Nb) = 8.57 g/cm<sup>3</sup>



ภาพที่ 25 ค่าพื้นที่ผิวจำเพาะ ( $SSA_{\text{BET}}$ ;  $\text{m}^2/\text{g}$ ) และขนาดอนุภาค ( $d_{\text{BET}}$ ; nm) ของอนุภาคนาโนทั้งสเตนออกไซด์ และอนุภาคนาโนทั้งสเตนออกไซด์ที่เจือด้วยไนโตรเมียม ที่ความเข้มข้น 0.25, 0.50 และ 1.00 wt%

ตารางที่ 2 แสดงผลการคำนวณขนาดของอนุภาคนาโนทั้งสแตนออกไซด์ และทั้งสแตนออกไซด์ที่เจือด้วยไนโตรบียม จากการคำนวณขนาดอนุภาคโดยเทคนิค BET

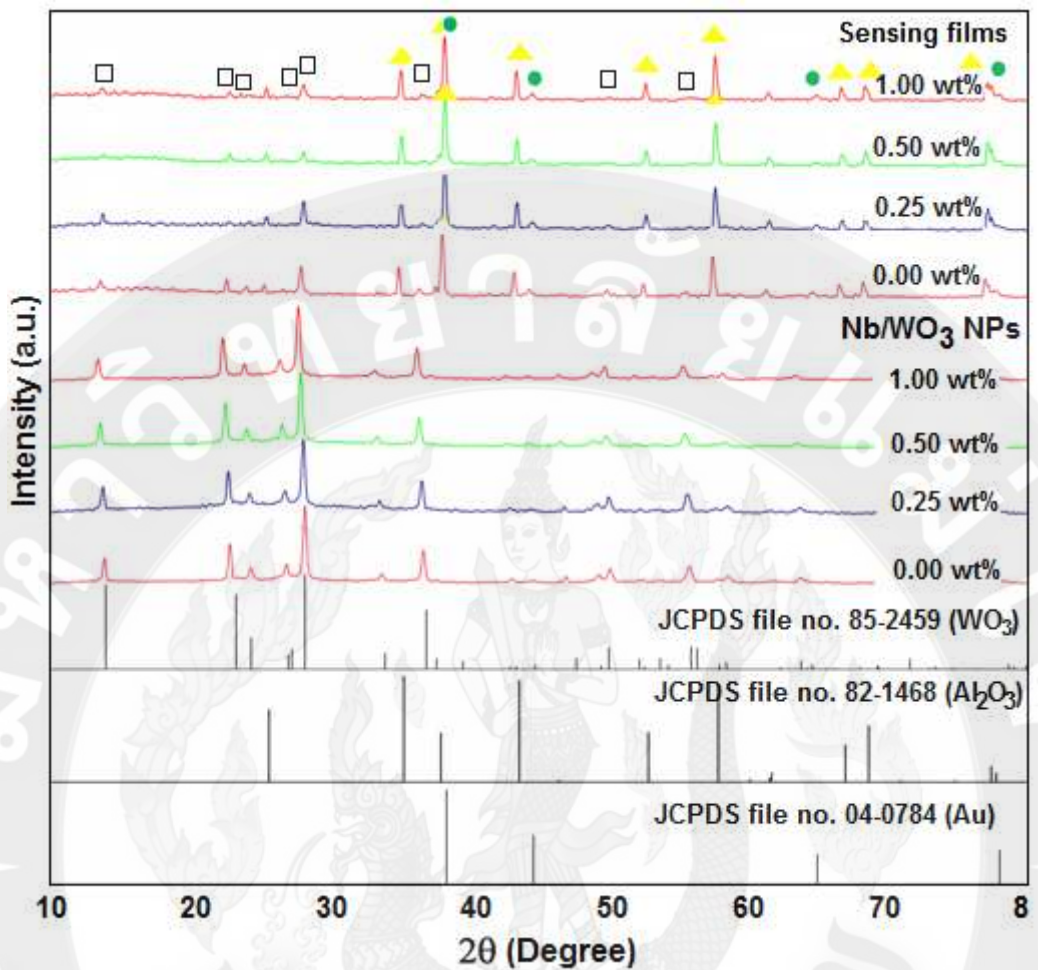
ตัวอย่าง	พื้นที่ผิวจำเพาะ ( $SSA_{BET}$ )	ขนาดอนุภาค ( $d_{BET}$ )
	( $m^2/g$ )	(nm)
$WO_3$	67.72	12.4
0.25 wt.% Nb/ $WO_3$	74.4	11.3
0.50 wt.% Nb/ $WO_3$	90.08	9.3
1.00 wt.% Nb/ $WO_3$	101.8	8.2

จากตารางที่ 2 พบว่าเมื่อปริมาณการเจือไนโตรบียม (Nb) ลงในทั้งสแตนออกไซด์ ( $WO_3$ ) เพิ่มขึ้น ทำให้ขนาดอนุภาคเล็กลงตามปริมาณที่เจือ เนื่องจากเมื่อเจือไนโตรบียมลงไป ในไนโตรบียมที่เกาจที่ผิวของทั้งสแตนออกไซด์ ( $WO_3$ ) ทำให้เกิดช่องว่างที่ทำให้สามารถดูดซับแก๊สได้มาก ส่งผลทำให้มีค่าพื้นที่ผิวจำเพาะมากขึ้น และเมื่อคำนวณขนาดของอนุภาค พบว่ามีขนาดเล็กลง

## 2. ผลการศึกษาลักษณะเฉพาะของฟิล์มเซ็นเซอร์ของอนุภาคนาโนทั้งสแตนออกไซด์ที่เตรียมได้

### 2.1 ผลการวิเคราะห์ด้วยเทคนิคการเลี้ยวเบนของรังสีเอ็กซ์ (X-ray diffraction; XRD)

เมื่อวิเคราะห์รูปแบบการเลี้ยวเบนของรังสีเอ็กซ์ ของฟิล์มเซ็นเซอร์ที่เตรียมได้ด้วยวิธีการหมุนเหวี่ยงบนอิเล็กโทรดที่ใช้เป็นฐานรอง ก้าพที่ 26 แสดงการวิเคราะห์ฟิล์มทั้งสแตนออกไซด์ และฟิล์มทั้งสแตนออกไซด์ที่เจือด้วยไนโตรบียม ที่ความเข้มข้น 0.25, 0.50 และ 1.00 wt% พบว่า รูปแบบการเลี้ยวเบนของรังสีเอ็กซ์มีลักษณะตรงกับไฟล์ JCPDS หมายเลข 85-2459 ( $WO_3$ ) มีโครงสร้างผลึกแบบเอกซ์โซนอล (Hexagonal), 82-1468 ( $Al_2O_3$ ) มีโครงสร้างผลึกแบบรอมโบอิครออล (Rhombohedral) และ 04-0784 (Au) มีโครงสร้างผลึกแบบคิวบิก (Cubic)



ภาพที่ 26 รูปแบบการเลี้ยวเบนของรังสีเอ็กซ์ของอนุภาค และฟิล์มเซ็นเซอร์ ของหั้งสตetenออกไซด์ และหั้งสตetenออกไซด์ที่เจือด้วยไนโอลีบียม ที่ความเข้มข้น 0.25, 0.50 และ 1.00 wt%

ในการวิเคราะห์ที่พบรูปพิกของอลูมินา ( $\text{Al}_2\text{O}_3$ ) เกิดจากการใช้ฐานรองที่ทำจากอลูมินา และพิกของทอง (Au) เป็นพิกของทองที่ใช้เป็นอิเล็กโทรดบนฐานรอง จึงทำให้ในการวิเคราะห์ พบรูปพิกของอลูมินา ( $\text{Al}_2\text{O}_3$ ) และทอง (Au) ซึ่งจากการวิเคราะห์ไม่พบรูปพิกของในไนโอลีบียม ทั้งนี้อาจเนื่องมาจาก ปริมาณการเจือในไนโอลีบียมที่น้อย จึงไม่สามารถวิเคราะห์ได้โดยเทคนิค XRD ดังนั้น เพื่อให้แน่ใจว่ามีในไนโอลีบียมที่เจืออยู่จริงบนฟิล์มเซ็นเซอร์ จึงนำไปวิเคราะห์ด้วยเทคนิคนี้ๆ ต่อไป

## 2.2 ผลการวิเคราะห์ด้วยกล้องจุลทรรศน์อิเล็กตรอนแบบส่องกราด (Scanning electron microscopy; SEM)

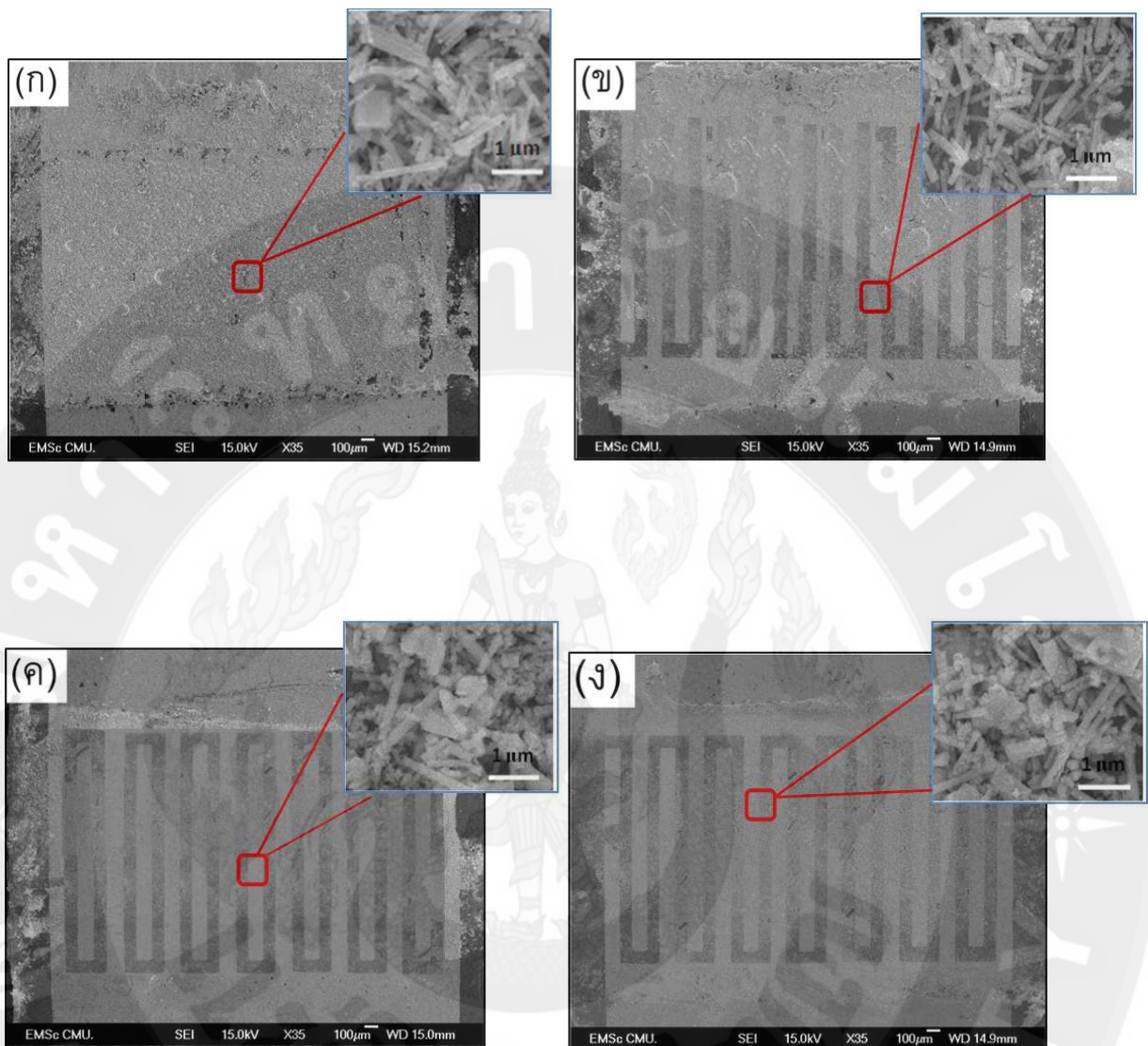
ในงานวิจัยนี้ ได้ศึกษาลักษณะเฉพาะของฟิล์มเซ็นเซอร์ที่เตรียมได้จากการถ่ายจากกล้องจุลทรรศน์อิเล็กตรอนแบบส่องกราด (SEM) เพื่อตรวจสอบลักษณะทางสัณฐานวิทยา ลักษณะการจัดเรียงตัว และการกระจายตัวของอนุภาค ตามรายละเอียดดังต่อไปนี้

### 2.2.1 วิเคราะห์พื้นผิวฟิล์มเซ็นเซอร์

วิเคราะห์ลักษณะทางสัณฐานวิทยาของฟิล์มเซ็นเซอร์ทั้งสเกตช์และทั้งสเกตตอนออกแบบที่ใช้สำหรับการประเมินค่าความเข้มข้นต่างๆ คือ 0.25, 0.50 และ 1.00 wt% ตามลำดับ ที่เตรียมด้วยวิธีการหมุนเวียนบนอิเล็กโทรด ที่ทำขึ้นไฟฟ้าด้วยทอง ซึ่งขนาดโดยรวมของฐานรองรับมีขนาดความกว้าง ความยาว และความสูง ประมาณ  $0.40 \times 0.50 \times 0.04$  cm ตามลำดับ ซึ่งในหัวข้อนี้ได้วิเคราะห์ลักษณะทางสัณฐานวิทยาของพื้นผิวของฟิล์มเซ็นเซอร์ ดังแสดงในภาพที่

27

จากภาพที่ 27 พบว่าลักษณะของพื้นผิวของฟิล์มเซ็นเซอร์ มีการกระจายตัวของฟิล์มที่ก่อนข้างสม่ำเสมอ จะมีลักษณะของอนุภาคที่เกาะกลุ่มกันเป็นก้อนในบางตำแหน่ง เมื่อทำการถ่ายภาพขยายเข้าไปที่บริเวณพื้นผิวของฟิล์ม (ภาพเล็ก) จะเห็นได้ว่าอนุภาคมีลักษณะเกาะกันเป็นกลุ่มก้อนบ้างเล็กน้อย และแสดงให้เห็นเป็นลักษณะรูปร่างเป็นรูปแท่ง

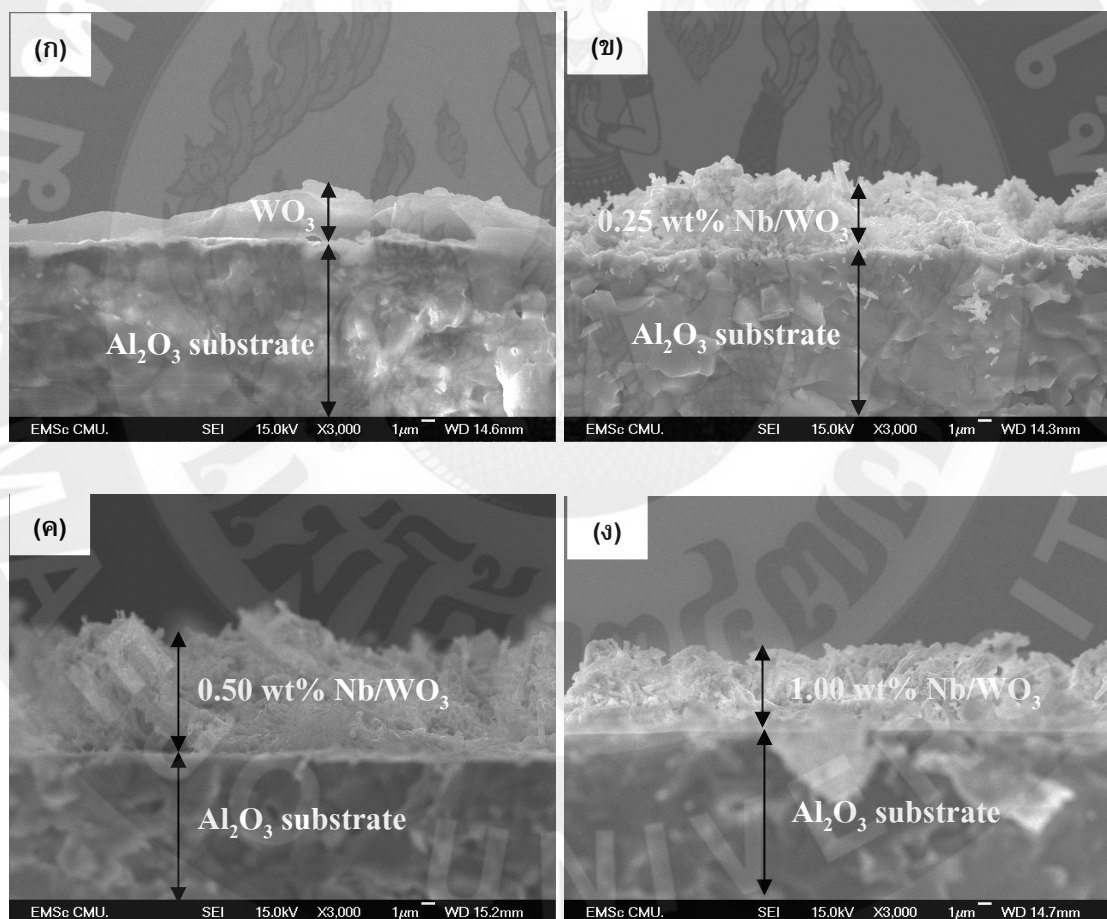


ภาพที่ 27 ภาพถ่ายจากกล้องจุลทรรศน์อิเล็กตรอนแบบส่องกราด (SEM) ภาพ ก-ง แสดงลักษณะของพื้นผิวฟิล์มที่เตรียมจากอนุภาคนาโนทั้งสเตนออกไซด์ และอนุภาคนาโนทั้งสเตนออกไซด์ที่เจือด้วยไนโตรบีนิมที่ความเข้มข้น 0.25, 0.50 และ 1.00 wt% ตามลำดับที่กำลังขยาย 35 เท่า ( $\times 35$ ) และภาพขยายที่บริเวณพื้นผิวของฟิล์ม ที่กำลังขยายภาพ  $\times 5,000$  (ภาพเล็ก)

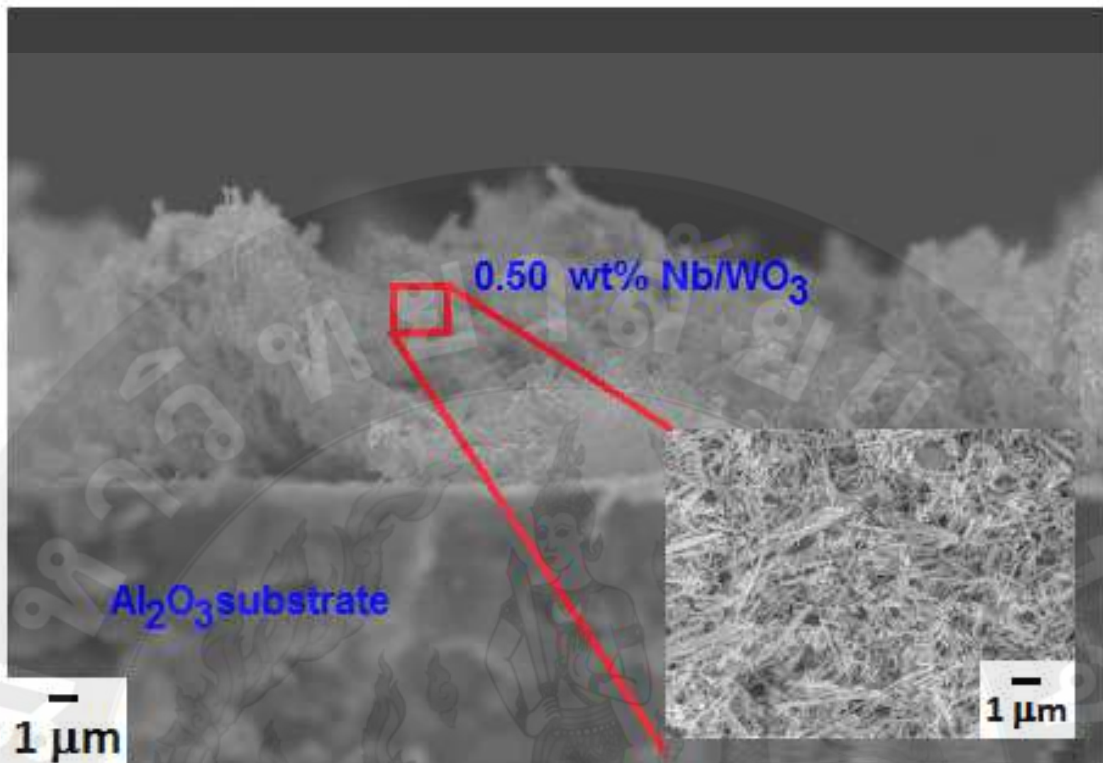
### 2.2.2 วิเคราะห์ความหนาของฟิล์มเซ็นเซอร์

หลังจากที่ได้วิเคราะห์ลักษณะสัมฐานวิทยาของพื้นผิวของฟิล์มเซ็นเซอร์แล้ว จากนั้นวิเคราะห์หาค่าความหนาของชั้นฟิล์มเซ็นเซอร์ ด้วยกล้องจุลทรรศน์อิเล็กตรอนแบบส่องกราด ดังแสดงในภาพที่ 28

จากภาพที่ 28 พบว่าจากภาพถ่ายความหนาด้วยกล้องจุลทรรศน์อิเล็กตรอนแบบส่องกราด (SEM) ของฟิล์มทั้งสตีเคนออกไซด์บริสุทธิ์ และทั้งสตีเคนออกไซด์ที่เจือด้วยไนโตรบีมที่เตรียมด้วยวิธีการหมุนเวียนสารละลายลงไปเป็นจำนวนสองรอบ จะเห็นได้ว่า ฟิล์มทั้งสตีเคนออกไซด์บริสุทธิ์ และฟิล์มทั้งสตีเคนออกไซด์ที่เจือด้วยไนโตรบีมความเข้มข้น 0.25, 0.50 และ 1.00 wt% มีความหนาเฉลี่ยประมาณ  $10 \mu\text{m}$



ภาพที่ 28 ภาพถ่ายจากกล้องจุลทรรศน์อิเล็กตรอนแบบส่องกราด (SEM) แสดงความหนาของฟิล์มเซ็นเซอร์ (ก) ทั้งสตีเคนออกไซด์บริสุทธิ์ (ข-ง) ทั้งสตีเคนออกไซด์ที่เจือด้วยไนโตรบีมที่ความเข้มข้น 0.25, 0.50 และ 1.00 wt% ตามลำดับที่กำลังขยาย ( $\times 3000$ )



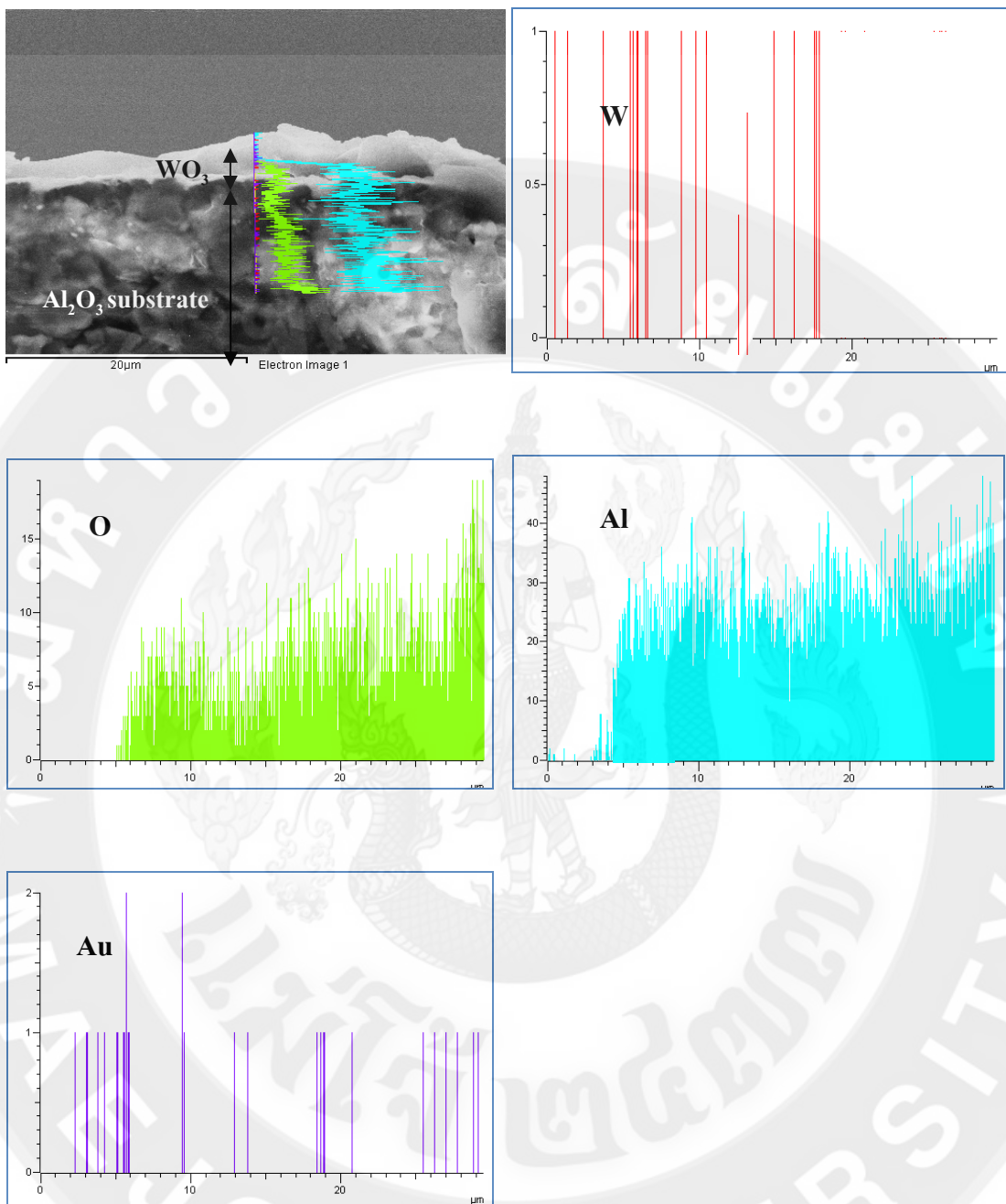
ภาพที่ 29 ภาพถ่ายจากกล้องจุลทรรศน์อิเล็กตรอนแบบส่องกราด (SEM) แสดงความหนาของฟิล์ม เช็นเชอร์ทั้งสตูนออกไซด์ที่เจือด้วยไนโตรบีมที่ความเข้มข้น 0.50 wt% ที่กำลังขยาย ( $\times 3000$ ) ภาพอิเล็กแสเดงภาพขยายลักษณะทางสัณฐานวิทยาของพื้นผิวฟิล์ม

### 2.3 ผลการวิเคราะห์ด้วยเทคนิคการกระจายพลังงานของรังสีเอ็กซ์ (Energy dispersive x-ray spectroscopy; EDS)

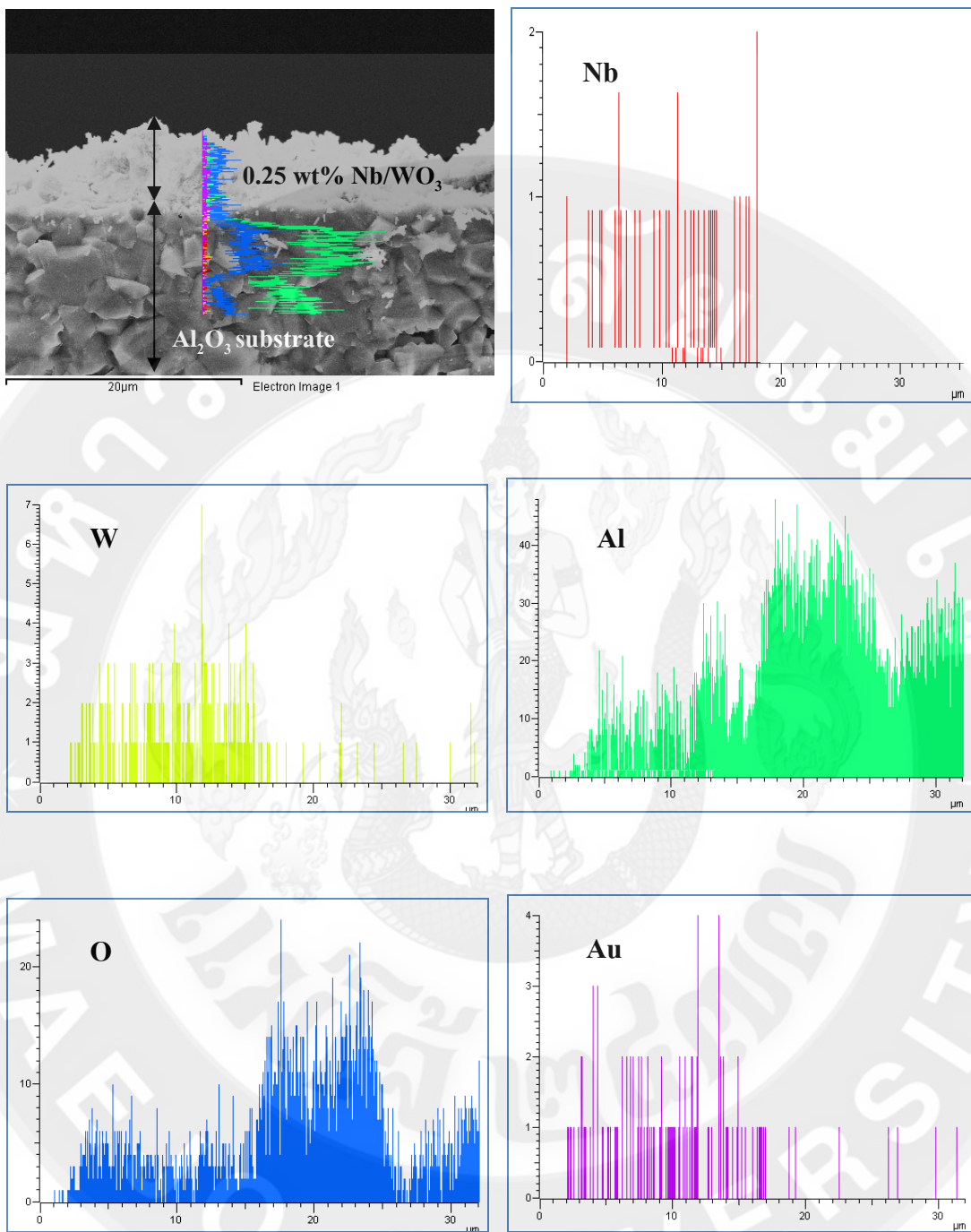
#### 2.3.1 การกระจายพลังงานของรังสีเอ็กซ์แบบเส้น (EDS-line spectrum)

นอกจากการวิเคราะห์พื้นผิว และความหนาของฟิล์มแล้ว กล้องจุลทรรศน์อิเล็กตรอนแบบส่องกราด (SEM) ยังสามารถวิเคราะห์องค์ประกอบของชาตุ ในแนวภาพตัดขวางโดยใช้เทคนิคการกระจายพลังงานของรังสีเอ็กซ์ชนิดแบบเส้น (EDS-line spectrum) ซึ่งแสดงดังภาพที่ 30 ถึง 33

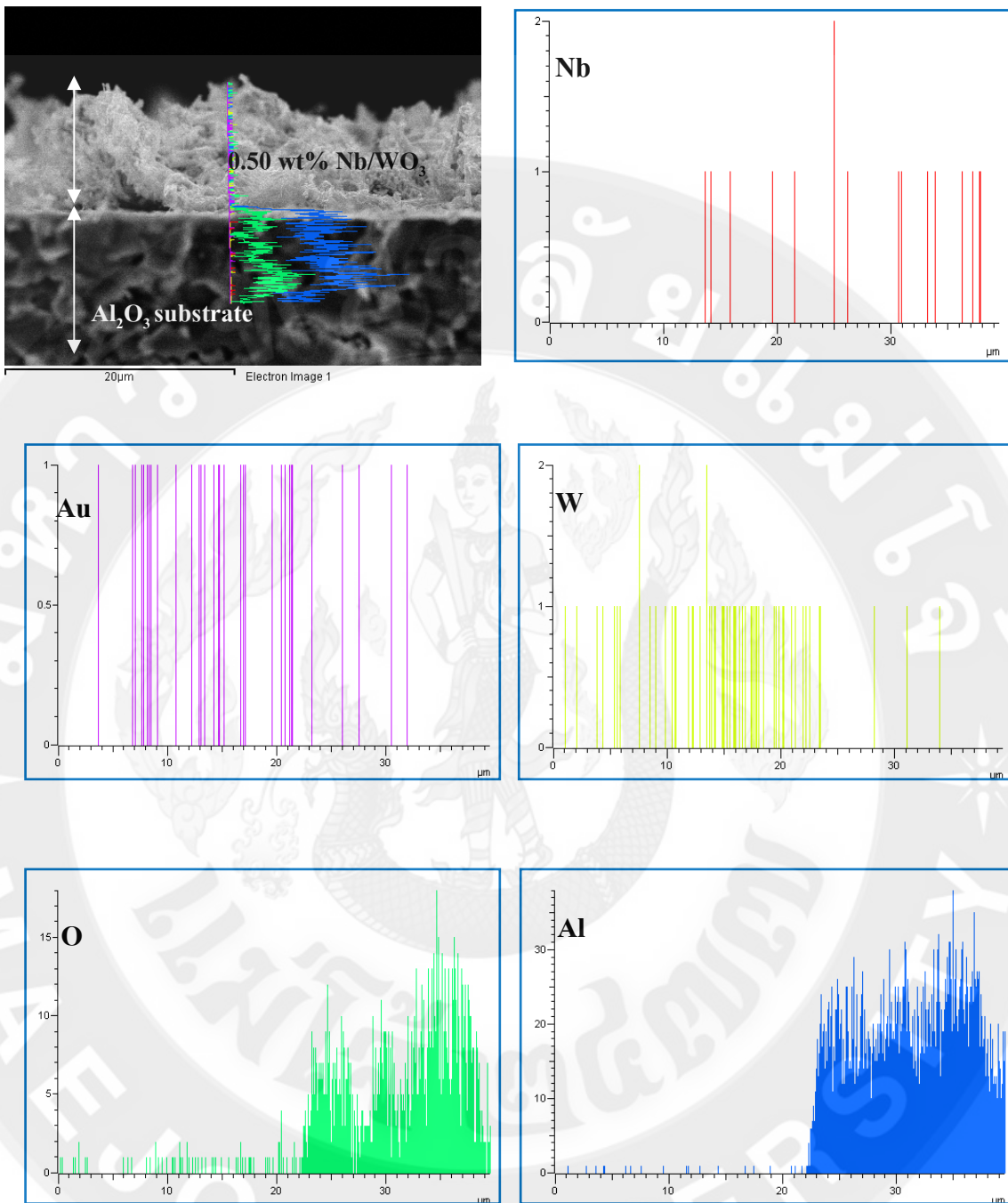
จากการวิเคราะห์องค์ประกอบฟิล์มทั้งสตูนออกไซด์ (ภาพที่ 30) และฟิล์มทั้งสตูนออกไซด์ที่เจือด้วยไนโตรบีมที่ความเข้มข้น 0.25, 0.50 และ 1.00 wt% (ภาพที่ 30-33) พบว่ามีองค์ประกอบของชาตุ W, O, Al, Au และ Nb ซึ่ง Au และ Al ที่ปรากฏมาจากการรองอุณหภูมาน้ำที่ทำขึ้นไฟฟ้าด้วยทอง



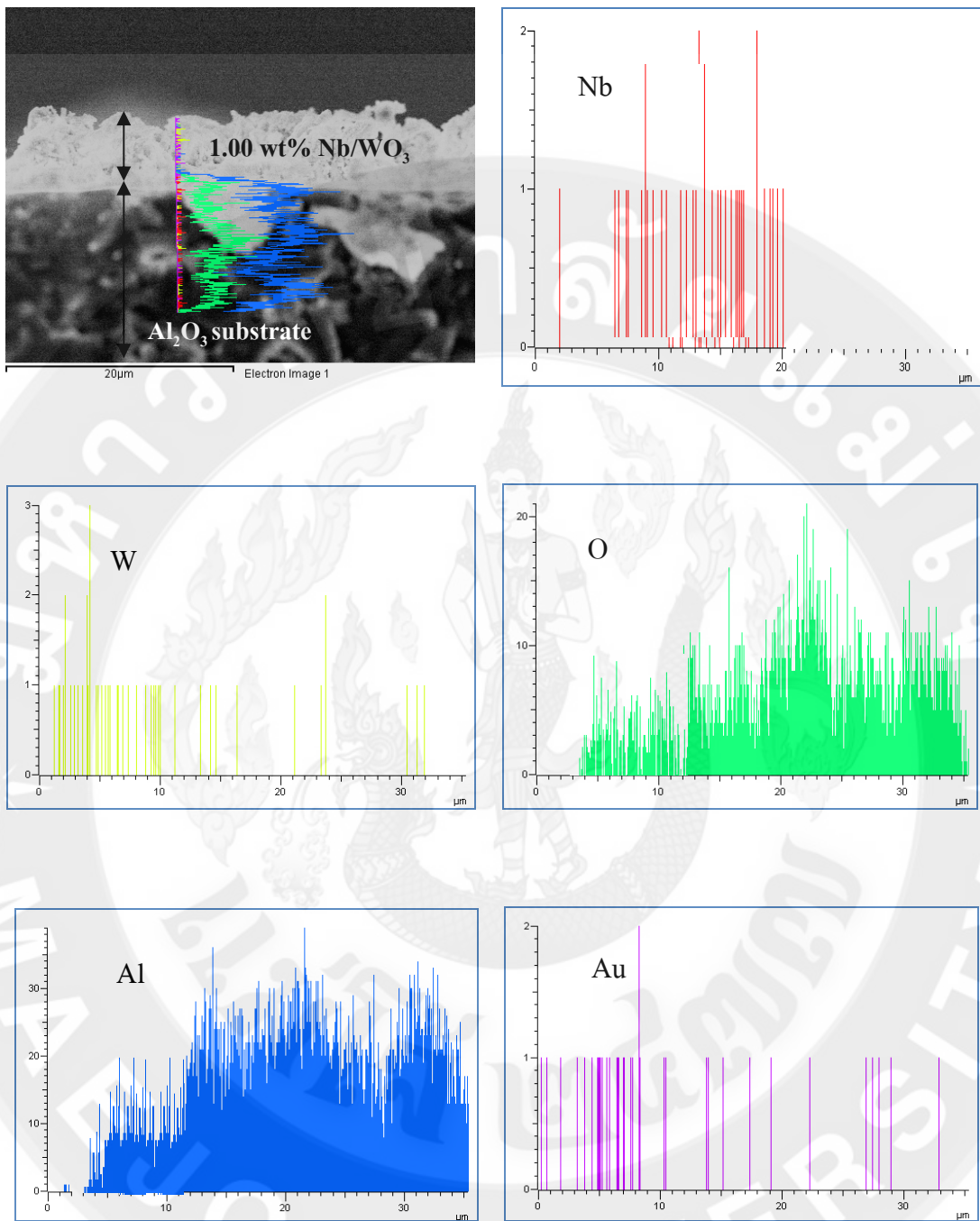
ภาพที่ 30 การกระจายพลังงานของรังสีเอ็กซ์แบบเส้น (EDS-line spectrum) ของฟิล์มทั้งสเตนออกไซด์บอร์สูทชี



ภาพที่ 31 การกระจายพลังงานของรังสีเอ็กซ์แบบเส้น (EDS-line spectrum) ของฟิล์มทั้งสเตนออกไซด์ที่เจือด้วยไนโตรบียม 0.25 wt%



ภาพที่ 32 การกระจายพลังงานของรังสีเอ็กซ์แบบเส้น (EDS-line spectrum) ของฟิล์มทั้งสตุเดน  
ออกไซด์ที่จืดด้วยไนโตรบีียม 0.50 wt%



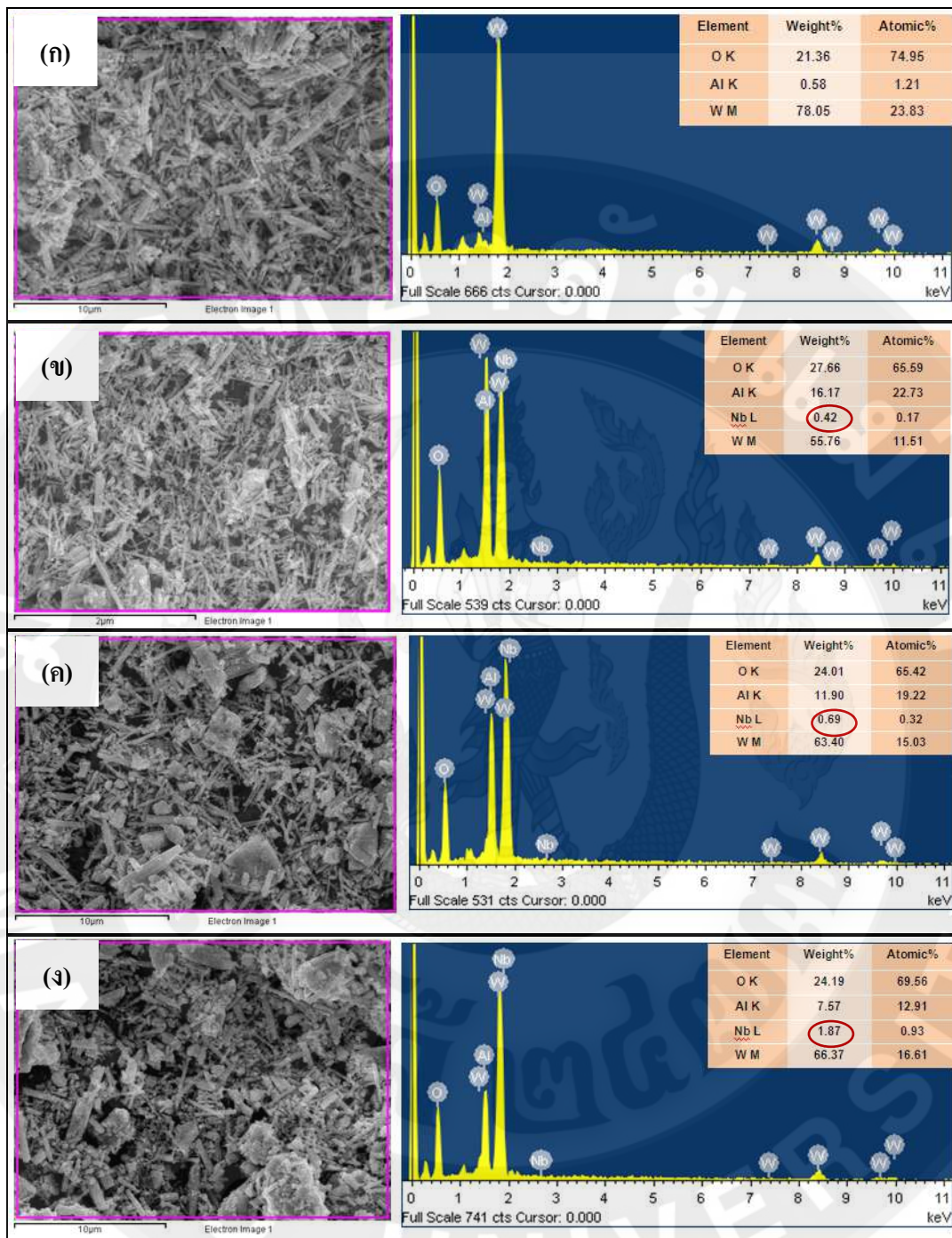
ภาพที่ 33 การกระจายพลังงานของรังสีเอ็กซ์แบบเส้น (EDS-line spectrum) ของฟิล์มทั้งสเกต  
ออกไซด์ที่เจือด้วยไนโตรบียม 1.00 wt%

จากภาพที่ 30-33 พบชาตุหังสเตน (Tungstane), ไนโอลีบียม (Niobium), ออกซิเจน (Oxygen), อลูมิเนียม (Alumininum) และ ทอง (Gold) และยังพบปริมาณของอลูมิเนียมมากเป็นพิเศษ สาเหตุมาจากการใช้รูปทรงชนิดอลูมินา และทองที่เห็นเกิดจากอิเล็กโทรดที่ทำข้าวไฟฟ้าด้วยทองบนฐานรอง และที่พับอลูมิเนียม และทองที่เกิดบนบริเวณชั้นของฟิล์ม เนื่องมาจากในชั้นตอนการหักฟิล์ม ทำให้แผ่นฟิล์มไม่สม่ำเสมอ ผลการวิเคราะห์จึงเกิดความคลาดเคลื่อน การหลุดของฟิล์มที่เคลื่อน และมุมของคงของกล้องอาจไม่ใช่ 90 องศา ทำให้ในการวิเคราะห์ชาตุออกมาทำให้พบชาตุอลูมินา และทองบนบริเวณชั้นของฟิล์มด้วย

### 2.3.2 การกระจายพลังงานของรังสีเอกซ์แบบสเปกตรัม (EDS-spectrum mode)

เมื่อทำการวิเคราะห์ลักษณะ โครงสร้างทางกายภาพของฟิล์มเซ็นเซอร์แล้ว ได้ศึกษาวิเคราะห์องค์ประกอบทางเคมีด้วยเทคนิคการกระจายพลังงานของรังสีเอกซ์แบบสเปกตรัม (EDS-line spectrum mode) การวิเคราะห์ในส่วนนี้ เป็นการวิเคราะห์ถึงองค์ประกอบชาตุของแผ่นฟิล์มที่เตรียมด้วยวิธีการหดสารลงบนฐานรองชนิดอลูมินา ซึ่งชิ้นงานที่ใช้คือ ฟิล์มหังสเตนออกไซด์ และฟิล์มหังสเตโนออกไซด์ ที่เจือด้วยไนโอลีบียม เพื่อยืนยันว่าฟิล์มที่ได้มีหังสเตโนออกไซด์ อยู่จริง และฟิล์มเซ็นเซอร์ที่เจือด้วยไนโอลีบียม มีไนโอลีบียมเจืออยู่จริง ซึ่งสรุปผลการวิเคราะห์องค์ประกอบทางเคมีของโครงสร้างสารที่ทดลองดังภาพที่ 34

จากการวิเคราะห์พบว่า เมื่ออิเล็กตรอนพลังงานสูงเคลื่อนที่เข้าชานวงโครงสร้าง พลังงานต่างๆ เกิดการถ่ายโอนพลังงานแก่อิเล็กตรอน ทำให้อิเล็กตรอนมีพลังงานสูงขึ้นมากกว่าค่า พลังงานยึดเหนี่ยวของชั้นโครง ทำให้อิเล็กตรอนหลุดออกไป และอิเล็กตรอนในวงโครงสร้างไปจะลดระดับพลังงานลงมาแทนที่ ในการลดระดับพลังงานนี้จะเกิดการปล่อยพลังงานส่วนเกินออกมาย ในรูปรังสีเอกซ์ ซึ่งพลังงานส่วนเกินนี้จะมีพลังงานเท่ากับ ความต่างของระดับชั้นพลังงานยึดเหนี่ยว เนพะชั้นโครง ซึ่งมีความเฉพาะในแต่ละชาตุนั้นๆ และปรากฏชาตุต่างๆ ให้เห็นในการวิเคราะห์



ภาพที่ 34 ภาพถ่ายจากกล้องจุลทรรศน์อิเล็กตรอนแบบส่องกราด (SEM) และการวิเคราะห์การกระจายพลังงานของรังสีเอ็กซ์ (EDS) (ก) ฟิล์มทั้งสเตนออกไซด์ (ข-ง) ฟิล์มทั้งสเตนออกไซด์ที่เจือด้วยไนโตรบียมที่ความเข้มข้น 0.25, 0.50 และ 1.00 wt%

จากภาพที่ 34 เป็นผลการวิเคราะห์ห้องคปประกอบทางเคมี ของฟิล์มหั้งสแตนออกไซด์บริสุทธิ์ และฟิล์มหั้งสแตนออกไซด์ที่เจือด้วยไนโตรบีียม แสดงถึงการกระจายตัวของสเปกตรัมที่เกี่ยวข้องกับชาตุหั้งหมุดที่ประกอบอยู่บนฟิล์มตัวอย่าง ใน การวิเคราะห์ฟิล์มหั้ง 4 ตัวอย่าง พบว่ามีองค์ประกอบของชาตุทุกชนิดที่ประกอบอยู่บนฟิล์มตัวอย่าง คือ หั้งสแตน (Tungstane; W), ออกซิเจน (Oxygen; O) และ ไนโตรบีียม (Niobium; Nb) อยู่บนฟิล์มตัวอย่าง ซึ่งจะเห็นได้ว่าเปอร์เซ็นต์โดยน้ำหนักของไนโตรบีียม จะเพิ่มขึ้นตามความเข้มข้นของไนโตรบีียมที่เจือลงไปในหั้งสแตนออกไซด์ ดังนั้น สรุปได้ว่าฟิล์มเซ็นเซอร์หั้งสแตนออกไซด์ และหั้งสแตนออกไซด์ที่เจือด้วยไนโตรบีียมนั้น มีหั้งสแตน (Tungstane; W), ออกซิเจน (Oxygen; O) และไนโตรบีียม (Niobium; Nb) อยู่จริง

### 3. ผลการศึกษาความสามารถในการตรวจจับแก๊ส และความเฉพาะเจาะจงต่อแก๊ส ของฟิล์มเซ็นเซอร์ของอนุภาคนanoหั้งสแตนออกไซด์ที่เตรียมได้

ภายหลังจากการเตรียมฟิล์มหั้งสแตนออกไซด์บริสุทธิ์ และฟิล์มหั้งสแตนออกไซด์ที่เจือด้วยไนโตรบีียม ได้ทดสอบความสามารถในการตรวจจับแก๊สชั้นเฟอร์ไ/doออกไซด์ ( $\text{SO}_2$ ), ไฮโดรเจนซัลไฟด์ ( $\text{H}_2\text{S}$ ), แก๊สไฮโดรเจน ( $\text{H}_2$ ), แก๊สไนโตรเจนไ/doออกไซด์ ( $\text{NO}_2$ ), แก๊สแอมโมเนีย ( $\text{NH}_3$ ) และ ไอล่องเอทานอล ( $\text{C}_2\text{H}_5\text{OH}$ ) ที่อุณหภูมิการทำงานของตัวตรวจจับแก๊ส 200, 250, 300 และ  $350^\circ\text{C}$  ได้ผลการทดสอบดังนี้

#### 3.1 สมบัติของฟิล์มหั้งสแตนออกไซด์ และฟิล์มหั้งสแตนออกไซด์ที่เจือด้วยไนโตรบีียม ต่อ แก๊สชั้นเฟอร์ไ/doออกไซด์ ( $\text{SO}_2$ )

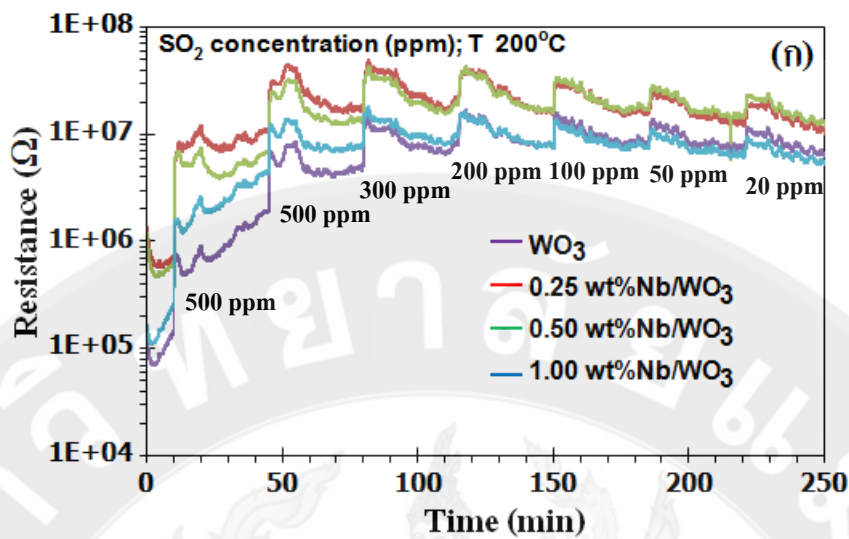
การตอบสนองต่อแก๊สชั้นเฟอร์ไ/doออกไซด์ ของฟิล์มเซ็นเซอร์หั้งสแตนออกไซด์บริสุทธิ์ และหั้งสแตนออกไซด์ที่เจือด้วยไนโตรบีียม ที่ความเข้มข้น 0.25, 0.50 และ 1.00 wt% ที่อยู่ในช่วงความเข้มข้นตั้งแต่ 20-500 ppm ภายใต้อุณหภูมิในการทำงานของเซ็นเซอร์ ตั้งแต่  $250-350^\circ\text{C}$  ซึ่งตามทฤษฎีเมื่อแก๊สชั้นเฟอร์ไ/doออกไซด์ เข้าทำปฏิกิริยากับฟิล์มเซ็นเซอร์จะส่งผลให้ความด้านทานเพิ่มขึ้น เนื่องจากฟิล์มเซ็นเซอร์หั้งสแตนออกไซด์บริสุทธิ์ และหั้งสแตนออกไซด์ที่เจือด้วยไนโตรบีียมมีคุณสมบัติเป็นสารกั่งตัวนำชนิด  $n$ -type และแก๊สชั้นเฟอร์ไ/doออกไซด์ ที่เป็นแก๊สออกซิไดส์

การตอบสนองต่อแก๊สชั้นเฟอร์ไ/doออกไซด์ พิจารณาจากความด้านทานที่เปลี่ยนไป เมื่อมีแก๊สชั้นเฟอร์ไ/doออกไซด์ เข้าไปทำปฏิกิริยา แล้วทำให้เกิดการเปลี่ยนแปลงคุณสมบัติทางด้านไฟฟ้า ดังภาพที่ 35-38 พบว่าตัวตรวจจับแก๊สมีการตอบสนองต่อแก๊สชั้นเฟอร์ไ/doออกไซด์ได้ดี พิจารณาจากการเปลี่ยนแปลงค่าความด้านทาน และตัวตรวจจับแก๊สค่อนข้างมีความเสถียร สามารถกลับคืน

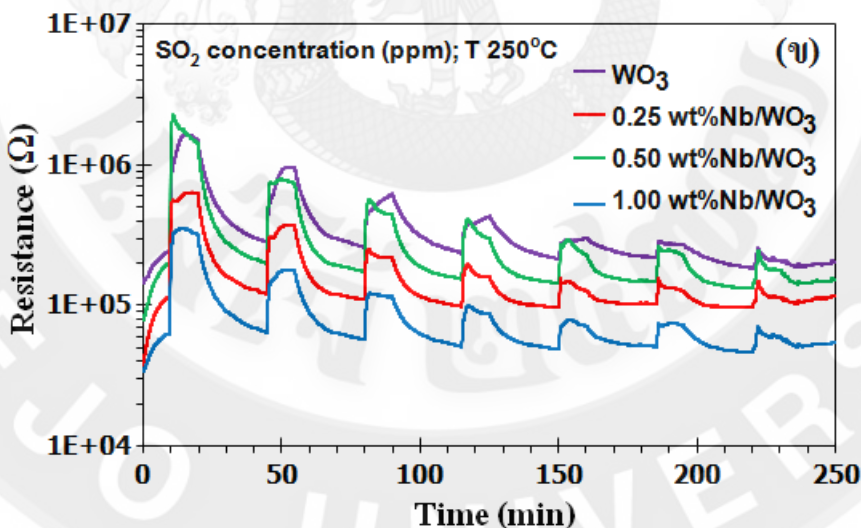
สู่สภาพเดิม ได้ค่อนข้างคงตัวที่ตำแหน่งความด้านทานมาตรฐานเริ่มต้น นอกจากนี้ยังพบว่าแนวโน้มของการเปลี่ยนแปลงค่าความด้านทานเป็นไปตามความเข้มข้นของแก๊สซันเฟอร์ไอกอไชด์ คือ การเปลี่ยนแปลงความด้านทานของฟิล์มเซ็นเซอร์ จะมีค่าลดลงเมื่อความเข้มข้นของแก๊สซันเฟอร์ไอกอไชด์ลดลง และเมื่อเปรียบเทียบระหว่างฟิล์มเซ็นเซอร์ทั้งสูตรออกไชด์ และฟิล์มเซ็นเซอร์ทั้งสูตรออกไชด์ที่เจือด้วยในไอโอดีน พบว่าฟิล์มเซ็นเซอร์ทั้งสูตรออกไชด์ที่เจือด้วยในไอโอดีน มีการตอบสนองต่อแก๊สซันเฟอร์ไอกอไชด์ได้ดีกว่าทั้งสูตรออกไชด์ และพบว่าทั้งสูตรออกไชด์ที่เจือด้วยในไอโอดีน 0.50 wt% ให้ค่าการตอบสนองต่อแก๊สซันเฟอร์ไอกอไชด์ได้ดีที่สุด ซึ่งสรุปได้ว่าสามารถพัฒนาฟิล์มทั้งสูตรออกไชด์ให้มีประสิทธิภาพในการตรวจจับแก๊สซันเฟอร์ไอกอไชด์ได้ดีขึ้น โดยการเจือด้วยในไอโอดีนในปริมาณที่เหมาะสม

### 3.2.1 ผลของอุณหภูมิต่อการทำงานของฟิล์มเซ็นเซอร์ทั้งสูตรออกไชด์ และฟิล์มเซ็นเซอร์ทั้งสูตรออกไชด์ที่เจือด้วยในไอโอดีน ต่อแก๊สซันเฟอร์ไอกอไชด์ ( $\text{SO}_2$ )

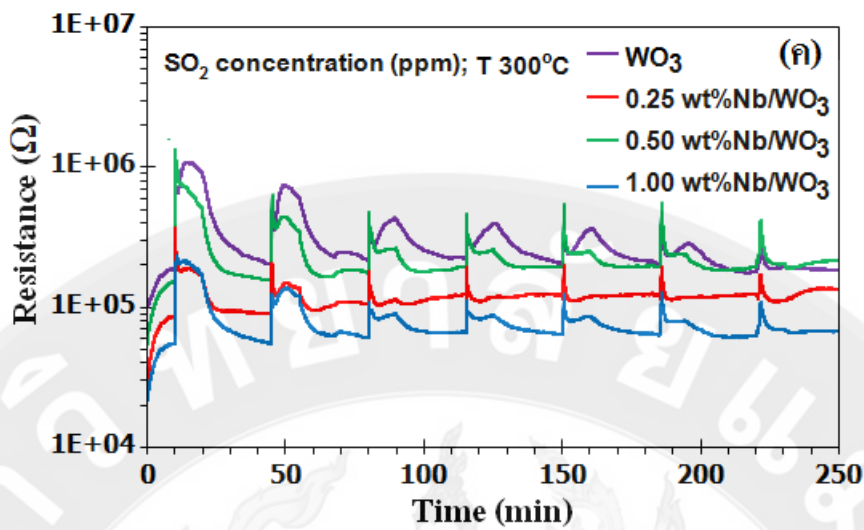
ศึกษาการตอบสนองต่อแก๊สซันเฟอร์ไอกอไชด์ ของฟิล์มเซ็นเซอร์ทั้งสูตรออกไชด์บริสุทธิ์ และทั้งสูตรออกไชด์ที่เจือด้วยในไอโอดีน ที่ความเข้มข้นของในไอโอดีนที่เจือลงไป 0.25, 0.50 และ 1.00 wt% ในช่วงความเข้มข้นของแก๊สซันเฟอร์ไอกอไชด์ ตั้งแต่ 20-500 ppm โดยการเปลี่ยนแปลงอุณหภูมิในการทำงานของเซ็นเซอร์ ดังนี้คือ 200, 250, 300 และ 350°C เพื่อศึกษาอุณหภูมิที่เหมาะสมในการตรวจจับแก๊สซันเฟอร์ไอกอไชด์ พบว่าค่าการตอบสนองของตัวตรวจจับแก๊สขึ้นอยู่กับอุณหภูมิและการทำงาน ซึ่งอุณหภูมิการทำงานของตัวตรวจจับแก๊สส่งผลต่อการเปลี่ยนแปลงอัตราการดูดซับและแตกเปลี่ยนออกซิเจน ไอโอนบันผิวของฟิล์มเซ็นเซอร์ ซึ่งพบว่าฟิล์มทั้งสูตรออกไชด์ที่เจือด้วยในไอโอดีน 0.50 wt% มีการตอบสนองต่อแก๊สซันเฟอร์ไอกอไชด์ได้ดีที่สุดที่อุณหภูมิในการทำงานของตัวตรวจจับแก๊ส 250°C โดยมีค่าการตอบสนองต่อแก๊สซันเฟอร์ไอกอไชด์ ~ 10 ดังแสดงในภาพที่ 35-39



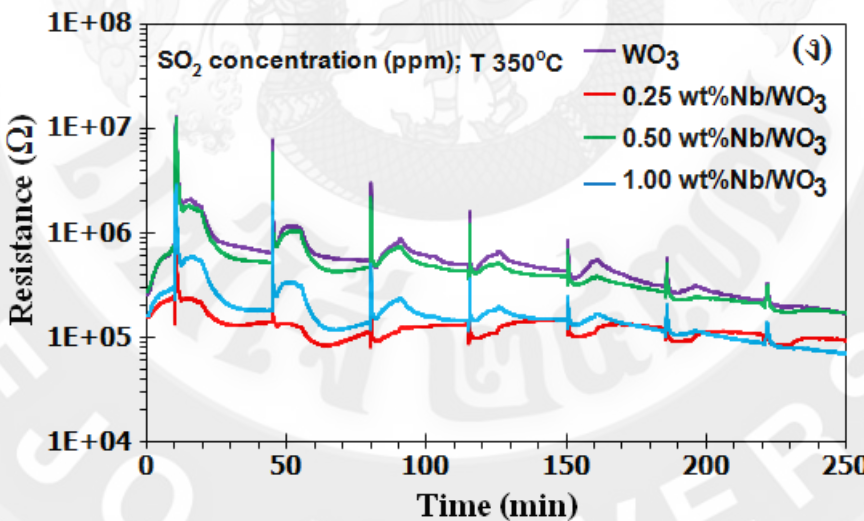
ภาพที่ 35 การเปลี่ยนแปลงของค่าความต้านทานเทียบกับเวลา ในการตอบสนองต่อแก๊สซัมเพอร์ ไคออกไซด์ ของฟิล์มหั่งสเตนออกไซด์ และหั่งสเตนออกไซด์ที่เจือด้วยไนโตรบียม ที่ความเข้มข้นของแก๊ส 20-500 ppm ณ อุณหภูมิในการทำงานของตัวตรวจจับแก๊ส  $200^{\circ}\text{C}$



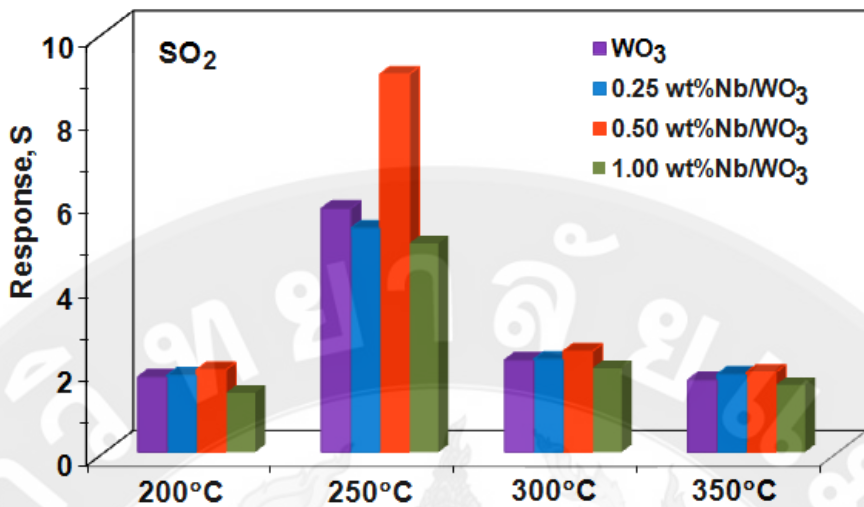
ภาพที่ 36 การเปลี่ยนแปลงของค่าความต้านทานเทียบกับเวลา ในการตอบสนองต่อแก๊สซัมเพอร์ ไคออกไซด์ ของฟิล์มหั่งสเตนออกไซด์ และหั่งสเตนออกไซด์ที่เจือด้วยไนโตรบียม ที่ความเข้มข้นของแก๊ส 20-500 ppm ณ อุณหภูมิในการทำงานของตัวตรวจจับแก๊ส  $250^{\circ}\text{C}$



ภาพที่ 37 การเปลี่ยนแปลงของค่าความต้านทานเทียบกับเวลา ในการตอบสนองต่อแก๊สซัมเพอร์ไคดออกไซด์ ของฟิล์มหังสแตนออกไซด์ และหังสแตนออกไซด์ที่เจือด้วยไนโตรบียม ที่ความเข้มข้นของแก๊ส 20-500 ppm ณ อุณหภูมิในการทำงานของตัวตรวจจับแก๊ส  $300^{\circ}\text{C}$



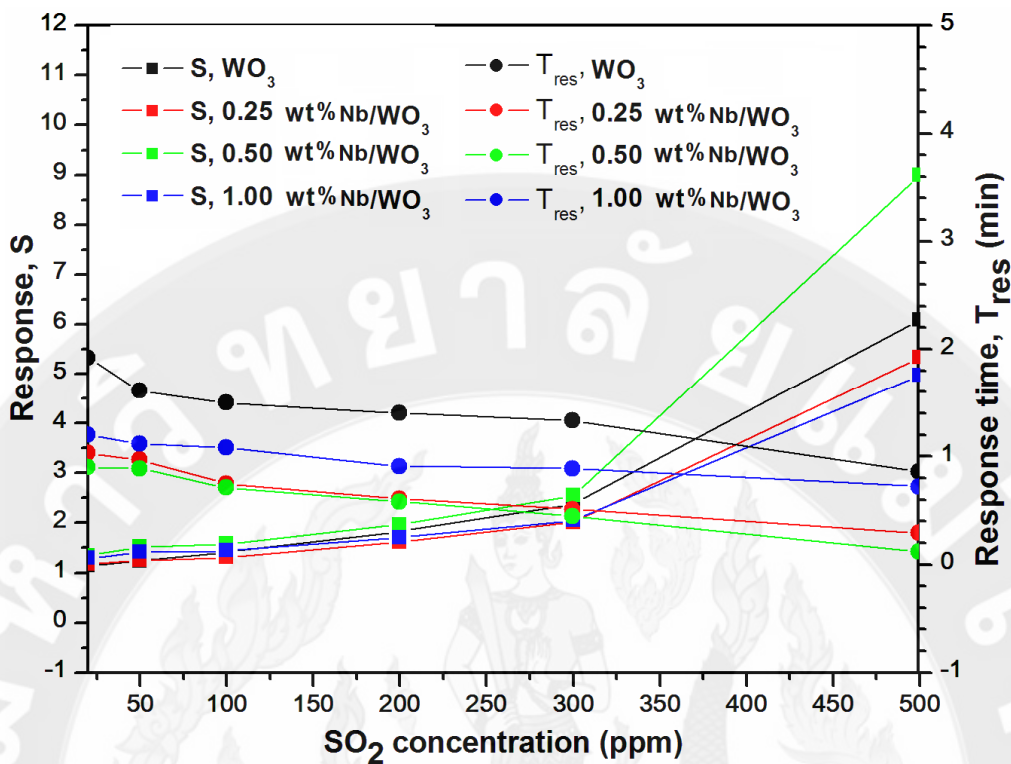
ภาพที่ 38 การเปลี่ยนแปลงของค่าความต้านทานเทียบกับเวลา ในการตอบสนองต่อแก๊สซัมเพอร์ไคดออกไซด์ ของฟิล์มหังสแตนออกไซด์ และหังสแตนออกไซด์ที่เจือด้วยไนโตรบียม ที่ความเข้มข้นของแก๊ส 20-500 ppm ณ อุณหภูมิในการทำงานของตัวตรวจจับแก๊ส  $350^{\circ}\text{C}$



ภาพที่ 39 กราฟเปรียบเทียบอุณหภูมิในการทำงานของตัวตรวจจับแก๊สซันเฟอร์ไ/do окисилайзерที่ อุณหภูมิ 200-350°C

### 3.2.2 ค่าการตอบสนอง และเวลาในการตอบสนองของฟิล์มเซ็นเซอร์ทั้งสแตนออกไซด์ และฟิล์มเซ็นเซอร์ทั้งสแตนออกไซด์ที่เจือด้วยไนโตรบียม ต่อแก๊สซันเฟอร์ไ/do окисилайзер (SO<sub>2</sub>)

จากภาพ 37 แสดงผลของการทำงานของตัวตรวจจับแก๊สแก๊สซันเฟอร์ไ/do окисилайзер ได้ที่อุณหภูมิ 250°C ขณะการตรวจจับแก๊สซันเฟอร์ไ/do окисилайзерได้ที่ความเข้มข้น 10-500 ppm ค่า การตอบสนองของฟิล์มเซ็นเซอร์ทั้งสแตนออกไซด์ที่เจือด้วยไนโตรบียม 0.50 wt% มีค่าการ ตอบสนองต่อแก๊สซันเฟอร์ไ/do окисилайзерได้ดีที่สุด โดยมีค่าการตอบสนอง ~10 ที่ความเข้มข้นของ แก๊สซันเฟอร์ไ/do окисилайзер 500 ppm และใช้เวลาในการตอบสนองที่รวดเร็ว ~ 6 s



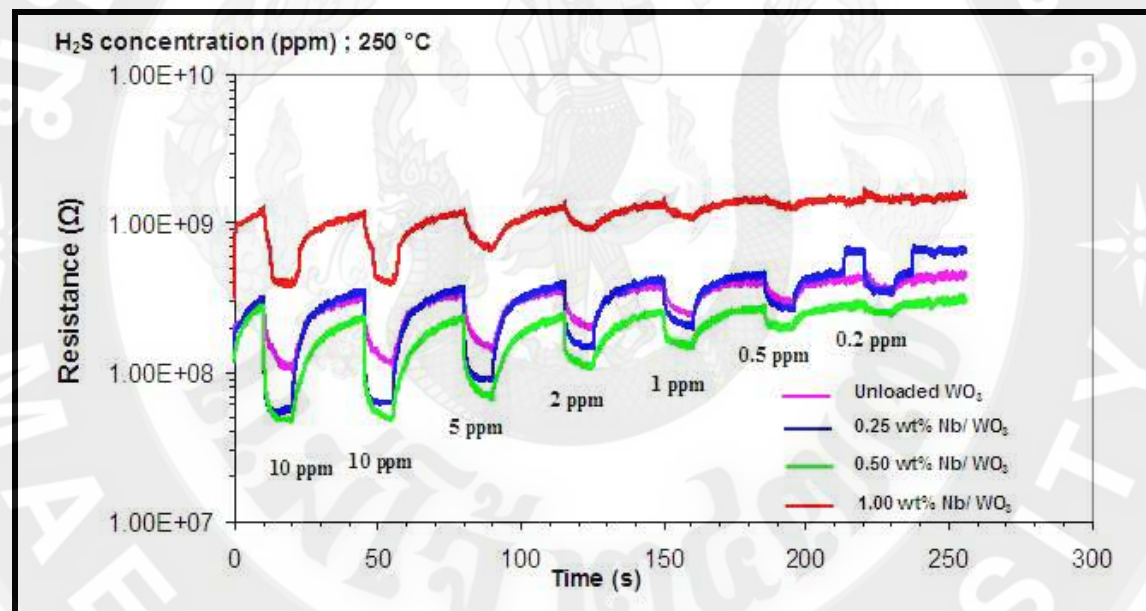
ภาพที่ 40 กราฟแสดงค่าการตอบสนอง และเวลาในการตอบสนองของฟิล์มเชือร์ทั้งสตeten ออกไซด์ และฟิล์มเชือร์ทั้งสตeten ออกไซด์ที่เจือด้วยไนโตรบียม ต่อแก๊สชันเฟอร์ไกออกไซด์ ( $\text{SO}_2$ ) ณ อุณหภูมิ  $250^\circ\text{C}$

### 3.2 สมบัติของฟิล์มทั้งสตeten ออกไซด์ และฟิล์มทั้งสตeten ออกไซด์ที่เจือด้วยไนโตรบียมต่อแก๊สไฮdroเจนซัลไฟด์ ( $\text{H}_2\text{S}$ )

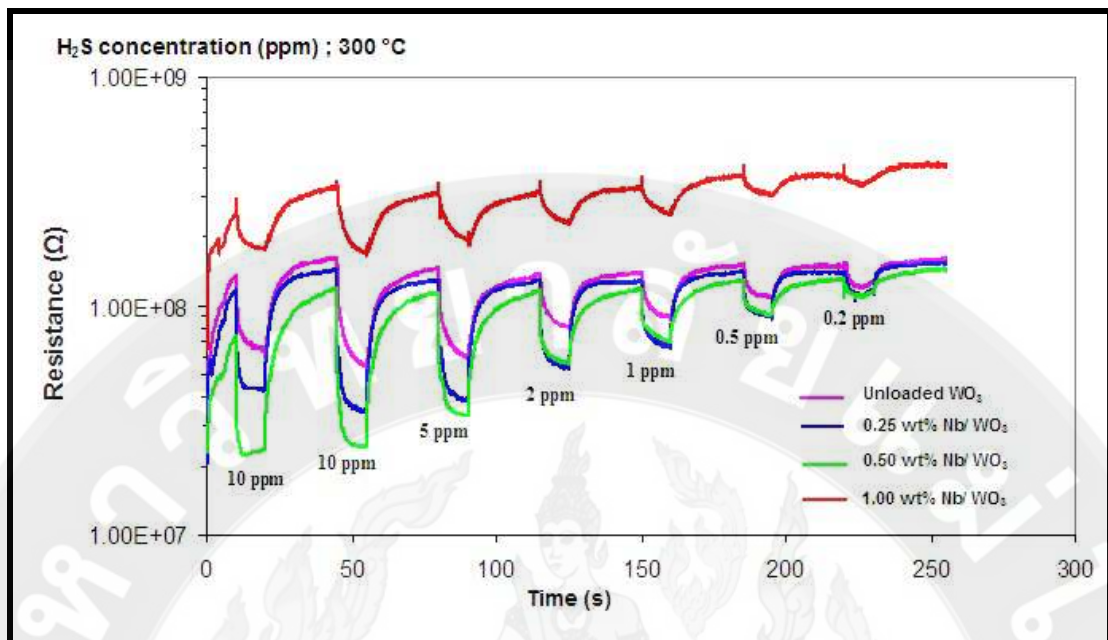
การตอบสนองต่อแก๊สไฮdroเจนซัลไฟด์ ของฟิล์มเชือร์ทั้งสตeten ออกไซด์ และฟิล์มเชือร์ทั้งสตeten ออกไซด์ที่เจือด้วยไนโตรบียม ที่ความเข้มข้น  $0.25$ ,  $0.50$  และ  $1.00 \text{ wt\%}$  ที่อยู่ในช่วงความเข้มข้นของแก๊สไฮdroเจนซัลไฟด์ ตั้งแต่  $0.2-10 \text{ ppm}$  ภายใต้อุณหภูมินการทำงานของฟิล์มเชือร์ ตั้งแต่  $250-350^\circ\text{C}$  ซึ่งตามทฤษฎีเมื่อแก๊สไฮdroเจนซัลไฟด์เข้าทำปฏิกิริยา กับ ฟิล์มเชือร์จะส่งผลให้ความด้านทานลดลง เนื่องจากฟิล์มเชือร์ทั้งสตeten ออกไซด์ และฟิล์มเชือร์ทั้งสตeten ออกไซด์ที่เจือด้วยไนโตรบียม มีสมบัติเป็นสารกึ่งตัวนำชนิด  $n$ -type และแก๊สไฮdroเจนซัลไฟด์ที่เป็นแก๊สรีดิวส์

การตอบสนองต่อแก๊สไฮdroเจนซัลไฟด์ พิจารณาจากความด้านทานที่เปลี่ยนไป เมื่อมีแก๊สไฮdroเจนซัลไฟด์เข้าไปทำปฏิกิริยา แล้วทำให้เกิดการเปลี่ยนแปลงสมบัติทางไฟฟ้า และพบว่า ฟิล์มเชือร์มีการตอบสนองต่อแก๊สไฮdroเจนซัลไฟด์ได้ พิจารณาจากการเปลี่ยนแปลงค่าความ

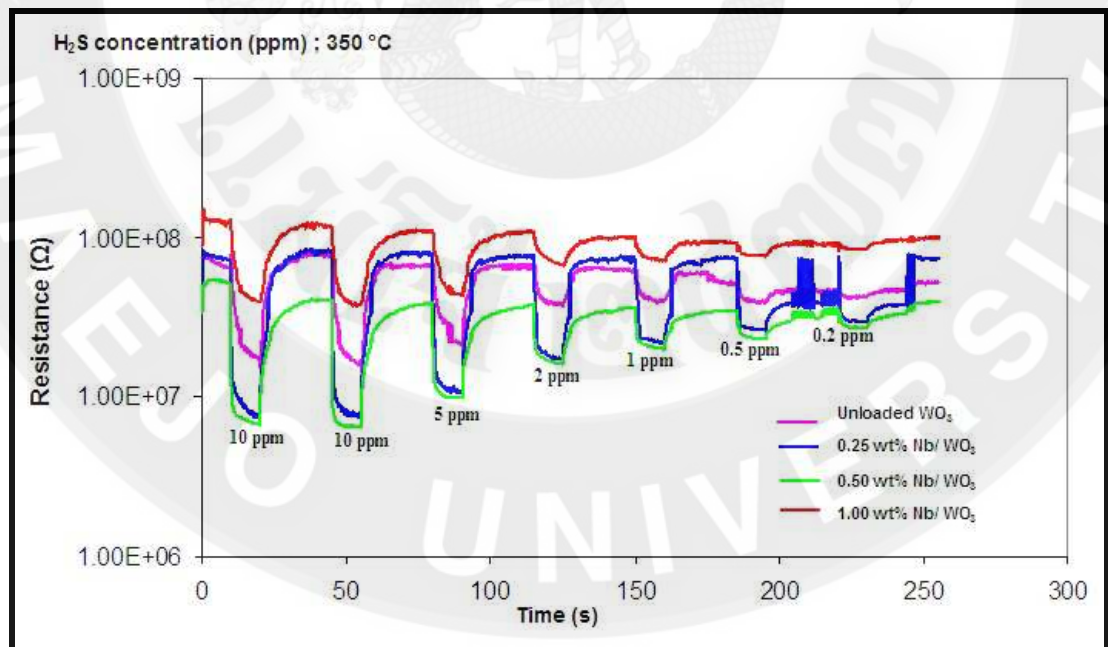
ต้านทาน และฟิล์มเช็นเชอร์ค่อนข้างเสถียร สามารถกลับคืนสู่สภาพเดิมได้ค่อนข้างคงตัวที่ตำแหน่งความต้านทานมาตรฐานเริ่มต้น นอกจากนี้ยังพบว่าแนวโน้มของการเปลี่ยนแปลงค่าความต้านทานเป็นไปตามความเข้มข้นของแก๊สไฮโดรเจนชัลไฟฟ์ คือการเปลี่ยนแปลงค่าความต้านทานของฟิล์มเช็นเชอร์ มีค่าลดลงเมื่อความเข้มข้นของแก๊สไฮโดรเจนชัลไฟฟ์ลดลง และเมื่อเปรียบเทียบระหว่างฟิล์มเช็นเชอร์ทั้งสetenออกไซด์ และฟิล์มเช็นเชอร์ทั้งสetenออกไซด์ที่เจือด้วยไนโตรบียม พบว่าฟิล์มเช็นเชอร์ทั้งสetenออกไซด์ที่เจือด้วยไนโตรบียม มีการตอบสนองต่อแก๊สไฮโดรเจนชัลไฟฟ์ได้ดีกว่าฟิล์มเช็นเชอร์ทั้งสetenออกไซด์ และพบว่าฟิล์มเช็นเชอร์ทั้งสetenออกไซด์ที่เจือด้วยไนโตรบียมปริมาณ 0.25 wt% ให้ค่าการตอบสนองต่อแก๊สไฮโดรเจนชัลไฟฟ์ได้ดีที่สุด ซึ่งสรุปได้ว่าสามารถพัฒนาฟิล์มฟิล์มเช็นเชอร์ทั้งสetenออกไซด์ให้มีประสิทธิภาพในการตรวจจับแก๊สได้ดีขึ้น โดยการเจือด้วยไนโตรบียมในปริมาณที่เหมาะสม



ภาพที่ 41 การเปลี่ยนแปลงของค่าความต้านทานในการตอบสนองต่อแก๊สไฮโดรเจนชัลไฟฟ์ ของฟิล์มทั้งสetenออกไซด์ และฟิล์มทั้งสetenออกไซด์ที่เจือด้วยไนโตรบียม ที่ความเข้มข้นของแก๊สไฮโดรเจนชัลไฟฟ์ 0.2-10 ppm ขณะอุณหภูมิในการทำงานของฟิล์มเช็นเชอร์ 250°C

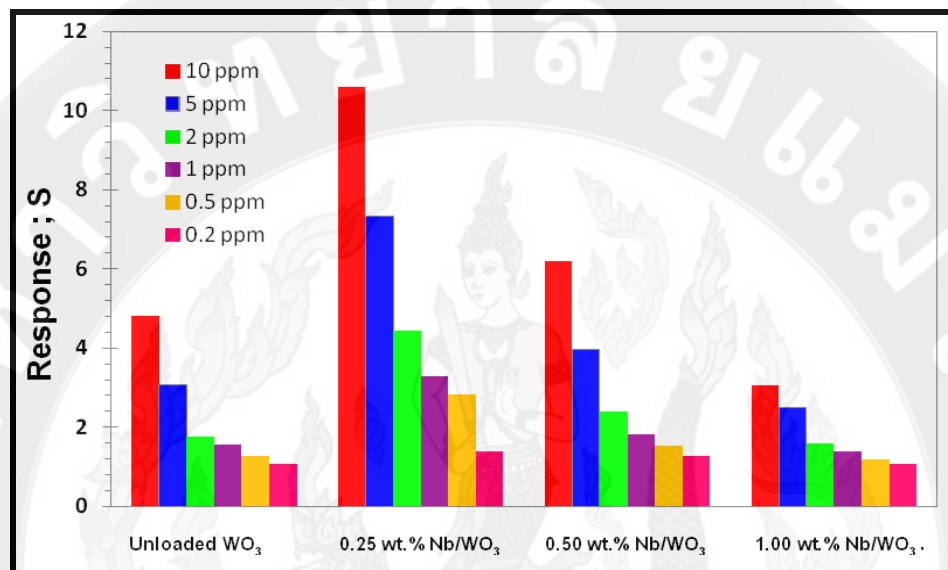


ภาพที่ 42 การเปลี่ยนแปลงของค่าความต้านทานในการตอบสนองต่อแก๊สไฮโคลเรนซัลไฟฟ์ ของฟิล์มหังสเตนออกไซด์ และฟิล์มหังสเตนออกไซด์ที่เจือด้วยไฮโดรเจนที่ความเข้มข้นของแก๊สไฮโคลเรนซัลไฟฟ์ 0.2-10 ppm ขณะอุณหภูมิในการทำงานของฟิล์มเซ็นเซอร์  $300^{\circ}\text{C}$



ภาพที่ 43 การเปลี่ยนแปลงของค่าความต้านทานในการตอบสนองต่อแก๊สไฮโคลเรนซัลไฟฟ์ ของฟิล์มหังสเตนออกไซด์ และฟิล์มหังสเตนออกไซด์ที่เจือด้วยไฮโดรเจนที่ความเข้มข้นของแก๊สไฮโคลเรนซัลไฟฟ์ 0.2-10 ppm ขณะอุณหภูมิในการทำงานของฟิล์มเซ็นเซอร์  $350^{\circ}\text{C}$

จากภาพที่ 41-43 แสดงผลของการทำงานของตัวตรวจจับแก๊สไฮโดรเจนซัลไฟด์ ที่อุณหภูมิ  $250\text{-}350^{\circ}\text{C}$  ที่ความเข้มข้น  $0.2\text{-}10 \text{ ppm}$  ซึ่งจะเห็นได้ว่าการเปลี่ยนแปลงของค่าความด้านทานในการตอบสนองต่อแก๊สไฮโดรเจนซัลไฟด์ มีค่าลดลงตามลำดับความเข้มข้นของแก๊ส ซึ่งค่าความด้านทาน แสดงดังตารางที่ 3

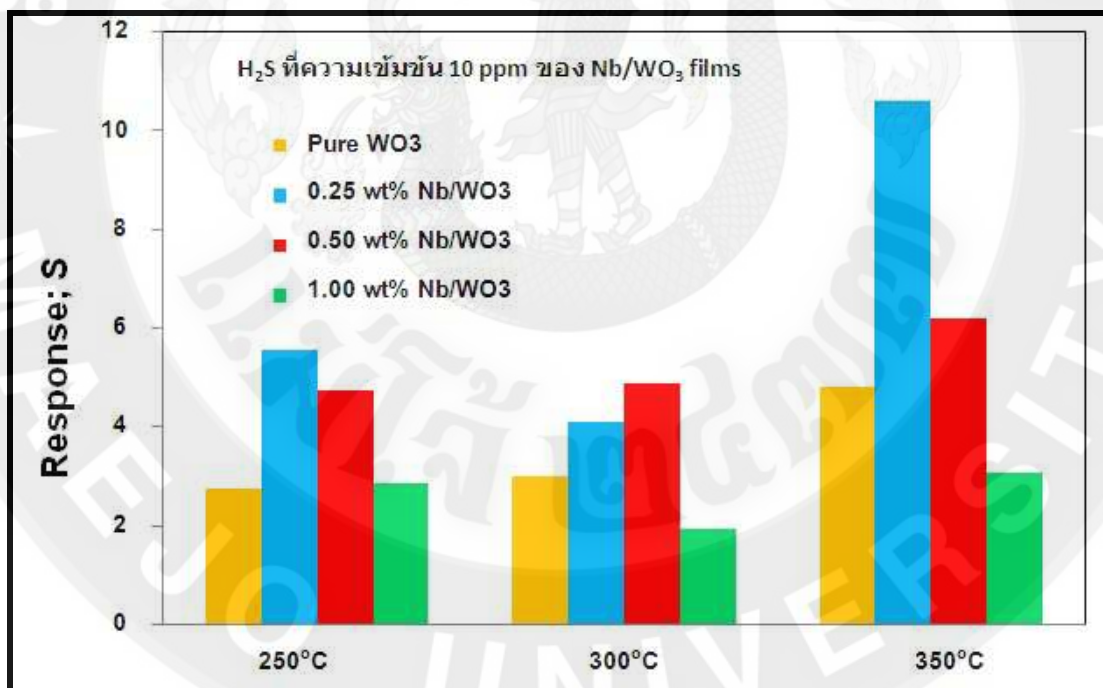


ภาพที่ 44 ค่าการตอบสนองต่อแก๊สไฮโดรเจนซัลไฟด์ ของฟิล์มหังสเตนออกไซด์ และฟิล์มหังสเตนออกไซด์ที่เจือด้วยไนโตรบียม ที่ความเข้มข้นของแก๊สไฮโดรเจนซัลไฟด์  $0.2\text{-}10 \text{ ppm}$  ณ อุณหภูมิในการทำงานของฟิล์มเชื่อมชอร์ 350°C

ตารางที่ 3 ค่าความด้านทานในการตอบสนองแก๊สไฮโดรเจนซัลไฟด์ ที่ความเข้มข้น  $0.2\text{-}10 \text{ ppm}$  ของฟิล์มหังสเตนออกไซด์ และฟิล์มหังสเตนออกไซด์ที่เจือด้วยไนโตรบียม ขณะอุณหภูมิการทำงานของฟิล์มเชื่อมชอร์ 350°C

ฟิล์มเชื่อมชอร์	อุณหภูมิ 350 ( $^{\circ}\text{C}$ )					
	10 ppm	5 ppm	2 ppm	1 ppm	0.5 ppm	0.2 ppm
$\text{WO}_3$	4.82	3.07	1.75	1.55	1.28	1.07
$0.25 \text{ wt\% Nb}/\text{WO}_3$	10.60	7.34	4.43	3.29	2.83	1.39
$0.50 \text{ wt\% Nb}/\text{WO}_3$	6.20	3.96	2.40	1.83	1.53	1.27
$1.00 \text{ wt\% Nb}/\text{WO}_3$	3.06	2.49	1.59	1.38	1.20	1.06

จากภาพที่ 44 แสดงผลของการทำงานของตัวตรวจจับแก๊สไฮโดรเจนชัลไฟฟ์ ที่อุณหภูมิ 250-350°C ขณะการตรวจจับแก๊สไฮโดรเจนชัลไฟฟ์ที่ความเข้มข้น 10 ppm ค่าการตอบสนองของตัวตรวจจับแก๊สบีนอยู่กับอุณหภูมิขณะการทำงาน ซึ่งอุณหภูมิการทำงานของตัวตรวจจับแก๊สส่งผลต่อการเปลี่ยนแปลงอัตราการดูดซับและแยกเปลี่ยนออกซิเจน ไอออนบนผิวของฟิล์มเซ็นเซอร์ ซึ่งพบว่าฟิล์มทั้งส坚韧ออกไซด์ที่เจือด้วยไนโตรบียม 0.25 wt% มีการตอบสนองต่อแก๊สไฮโดรเจนชัลไฟฟ์ ได้ดีที่สุดที่อุณหภูมิในการทำงานของตัวตรวจจับแก๊ส 350°C โดยมีค่าการตอบสนองต่อแก๊สไฮโดรเจนชัลไฟฟ์เท่ากับ 10.60 ซึ่งแสดงให้เห็นว่าฟิล์มทั้งส坚韧ออกไซด์ที่เจือด้วยไนโตรบียม มีความสามารถในการตรวจจับแก๊สไฮโดรเจนชัลไฟฟ์มากที่สุด เมื่อเปรียบเทียบกับฟิล์มทั้งส坚韧ออกไซด์บริสุทธิ์ ฟิล์มทั้งส坚韧ออกไซด์ที่เจือด้วยไนโตรบียม 0.50 และ 1.00 wt% ณ อุณหภูมิในการทำงานของตัวตรวจจับแก๊ส 350°C แสดงให้เห็นว่าในการเจือไนโตรบียมหากเติมมากเกินไป ก็ไม่ช่วยเพิ่มประสิทธิภาพในการตรวจจับแก๊สให้ดีขึ้น จึงควรเติมสารเจือในปริมาณที่พอดี ซึ่งค่าการตอบสนองดังแสดงในตารางที่ 4

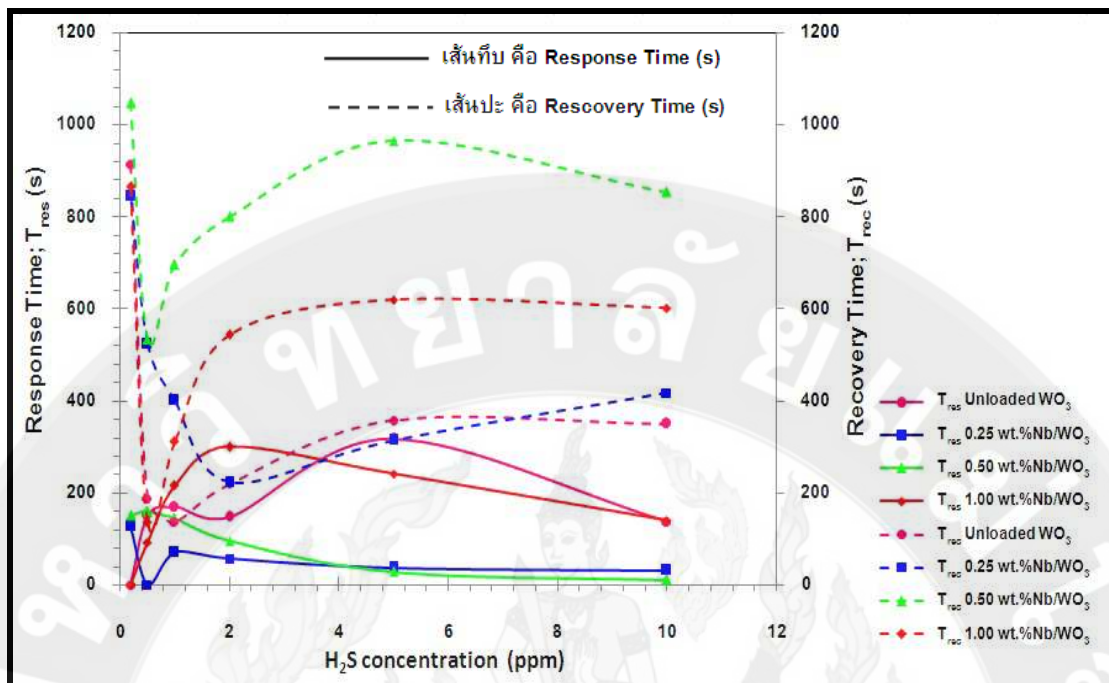


ภาพที่ 45 การตอบสนองของฟิล์มทั้งส坚韧ออกไซด์บริสุทธิ์ และทั้งส坚韧ออกไซด์ที่เจือด้วยไนโตรบียม ต่อแก๊สไฮโดรเจนชัลไฟฟ์ ที่ความเข้มข้น 10 ppm ขณะอุณหภูมิในการทำงานของตัวตรวจจับแก๊ส 250-350°C

ตารางที่ 4 การตอบสนองต่อแก๊สไฮโดรเจนซัลไฟฟ์ที่ความเข้มข้น 10 ppm ของพิล์มทั้งสเกตเคนออกไซด์ และพิล์มทั้งสเกตเคนออกไซด์ที่เจือด้วยไนโอลีบียม ขณะอุณหภูมิการทำงานของตัวตรวจจับแก๊ส 250-350°C

พิล์มเซ็นเซอร์	ค่าการตอบสนอง (Response)			
	ณ อุณหภูมิการทำงานของตัวตรวจจับแก๊สต่างๆ	250°C	300°C	350°C
WO <sub>3</sub>		2.73	3.00	4.82
0.25 wt% Nb/WO <sub>3</sub>		5.56	4.10	10.60
0.50 wt% Nb/WO <sub>3</sub>		4.72	4.88	6.20
1.00 wt% Nb/WO <sub>3</sub>		2.86	1.91	3.06

ในส่วนของการพิจารณาเวลาในการตอบสนองของพิล์มเซ็นเซอร์ ของพิล์มเซ็นเซอร์ทั้งสเกตเคนออกไซด์บิสุทิช์ และพิล์มเซ็นเซอร์ทั้งสเกตเคนออกไซด์ที่เจือด้วยไนโอลีบียม ที่ความเข้มข้น 0.25, 0.50 และ 1.00 wt% ต่อแก๊สไฮโดรเจนซัลไฟฟ์ที่ความเข้มข้น 10 ppm ขณะอุณหภูมิในการทำงานของตัวตรวจจับแก๊ส 350°C จากภาพที่ 46 พบว่าพิล์มทั้งสเกตเ肯ออกไซด์ที่เจือด้วยไนโอลีบียมใช้เวลาในการตอบสนองต่อแก๊สไฮโดรเจนซัลไฟฟ์ที่ความเข้มข้น 10 ppm ได้ดีกว่าทั้งสเกตเคนออกไซด์ออกไซด์บิสุทิช์ โดยทั้งสเกตเคนออกไซด์ที่เจือด้วยไนโอลีบียม 0.50 wt% ใช้เวลาในการตอบสนอง 10.75 วินาที และพบว่าทั้งสเกตเ肯ออกไซด์บิสุทิช์ ใช้เวลาในการกลับคืนสู่สภาพเดิมได้เร็วที่สุดใช้เวลาเพียง 351.14 วินาที ซึ่งจะเห็นได้ว่าเวลาในการตอบสนอง และเวลาในการคืนสู่สภาพเดิม อาจเร็วกว่าพิล์มทั้งสเกตเ肯ออกไซด์ที่เจือด้วยไนโอลีบียมที่ความเข้มข้น 0.25 wt% แต่ก็ยังถือว่าเป็นเวลาที่ใกล้เคียงกัน ดังแสดงในตารางที่ 5



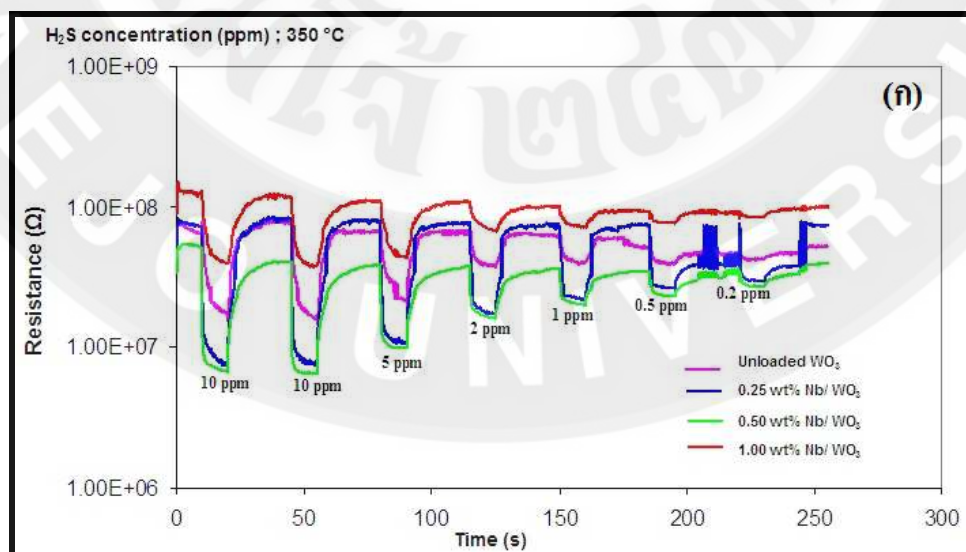
ภาพที่ 46 เวลาในการตอบสนอง และเวลาการคืนกลับสู่สภาพของฟิล์มทั้งสตetenออกไซด์ และทั้งสตetenออกไซด์ที่เจือด้วยไนโตรบียนที่ความเข้มข้น 0.25 0.50 และ 1.00 wt% ในการตรวจจับแก๊สไฮโดรเจนซัลไฟด์ ที่อุณหภูมิการทำงานของตัวตรวจจับแก๊ส 350°C

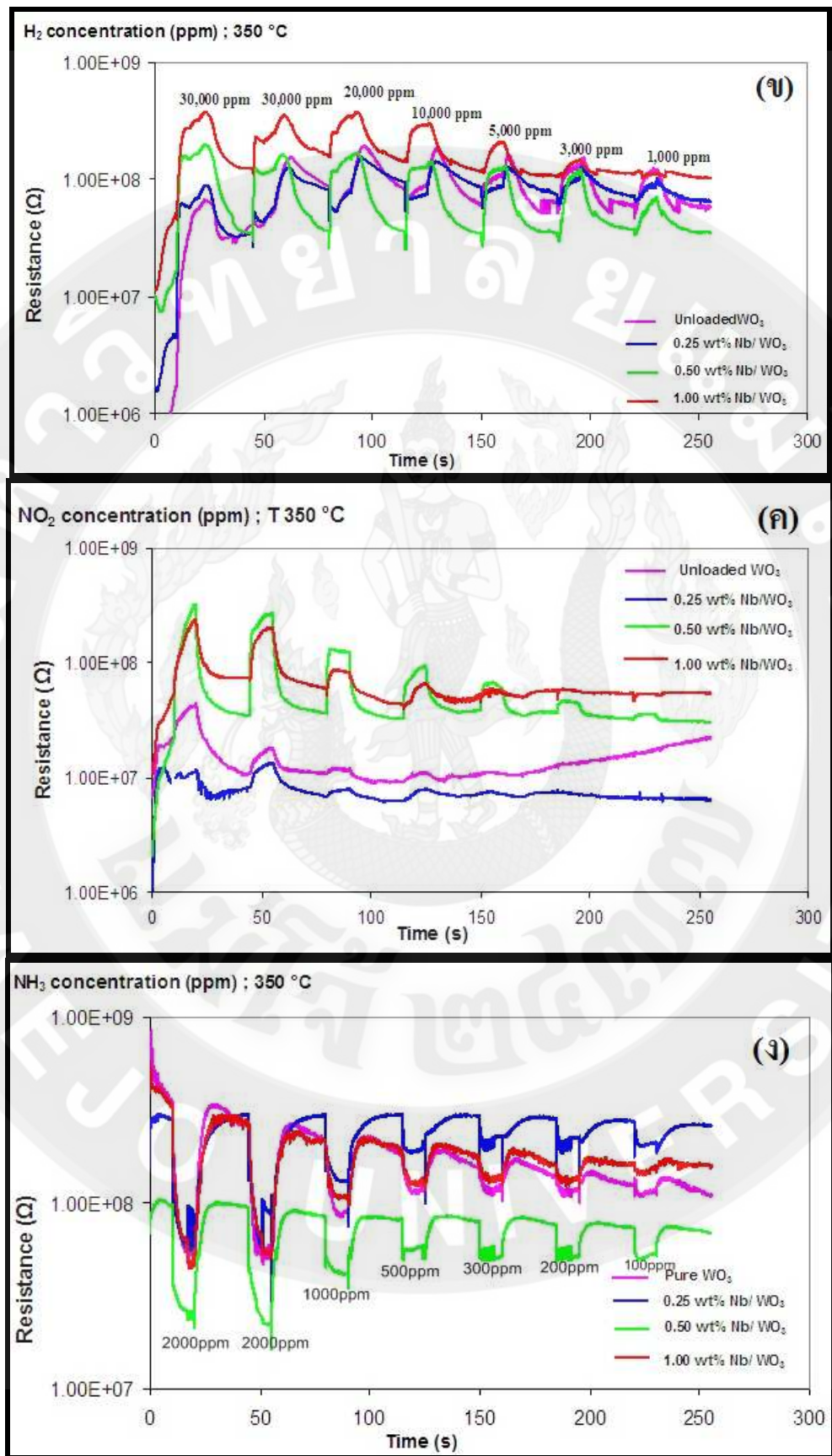
ตารางที่ 5 เวลาในการตอบสนอง และเวลาในการกลับคืนสู่สภาพเดิมของฟิล์มเซ็นเซอร์ทั้งสตetenออกไซด์ และฟิล์มทั้งสตetenออกไซด์ที่เจือด้วยไนโตรบียน ขณะตรวจจับแก๊สไฮโดรเจนซัลไฟด์ ที่ความเข้มข้น 10 ppm ณ อุณหภูมิการทำงานของตัวตรวจจับแก๊ส 350°C

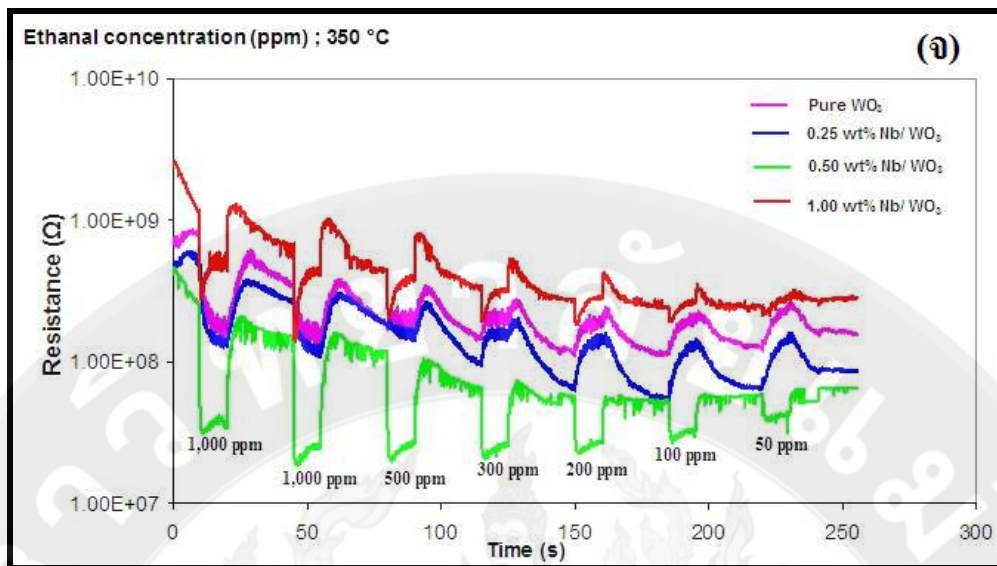
ฟิล์มเซ็นเซอร์	เวลาในการตอบสนอง (วินาที)	เวลาในการกลับคืนสู่สภาพเดิม (วินาที)
$\text{WO}_3$	137.78	351.14
0.25 wt% $\text{Nb}/\text{WO}_3$	31.90	471.98
0.50 wt% $\text{Nb}/\text{WO}_3$	10.75	855.21
1.00 wt% $\text{Nb}/\text{WO}_3$	140.52	602.58

สำหรับการทดสอบความสามารถในการตรวจจับแก๊ส ของฟิล์มทั้งสตetenออกไซด์ที่เจือด้วยไนโตรบียน ต่อแก๊สไฮโดรเจนซัลไฟด์, แก๊สไฮโดรเจน, แก๊สในโตรเจนไคออกไซด์, แก๊ส

แอมโมเนีย และ ไฮของเอทานอล ดังแสดงในภาพที่ 47 เป็นการเปลี่ยนแปลงของค่าความต้านทานในการตอบสนองต่อแก๊สต่างๆ ของฟิล์มทั้งสแตนออกไซด์ที่เจือด้วยไฮโอดีเมียมที่ความเข้มข้น 0.25, 0.50 และ 1.00 wt% ที่อุณหภูมิการทำงานของตัวตรวจจับแก๊ส  $350^{\circ}\text{C}$  จะเห็นได้ว่าฟิล์มทั้งสแตนออกไซด์ที่เจือด้วยไฮโอดีเมียม มีค่าการเปลี่ยนแปลงของความต้านทานที่ดีต่อแก๊สไฮโอดีเรนชัลไฟฟ์ ได้ดีที่สุดเมื่อเปรียบเทียบในการตรวจจับแก๊สอื่น และค่าการตอบสนองต่อแก๊สแสดงดังภาพที่ 47 ที่มีความเข้มข้นสูงสุดของแต่ละแก๊ส ขณะอุณหภูมิในการทำงานของตัวตรวจจับแก๊สที่  $350^{\circ}\text{C}$  แสดงให้เห็นว่าฟิล์มทั้งสแตนออกไซด์ที่เจือด้วยไฮโอดีเมียมที่ความเข้มข้น 0.25 wt% มีการตอบสนองต่อแก๊สไฮโอดีเรนชัลไฟฟ์ ได้ดีที่สุดเมื่อเปรียบเทียบกับแก๊สอื่น โดยมีค่าการตอบสนองเท่ากับ 10.60 ในส่วนของแก๊สอื่นๆ ฟิล์มทั้งสแตนออกไซด์ที่เจือด้วยไฮโอดีเมียมมีค่าการตอบสนองต่อไฮของเอทานอลได้ดีที่สุด ที่ความเข้มข้น 0.25 wt% ของไฮโอดีเมียม โดยมีค่าการตอบสนองเท่ากับ 3.29 และมีค่าการตอบสนองต่อแก๊สในไตรเคนไดออกไซด์ และแก๊สไฮโอดีเรนไดด์ที่สุดที่ความเข้มข้น 0.50 wt% ของไฮโอดีเมียม โดยมีค่าการตอบสนองเท่ากับ 7.75 และ 4.36 ตามลำดับ และมีค่าการตอบสนองต่อแก๊สแอมโมเนีย ได้ดีที่สุดที่ความเข้มข้น 1.00 wt% ของไฮโอดีเมียม โดยมีค่าการตอบสนองเท่ากับ 3.56 ซึ่งจากการทดลองแสดงเห็นได้ว่าฟิล์มทั้งสแตนออกไซด์ที่เจือด้วยไฮโอดีเมียมที่ความเข้มข้น 0.25 wt% มีค่าการตอบสนองต่อแก๊สไฮโอดีเรนชัลไฟฟ์ได้ดีที่สุด และมีค่าการตอบสนองที่สูงสุด เมื่อเปรียบเทียบ กับแก๊สอื่นๆ แสดงให้เห็นว่ามี ฟิล์มทั้งสแตนออกไซด์ ที่เจือด้วยไฮโอดีเมียม มีความจำเพาะสำหรับตรวจจับแก๊สไฮโอดีเรนชัลไฟฟ์ ดังแสดงในตารางที่ 6



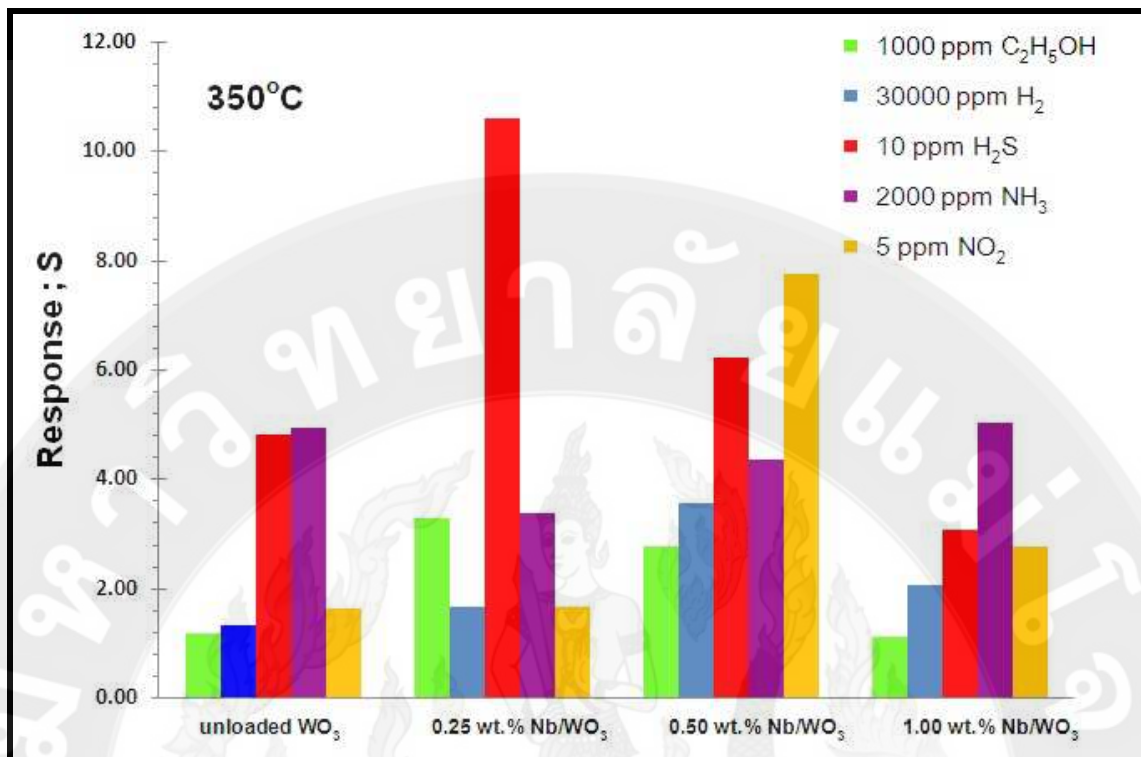




ภาพที่ 47 (ก-จ) เป็นการเปลี่ยนแปลงของค่าความต้านทานในการตอบสนองต่อแก๊สไฮโดรเจนชัลไฟฟ์ แก๊สไฮโดรเจน แก๊สแอมโมเนีย แก๊สไนโตรเจนไดออกไซด์ และไออกซ์เจนอล ตามลำดับของฟิล์มหังสเตนออกไซด์ และฟิล์มหังสเตนออกไซด์ที่เจือด้วยไนโวเบียมที่ความเข้มข้น  $0.25$   $0.50$  และ  $1.00 \text{ wt\%}$  ที่อุณหภูมิการทำงานของตัวตรวจจับแก๊ส  $350^{\circ}\text{C}$

ตารางที่ 6 ค่าการตอบสนองต่อแก๊สไฮโดรเจนชัลไฟฟ์ แก๊สไฮโดรเจน แก๊สไนโตรเจนไดออกไซด์ แก๊สแอมโมเนีย และไออกซ์เจนอล ขณะอุณหภูมิในการทำงานของตัวตรวจจับแก๊ส  $350^{\circ}\text{C}$  ของฟิล์มหังสเตนออกไซด์ และฟิล์มหังสเตนออกไซด์ที่เจือด้วยไนโวเบียมที่ความเข้มข้น  $0.25$   $0.50$  และ  $1.00 \text{ wt\%}$

ฟิล์มเชิงเรืองรั้ง	ค่าการตอบสนอง (Response)				
	$\text{C}_2\text{H}_5\text{OH}$	$\text{H}_2$	$\text{NO}_2$	$\text{H}_2\text{S}$	$\text{NH}_3$
$\text{WO}_3$	1.17	1.34	1.63	4.82	4.93
$0.25 \text{ wt\% Nb}/\text{WO}_3$	3.29	1.66	1.65	10.60	3.38
$0.50 \text{ wt\% Nb}/\text{WO}_3$	2.74	3.56	7.75	6.20	4.36
$1.00 \text{ wt\% Nb}/\text{WO}_3$	1.10	2.06	2.76	3.06	5.03



ภาพที่ 48 เปรียบเทียบการตอบสนองต่อแก๊สต่างๆ ที่ความเข้มข้นสูงสุดในแต่ละแก๊ส ที่อุณหภูมิการทำงานของตัวตรวจจับแก๊ส 350°C ของฟิล์มทั้งสตetenออกไซด์ และทั้งสตetenออกไซด์ที่เจือด้วยไนโตรบียม 0.25 0.50 และ 1.00 wt%

จากตารางที่ 6 และภาพที่ 48 แสดงให้เห็นว่าทั้งสตetenออกไซด์ ที่เจือด้วยไนโตรบียม มีผลต่อค่าการตอบสนองต่อแก๊สต่างๆ ที่มีค่าแตกต่างกัน คือ เนื่องจากแก๊สแต่ละชนิดมีความจำเพาะเห็นได้จาก ฟิล์มทั้งสตetenออกไซด์ที่เจือด้วยไนโตรบียม มีค่าตอบสนองต่อแก๊สไฮโดรเจนซัลไฟด์ ได้ดีที่สุดเมื่อเปรียบเทียบต่อแก๊สอื่นๆ ซึ่งมีค่าการตอบสนองได้ดีที่สุด ที่ความเข้มข้นของไนโตรบียม 0.25 wt% ในขณะที่การตรวจจับต่อไฮของเอทานอล แก๊สไฮโดรเจน และแก๊สในไฮโดรเจนไกออกไซด์ มีค่าการตอบสนองที่ไม่สูง จึงสามารถสรุปได้ว่าการเติมสารเจือลงไป คือ ในไนโตรบียม (Nb) ลงไปในทั้งสตetenออกไซด์ (WO<sub>3</sub>) มีความจำเพาะสำหรับการตรวจจับแก๊สไฮโดรเจนซัลไฟด์ ซึ่งแสดงให้เห็นว่าการเจือไนโตรบียม ทำให้เพิ่มประสิทธิภาพในการตรวจจับแก๊สไฮโดรเจนซัลไฟด์ ได้ดีขึ้น แต่ควรเติมในปริมาณที่พอดี ซึ่งขึ้นอยู่กับการนำไปใช้งาน ว่า ต้องการตรวจจับแก๊สอะไร จึงจะเหมาะสม

ซึ่งจากผลการทดสอบฟิล์มเซ็นเซอร์ดังกล่าว ฟิล์มเซ็นเซอร์ที่ดีควรมีสมบัติความจำเพาะคือ ความสามารถในการแยกแยะ ความแตกต่างระหว่างแก๊สที่ต้องการตรวจวัดกับแก๊สที่ไม่ต้องการวัด กล่าวคือ ควรมีความสามารถในการตอบสนองต่อแก๊สชนิดใดชนิดหนึ่งชนิดเดียวที่ต้องการวัด ไม่ควรตอบสนองต่อแก๊สชนิดอื่น เพราะจะทำให้เกิดสัญญาณรบกวนการวัด ได้ ซึ่งในทางปฏิบัติ ต้องทราบดูที่เหมาะสม และไวเฉพาะต่อแก๊สแต่ละชนิด ที่ต้องการวัดมาใช้ทำเป็นฟิล์มเซ็นเซอร์ หรือมีการเติมสารเจือปนไปในวัสดุที่ใช้ทำเป็นฟิล์มเซ็นเซอร์ เพื่อทำให้ฟิล์มเซ็นเซอร์มีความไวในการตอบสนองต่อแก๊สที่ต้องการวัด และเนื้อຍต่อการตอบสนองต่อแก๊สที่ไม่ต้องการวัด

#### 4. ผลการวิเคราะห์หาปริมาณสารชั้ลเฟอร์โดยออกไซด์ ที่ตกค้างในเนื้อคำไยอบแห้ง

จากการวิเคราะห์ปริมาณสารชั้ลเฟอร์โดยออกไซด์ ในคำไยอบแห้ง ยี่ห้อ ก และ ข แสดงดังตารางที่ 1 พบว่า คำไยอบแห้ง ทั้งสองยี่ห้อ มีปริมาณชัลเฟอร์โดยออกไซด์ เท่ากับ 6.31 และ 8.62 มิลลิกรัมต่อกิโลกรัม ซึ่งต่ำกว่าเกณฑ์ที่ความสามารถในการวิเคราะห์ (10 มิลลิกรัมต่อกิโลกรัม) ต่ำกว่าเกณฑ์มาตรฐานคำไยของประเทศไทย (เปรียบเทียบกับเกณฑ์การยอมรับมาตรฐานคำไยของประเทศไทย ประกาศโดยกระทรวงเกษตรและสหกรณ์ อนุญาตให้คำไยที่ผ่านการรับด้วยชัลเฟอร์โดยออกไซด์ มีชัลเฟอร์โดยออกไซด์ในเนื้อคำไยได้ไม่เกิน 10 มิลลิกรัมต่อกิโลกรัม (ประกาศใช้เมื่อวันที่ 24 พฤษภาคม 2541))

ตารางที่ 7 ผลการสกัดปริมาณสารชัลเฟอร์โดยออกไซด์ในคำไยอบแห้ง

ตัวอย่าง	ปริมาณสารชัลเฟอร์โดยออกไซด์ (มิลลิกรัมต่อกิโลกรัม)
ยี่ห้อ ก	6.31
ยี่ห้อ ข	8.62

Limit of Quantitation (LOQ) = 10 มิลลิกรัมต่อกิโลกรัม

## สรุปผลการวิจัย

ในงานวิจัยนี้ได้ศึกษาการสังเคราะห์อนุภาคนาโนทั้งสเตโนอกไซด์ และอนุภาคนาโนทั้งสเตโนอกไซด์ ที่เจือด้วยไนโอลีบิม ความเข้มข้น 0.25, 0.50 และ 1.00 wt% ด้วยวิธีฟล็อกสเปรย์ ไฟโรลิซิส และวิธีไฮโดรเทอร์มอล วิเคราะห์หาลักษณะเฉพาะของอนุภาคนาโนทั้งสเตโนอกไซด์ที่เตรียมได้ ด้วยเทคนิคการเลี้ยวบนพลังงานของรังสีเอ็กซ์ (XRD), กล้องจุลทรรศน์อิเล็กตรอนแบบส่อง粒 (SEM), วิเคราะห์スペกตรัมจากเทคนิคการกระจายพลังงานของรังสีเอ็กซ์ (EDS), กล้องจุลทรรศน์อิเล็กตรอนแบบส่องผ่าน (TEM) และวิเคราะห์หาพื้นที่ผิวจำเพาะด้วยเทคนิคบีอีที (BET) จากนั้นนำไปประยุกต์ใช้เป็นตัวตรวจจับแก๊ส (Gas sensor) โดยเตรียมเป็นฟิล์มเชื่อมช่อร์ด้วยวิธีการหมุนเหวี่ยงบนฐานรองอัลูมินา (Alumina substrate) ที่ทำข้าไฟฟ้าด้วยทอง (Au) จากนั้นนำไปทดสอบความสามารถในการตรวจจับแก๊สชันเฟอร์ไดออกไซด์ ( $\text{SO}_2$ ), แก๊สไฮโดรเจนชัลไฟฟ์ ( $\text{H}_2\text{S}$ ), ไออกซองเอทานอล ( $\text{C}_2\text{H}_5\text{OH}$ ), แก๊สไฮโดรเจน ( $\text{H}_2$ ), แก๊สแอมโมเนีย ( $\text{NH}_3$ ) และแก๊สไนโตรเจนไกออกไซด์ ( $\text{NO}_2$ ) และนำไปวิเคราะห์หาลักษณะเฉพาะของฟิล์มเชื่อมช่อร์ ด้วยเทคนิคการกระจายพลังงานของรังสีเอ็กซ์, กล้องจุลทรรศน์อิเล็กตรอนแบบส่อง粒 และวิเคราะห์จากเทคนิคการเลี้ยวบนพลังงานของรังสีเอ็กซ์

จากการวิเคราะห์หาลักษณะเฉพาะ ของอนุภาคนาโนทั้งสเตโนอกไซด์ และอนุภาคนาโนทั้งสเตโนอกไซด์ ที่เจือด้วยไนโอลีบิมพบว่า อนุภาคที่สังเคราะห์ได้มีลักษณะเป็นรูปแท่ง และมีขนาดความกว้าง ประมาณ 100 nm ถึง 250 nm และมีความยาวประมาณ 100 nm ถึง 5  $\mu\text{m}$  นอกจากนั้นยังพบว่าทั้งสเตโนอกไซด์ที่เจือด้วยไนโอลีบิม มีอนุภาคที่มีลักษณะคล้ายทรงกลมมาก อยู่บริเวณผิวของทั้งสเตโนอกไซด์ ซึ่งคาดว่าจะเป็นไนโอลีบิมที่มีขนาดประมาณ 5–15 nm ซึ่งทำให้ทราบว่าอนุภาคนาโนทั้งสเตโนอกไซด์ที่เจือด้วยไนโอลีบิมนั้น มีไนโอลีบิมเจืออยู่จริงซึ่งจะเห็นได้จากปริมาณของไนโอลีบิมจะเพิ่มขึ้นตามปริมาณเพอร์เซ็นต์ของความเข้มข้นของไนโอลีบิม ที่เจือลงไป

จากการวิเคราะห์หาลักษณะเฉพาะของฟิล์มทั้งสเตโนอกไซด์ และฟิล์มทั้งสเตโนอกไซด์ ที่เจือด้วยไนโอลีบิม พบว่าพื้นผิวของฟิล์มเชื่อมช่อร์ มีการกระจายตัวของฟิล์มที่ค่อนข้างสม่ำเสมอ และมีลักษณะของอนุภาคที่เกาะกลุ่มกันเป็นก้อนบ้างเล็กน้อย ฟิล์มที่ได้มีความหนาเฉลี่ยประมาณ 10  $\mu\text{m}$

สำหรับผลการทดสอบในการตรวจจับแก๊สของฟิล์มทั้งสเตโนอกไซด์ และฟิล์มทั้งสเตโนอกไซด์ที่เจือด้วยไนโอลีบิม ต่อแก๊สชันเฟอร์ไดออกไซด์, แก๊สไฮโดรเจนชัลไฟฟ์, แก๊สไฮโดรเจน, แก๊สไนโตรเจน ไดออกไซด์, แก๊สแอมโมเนีย และไออกซองเอทานอล พบว่า ฟิล์ม

หังสเตนออกไซด์ที่เจือด้วยไนโตรเจนมีการตอบสนองต่อแก๊สซันเฟอร์ไดออกไซด์ไดค์ที่สุด ที่ความเข้มข้น 10 ppm และให้ค่าการตอบสนองที่สูงกว่าฟิล์มหังสเตนออกไซด์ที่ไม่ได้เจือด้วยไนโตรเจน โดยพบว่าที่ปริมาณการเจือไนโตรเจนคงในหังสเตนออกไซด์ที่ความเข้มข้นของไนโตรเจน 0.50 wt% ให้ค่าการตอบสนองต่อแก๊สซันเฟอร์ไดออกไซด์ไดค์ที่สุด เมื่อเปรียบเทียบกับปริมาณการเจืออื่นๆ และนอกจากนี้ยังพบว่าอุณหภูมิในการทำงานของตัวตรวจจับแก๊สที่ไดค์ที่สุด คือ  $350^{\circ}\text{C}$  ซึ่งให้ค่าการตอบสนองแก๊สซันเฟอร์ไดออกไซด์สูงที่สุด ทั้งยังใช้เวลาในการตอบสนองที่เร็วมาก แต่อย่างไรก็ตามเวลาในการคืนสู่สภาพเดิมของฟิล์มเซ็นเซอร์ยังใช้เวลาค่อนข้างนาน ดังนั้นจึงควรมีการพัฒนาให้เร็วขึ้นต่อไป

## เอกสารอ้างอิง

- [1] Promsong, L. 1993. **Fabrication of thin film tin oxide alcohol gas sensor.** M.S. Thesis, Chulalongkorn University: Bangkok.
- [2] สถาบันดับเพลิงและภัยชั้นสูง ท่าฟ้า. 2556. สารพิษต่างๆที่อยู่ในควันไฟที่อาจเกิดขึ้นในขณะที่เกิดเพลิงไหม้. [ระบบออนไลน์]. แหล่งที่มา <http://www.thaifire.com/Topics/Informations/BuildingSMOKE5.htm> (15 กุมภาพันธ์ 2556)
- [3] Sriyudthsak, M. 2003. The development and applications of sensors for environmental monitoring. **Proceedings of national metal and materials technology center conference.** Thailand, May. 18-19: 1–10.
- [4] Hahn, S. 2002. **SnO<sub>2</sub> thick film sensors at the ultimate limits.** Ph.D. Thesis, University Tübingen. Germany.
- [5] Gaury, J., Kelder, E.M., Bychkov, E., and Biskos, G. 2013. Characterization of Nb-doped WO<sub>3</sub> thin films produced by electrostatic spray deposition. *Thin Solid Films.* 534: 32–39.
- [6] ศูนย์วิจัยและพัฒนาป้องกันและจัดการภัยพิบัติ. 2555. แก๊สไฮโดรเจนซัลไฟด์หรือแก๊สไนโตรเจนพิที่ไม่ควรมองข้าม. [ระบบออนไลน์]. แหล่งที่มา <http://dpm.nida.ac.th/main/index.php/articles/chemical-hazards/item/62> (2 ธันวาคม 2556)
- [7] ศิริพร วันพั่น. 2013. ระบบตรวจจับก๊าซอันตราย (Hazardous Gas Detection System). [ระบบออนไลน์]. แหล่งที่มา <http://www.thailandindustry.com/guru/view.php?id=19024&section=9>. (10 ธันวาคม 2556).
- [8] A. Heili, N. Barsan, U. Weimar and W. Göple. 1999. Selectivity enhancement of SnO<sub>2</sub> gas sensors: simultaneous monitoring of resistances and temperatures. *Sens. Actuators, B.* 58: 302–309.
- [9] C. Liewhiran and S. Phanichphant. 2007. Effects of palladium loading on the response of a thick film flame-made ZnO gas sensor for detection of ethanol vapor. *Sensors.* 7(7): 1159–1184.
- [10] C. Liewhiran and S. Phanichphant. 2007. Improvement of flame-made ZnO nanoparticulate thick film morphology for ethanol sensing. *Sensors.* 7(5): 650–675.

- [11] C. Liewhiran and S. Phanichphant. 2007. Influence of thickness on ethanol sensing characteristics of doctor-bladed thick film from flame-made ZnO nanoparticles. *Sensors.* 7: 185–201.
- [12] “ระบบโครงสร้างผลึกมัตฐาน” [ระบบออนไลน์] แหล่งที่มา <http://www.rmutphysics.com/charud/Oldnews/48/crystal/a10.html>. (4 มิถุนายน 56)
- [13] “สมบัติทั้งสแตนออกไซด์” [ระบบออนไลน์] แหล่งที่มา <http://www.webcache.googleusercontent.com>. (2 ตุลาคม 2556)
- [14] กมล เอี่ยมพาณิช, การทบทวนสมบัติอิเล็กโตรโครมิกของฟิล์มทั้งสแตนออกไซด์ สำหรับการประยุกต์ใช้เป็นหน้าต่างอัจฉริยะ (A Review on Electrochromic Property of  $\text{WO}_3$  Films for Smart Window Application), วารสารวิทยาศาสตร์และเทคโนโลยี, ภาควิชาฟิสิกส์ คณะวิทยาศาสตร์และเทคโนโลยี มหาวิทยาลัยธรรมศาสตร์ ศูนย์รังสิต, ปทุมธานี, 2555, หน้า 179–185.
- [15] A. Subrahmanyam and A. Karuppasamy. 2007. Optical and electrochromic properties of oxygen sputtered tungsten Oxide ( $\text{WO}_3$ ) thin films, *Solar Energy Mater. Solar Cells.* 91: 266–274.
- [16] J. Gaury, E.M. Kelder, E. Bychkov and G. Biskos. 2013. Characterization of Nb-doped  $\text{WO}_3$  thin films produced by electrostatic spray deposition. *Thin Solid Films.* 534: 32–39.
- [17] Kim, T. S., Kim, Y. B., Yoo, K. S., Sung, G. S. and Jung, H. J. 2000. Sensing characteristic of dc reactive sputtered  $\text{WO}_3$  thin film as an  $\text{NO}_x$  gas sensor. *Sens. Actuators, B.* 62: 102–108.
- [18] P. Ivanov, E. Llobet, F. Blanco, A. Vergara, X. Vilanova, I. Gracia, C. Cané and X. Correig. 2006. On the effects of the materials and the noble metal additives to  $\text{NO}_2$  detection. *Sens. Actuators, B.* 118; 311–317.
- [19] J. L. Solis, A. Heel, L. B. Kish, C. G. Granqvist, S. Saukko, and V. Lantto. 2001. Gas sensing properties of nanocrystalline  $\text{WO}_3$  films made by advanced reactive gas deposition, *J. Am. Ceram. Soc.* 84: 1504–1508.
- [20] M. Akiyama, Z. Zhang, J. Tamaki, N. Miura, and N. Yamazoe. 1993. Tungsten oxide based semiconductor sensor for detection of nitrogen oxide in combustion exhaust, *Sens. Actuators, B.* 13-14: 619–620.

- [21] T. Inoue, K. Ohtsuka, Y. Yoshida, Y. Matsuura and Y. Kajiyama. 1995. Metal oxide semiconductor NO<sub>2</sub> sensor. *Sens. Actuators, B.* 24-25: 388–391.
- [22] Y. D. Wang, Z. X. Chen, Y. F. Li,, Z. L. Zhou and X. H. Wu. 2001. Electrical and gas sensing properties of WO<sub>3</sub> semiconductor material. *Solid-State Electronics.* 45: 639–644.
- [23] D. S. Lee, J. S. Han and D. D. Lee. 1999. Nitrogen oxide-sensing characteristic of WO<sub>3</sub>-based nanocrystalline thick film gas sensor. *Sens. Actuators, B.* 60: 57–63.
- [24] J. Shieh, H. M. Feng, M. H. Hon and H. Y. Juang. 2002. WO<sub>3</sub> and W-Ti-O thin film gas sensors prepared by sol-gel dip-coating. *Sens. Actuators, B.* 86: 75–80.
- [25] A. Boudibaa, C. Zhang, C. Bittencourt, P. Umekd, M. G. Oliviera, R. Snydersb and M. Debliquya. 2012. SO<sub>2</sub> Gas Sensors based on WO<sub>3</sub> Nanostructures with Different Morphologies, *Procedia Engineering.* 47: 1033–1036.
- [26] X. C. Song, Y. F. Zheng, E. Yang and Y. Wang. 2007. Large-scale hydrothermal synthesis of WO<sub>3</sub> nanowires in the presence of K<sub>2</sub>SO<sub>4</sub>. *Mater. Lett.* 61: 3904–3908.
- [27] R. A. Huirache, F. D. Paraguay, M. A. Albiter, J. R. Lara and R. S. Martínez. 2009. Synthesis and characterization of WO<sub>3</sub> nanostructures prepared by an aged-hydrothermal method. *Mater. Charact.* 60: 932–937.
- [28] L. Xianghong, Z. Jun, Y. Taili, G. Xianzhi, W. Shihua and W. Shurong. 2011. Synthesis of Pt nanoparticles functionalized WO<sub>3</sub> nanorods and their gas sensing properties. *Sens. Actuators, B.* 156: 918–923.
- [29] U. Muhammad, F. Qadri, P.C. Maria, B. F. Josep, L. Eduard, A. Magdalena and D. Francesc. 2011. WO<sub>3</sub> thin films for optical gas sensing. *Procedia Engineering.* 25: 260–263.
- [30] J. Yu, W. Hao, M. Shafiei, M. R. Field, Z. F. Liu, W. Wlodarski, N. Motta, Y. X. Li, K. Z. Kalantar and P. T. Lai. 2013. A Hydrogen/Methane sensor based on niobium tungsten oxide nanorods synthesised by hydrothermal method. *Sens. Actuators, B.* 13: 0925–4005.
- [31] “Monier-Williams AOAC official method (optimized method) 990.28,” in AOAC Official Methods of Analysis, 2005.
- [32] ศูนย์ผลักดันสินค้าเกษตรเพื่อการส่งออก กรมวิชาการเกษตร, มาตรฐานคำไทยของประเทศไทย, [ระบบออนไลน์] แหล่งที่มา [http://www.ndoae.doae.go.th/article2010/longan/longan\\_standard.html](http://www.ndoae.doae.go.th/article2010/longan/longan_standard.html) (2 ตุลาคม 2556)

### นำเสนอผลงานวิจัยในระดับนานาชาติ

1. **V. Kruefu**, P. Pookmanee, A. Tuantranont and S. Phanichphant “*Development of Niobium-loaded Tungsten Oxide Film for Application in Sulfur Dioxide Gas Sensor with Dried Longan Industry*” 10<sup>th</sup> Asian Conference on Chemical Sensors (ACCS 2013), The Empress Hotel, Chiang Mai, Thailand, 11-15 November 2013. [Poster]
2. P. Jangpradit, **V. Kruefu**, P. Pookmanee, A. Tuantranont and S. Phanichphant “*Synthesis and Characterization of Niobium-loaded Tungsten Oxide Nanostructures by Hydrothermal Synthesis for Gas Sensing Applications*” 10<sup>th</sup> Asian Conference on Chemical Sensors (ACCS 2013), The Empress Hotel, Chiang Mai, Thailand, 11-15 November 2013. [Poster]

### ผลงานวิจัยที่ส่งตีพิมพ์ในระดับนานาชาติ

**V. Kruefu**, P. Pookmanee, A. Wisitsoraat, S. Phanichphant, Sulfur dioxide gas sensor based on niobium-loaded tungsten oxide film, *submitted in J. Nanomaterials*, 2015.

## Development of Niobium-loaded Tungsten Oxide Film for Application in Sulfur Dioxide Gas Sensor with Dried Longan Industry

**Viruntachar Kruefu,<sup>a,\*</sup> Pusit Pookmanee,<sup>b</sup> Anurat Wisitsoraat,<sup>c</sup> and Sukon Phanichphant<sup>d</sup>**

<sup>a</sup>*Program in Materials Science, Faculty of Science, Maejo University, Chiang Mai 50290, Thailand.  
(e-mail: v\_viruntachar@hotmail.com)*

<sup>b</sup>*Department of Chemistry, Faculty of Science, Maejo University, Chiang Mai 50290, Thailand*

<sup>c</sup>*National Electronics and Computer Technology Center, Pathumthani 12120, Thailand.*

<sup>d</sup>*Materials Science Research Center, Faculty of Science, Chiang Mai University, Chiang Mai 50200, Thailand.*

Hexagonal  $\text{WO}_3$  and 0.25–1.00wt% Nb-loaded  $\text{WO}_3$  nanorods were successfully synthesized by a simple hydrothermal process using sodium tungstate dihydrate ( $\text{Na}_2\text{WO}_4 \cdot 2\text{H}_2\text{O}$ ) and sodium chloride (NaCl) as initial precursors and further by the impregnation method using niobium (V) ethoxide. Phase, morphologies and particles size of the products were characterized by X-ray diffraction (XRD), Scanning electron microscopy (SEM), High-resolution transmission electron microscopy (HRTEM) and Brunauer-Emmett-Teller (BET analysis). Nb-loaded (0.25–1.00wt%)  $\text{WO}_3$  films ( $\text{WO}_3:\text{Nb}$ ) with thickness ranging between 4 nm to 5  $\mu\text{m}$  have been produced using spin-coating technique. The films were subsequently annealed at 450°C for 3 h in air. Atomic Force Microscopy (AFM) was used to investigate the surface morphology of the films. Using Scanning Electron Microscopy (SEM) the cross-sectional structure and crystalline nature of the films were observed. The response of  $\text{WO}_3$  sensors with different Nb loading concentrations towards 20–500 ppm of  $\text{SO}_2$  in air was tested as a function of operating temperature of 250–350°C. It was found that 0.50wt% Nb-loaded  $\text{WO}_3$  sensing film showed the highest response at 500 ppm  $\text{SO}_2$  (250°C). Therefore, Nb loading concentration can be used to effectively tailor the gas-sensing performance of hydrothermally prepared  $\text{WO}_3$ -based  $\text{SO}_2$  gas sensors.

**Keywords:**  $\text{WO}_3$  nanorods, Niobium loading, Sulfur dioxide, Dried longan industry, Hydrothermal process, Gas sensor

### Selected References:

1. Huirache, R.A.; Paraguay, F.D.; Albiter, M.A.; Lara, J.R.; Martínez, R.S. *Mater. Charact.* **2009**, *60*, 932–937.
2. Kruefu, V.; Liewhiran, C.; Wisitsoraat, A.; Phanichphant, S. *Sens. Actuators B: Chem.*, **2011**, *156*, 360–367.
3. Wetchakun, K.; Samerjai, T.; Tamaekong, N.; Liewhiran, C.; Siriwong, C.; Kruefu, V.; Wisitsoraat, A.; Tuantranont A.; Phanichphant, S. *Sens. Actuators B: Chem.*, **2011**, *60*, 580–591.
4. Yu, J.; Hao, W.; Shafiei, M.; Field, M.R.; Liu, Z.F.; Włodarski, W.; Motta, N.; Li, Y.X.; Kalantar, P.K.Z.; Lai, T. *Sens. Actuators, B: Chem.*, **2013**, *13*, 0925–4005.



**Viruntachar Kruefu**

Research field: Gas sensors, Photovoltaic cells, Photocatalysis

## Synthesis and Characterization of Niobium-loaded Tungsten Oxide Nanostructures by Hydrothermal Synthesis for Gas Sensing Applications

**Pantita Jangpradit,<sup>a</sup> Pusit Pookmanee,<sup>b</sup> Anurat Wisitsoraat,<sup>c</sup> Sukon Phanichphant<sup>d</sup> and Viruntachar Kruefu<sup>a,\*</sup>**

<sup>a</sup>Program in Materials Science, Faculty of Science, Maejo University, Chiang Mai 50290, Thailand.  
(e-mail: v\_viruntachar@hotmail.com)

<sup>b</sup>Department of Chemistry, Faculty of Science, Maejo University, Chiang Mai 50290, Thailand

<sup>c</sup>National Electronics and Computer Technology Center, Pathumthani 12120, Thailand.

<sup>d</sup>Materials Science Research Center, Faculty of Science, Chiang Mai University, Chiang Mai 50200, Thailand.

In this work, the effect of Niobium (Nb) loading on the gas sensing performances of  $\text{WO}_3$  nanostructures prepared by hydrothermal synthesis is studied. Unloaded  $\text{WO}_3$  and 0.25-1 wt% Nb-loaded  $\text{WO}_3$  nanostructures were synthesized by hydrothermal synthesis using sodium tungsten dihydrate and sodium chloride as precursors under an acidic condition. Unloaded  $\text{WO}_3$  and Nb-loaded  $\text{WO}_3$  nanostructures were characterized by Brunauer-Emmett-Teller (BET analysis), X-ray diffraction (XRD), Scanning Electron Microscopy (SEM) and Transmission Electron Microscopy (TEM). Nb-loaded  $\text{WO}_3$  nanostructures were deposited on  $\text{Al}_2\text{O}_3$  substrate interdigitated with Au electrodes by spin-coating technique. Next, the  $\text{WO}_3$ -based gas sensors were characterized for gas-sensing towards  $\text{H}_2\text{S}$ ,  $\text{NO}_2$ ,  $\text{C}_2\text{H}_5\text{OH}$ ,  $\text{H}_2$  and  $\text{NH}_3$  at operating temperature ranging from 250-350°C. The results showed that the effects of Nb loading on responses towards different gases depend considerably on the loading concentration. The response towards  $\text{H}_2\text{S}$  of  $\text{WO}_3$  nanostructures were optimally enhanced by a factor of 2-4 depending on operating condition at low Nb concentration of 0.25 wt% while the best responses towards  $\text{C}_2\text{H}_5\text{OH}$  and  $\text{NO}_2$  were obtained at the higher Nb concentration of 0.5 wt% and 1wt% Nb loading concentration leads to the maximized response towards  $\text{H}_2$ . In contrast, Nb loading has insignificant effect on the response towards  $\text{NH}_3$ . Therefore, Nb loading concentration can be used to effectively tailor the gas-sensing performance of hydrothermally prepared  $\text{WO}_3$ -based gas sensors.

**Keywords:**  $\text{WO}_3$  nanostructure, Niobium loading, Hydrothermal synthesis, Gas sensor.

### Selected References:

1. Kruefu, V.; Liewhiran, C.; Wisitsoraat, A.; Phanichphant, S. *Sens. Actuators B: Chem.*, **2011**, *156*, 360–367.
2. Huirache, R.A.; Paraguay, F.D.; Albiter, M.A.; Lara, J.R.; Martínez. R.S. *Mater. Charact.* **2009**, *60*, 932–937.
3. Wetchakun, K.; Samerjai, T.; Tamaekong, N.; Liewhiran, C.; Siriwong, C.; Kruefu, V.; Wisitsoraat, A.; Tuantranont A.; Phanichphant, S. *Sens. Actuators B: Chem.*, **2011**, *60*, 580–591.
4. Xianghong, L.; Jun, Z.; Taili, Y.; Xianzhi, G.; Shihua, W.; Shurong, W. *Sens. Actuators, B: Chem.*, **2011**: *156*, 918–923.
5. Yu, J.; Hao, W.; Shafiei, M.; Field, M.R.; Liu, Z.F.; Wlodarski, W.; Motta, N.; Li, Y.X.; Kalantar, P K.Z.; Lai, T. *Sens. Actuators, B: Chem.*, **2013**, *13*, 0925-4005.



**Pantita Jangpradit**

Research field: Hydrothermal synthesis, Gas sensors